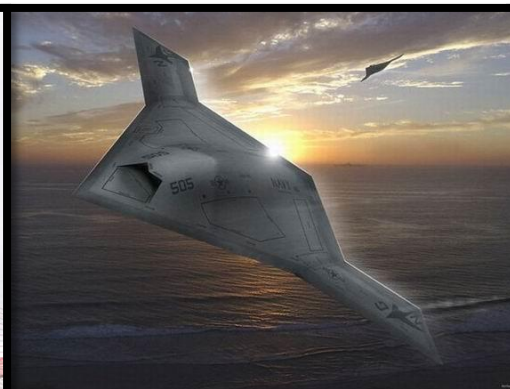


机器人智能控制

易建强 蒲志强 袁如意

中国科学院自动化研究所

2020年秋季



神经网络控制

袁如意 高级工程师

ruyi.yuan@ia.ac.cn



本讲的主要内容

- 一、人工神经元控制系统
- 二、RBF神经网络控制
- 三、CMAC神经网络控制
- 四、Hopfield网络优化

本讲的主要内容

一、人工神经元控制

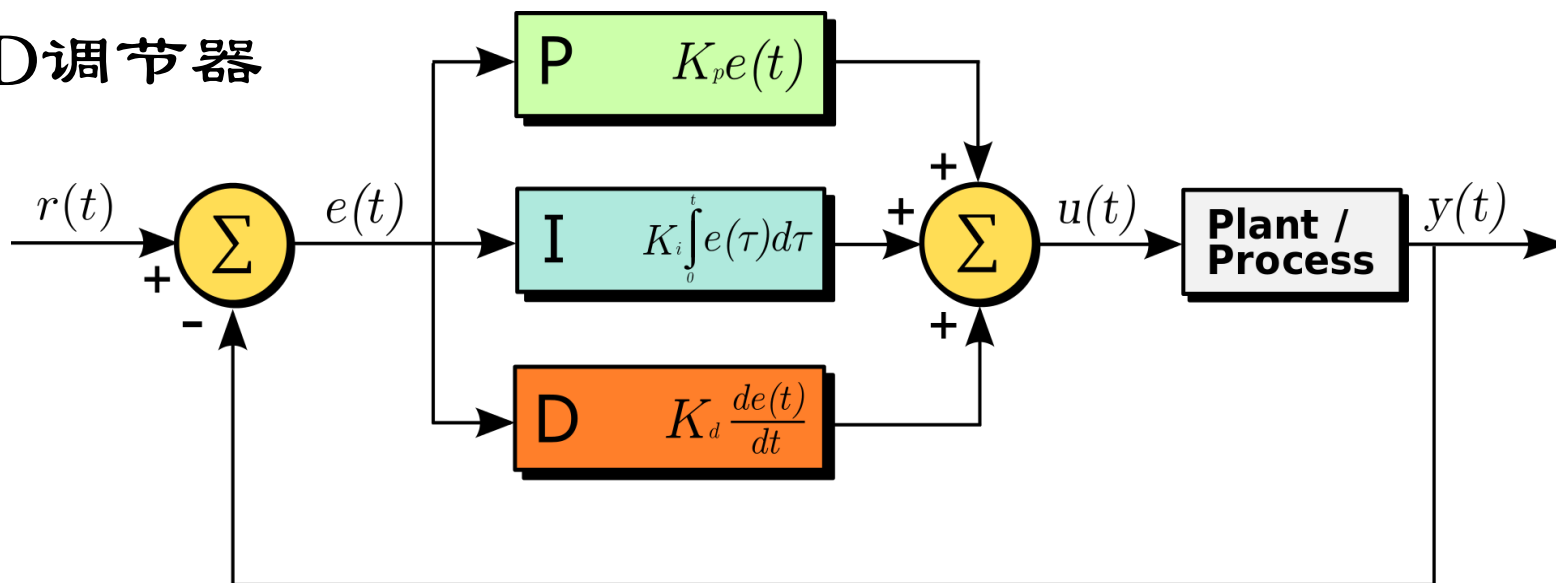
二、RBF神经网络控制

三、CMAC神经网络控制

四、Hopfield网络优化

人工神经元的PID调节器

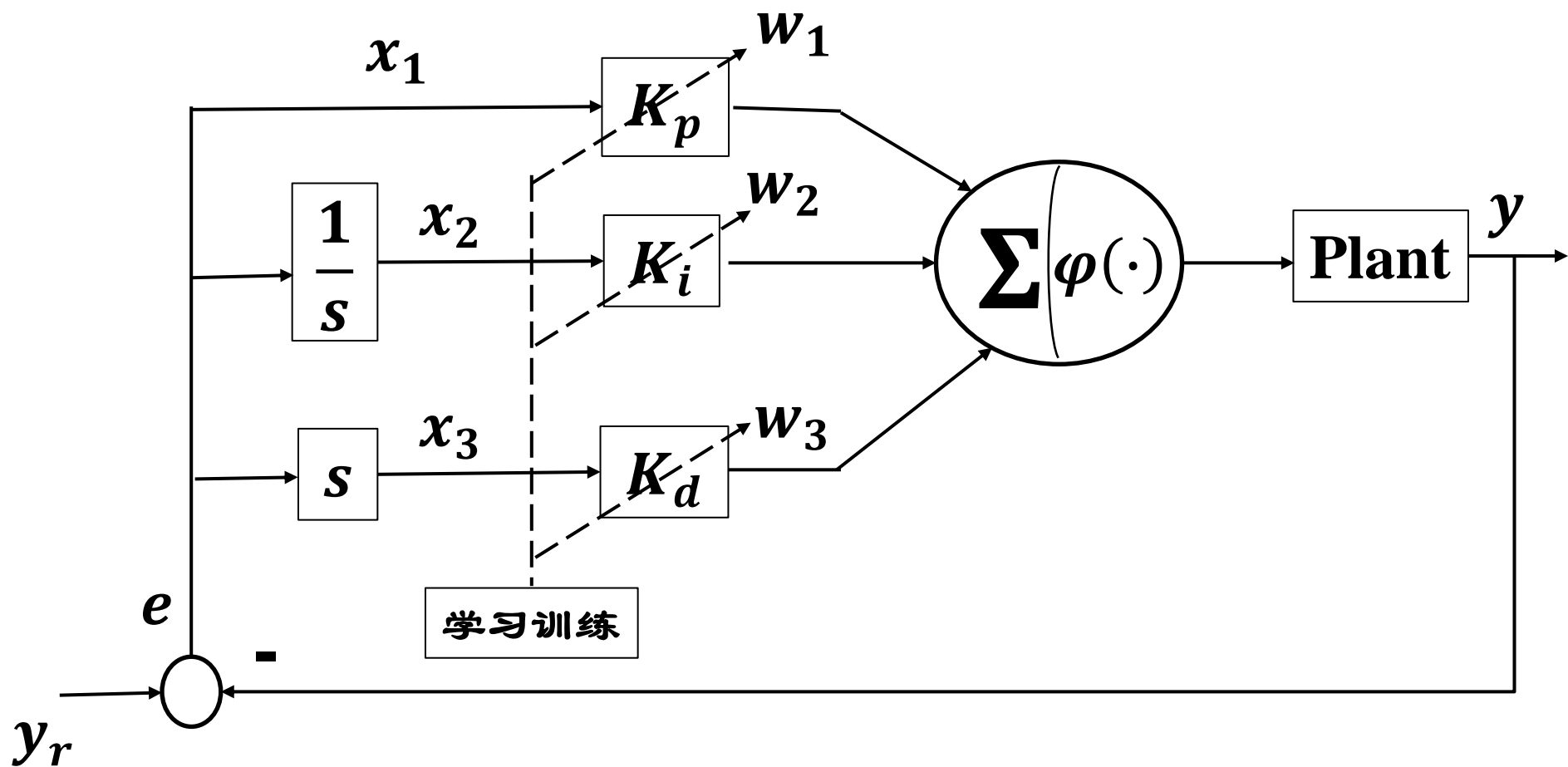
- PID调节器



$$u(t) = K_p e(t) + K_i \int e(\tau) d\tau + K_d \frac{de(t)}{dt}$$

$$= K_p \left[e(t) + \frac{1}{T_I} \int e(\tau) d\tau + T_D \frac{de(t)}{dt} \right]$$

- 人工神经元闭环调节系统



- 离散PID

$$u(t) = K_p \left[\boxed{e(t)} + \frac{1}{T_I} \boxed{\sum e_i T} + T_D \frac{\boxed{e(k) - e(k-1)}}{\boxed{T}} \right]$$

Diagram illustrating the discrete PID control law with callouts for the three terms:

- $x_1(t)$ points to the error term $e(t)$.
- $x_2(t)$ points to the integral term $\sum e_i T$.
- $x_3(t)$ points to the derivative term $\frac{e(k) - e(k-1)}{T}$.

$$I(t) = K_p \sum_{i=1}^3 \frac{w_i(t)x_i(t)}{\|W\|} \quad \|W\| = \sum_{i=1}^3 |w_i(t)|$$

神经元输出

$$u(t) = u_{max} \frac{1 - e^{-I(t)}}{1 + e^{-I(t)}}$$

$$J(t) = \frac{e^2(t)}{2}$$

学习算法：梯度下降算法

$$w_i(t+1) = w_i(t) + \Delta w_i(t)$$

$$\begin{aligned}\Delta w_i(t) &= -\eta_i \frac{\partial J}{\partial w_i(t-1)} \\ &= -\eta_i \frac{\partial J}{\partial y(t)} \frac{\partial y(t)}{\partial u(t-1)} \frac{\partial u(t-1)}{\partial I(t-1)} \frac{\partial I(t-1)}{\partial w_i(t-1)}\end{aligned}$$

$$\checkmark \frac{\partial y(t)}{\partial u(t-1)} \approx \frac{y(t) - y(t-1)}{u(t-1) - u(t-2)}$$

$$\checkmark \frac{\partial y(t)}{\partial u(t-1)} \approx \operatorname{sgn} \left[\frac{y(t) - y(t-1)}{u(t-1) - u(t-2)} \right]$$

稳定性分析

取Lyapunov函数

$$V(t) = \frac{1}{2} e^2(t)$$

$$e(t+1) = e(t) + \Delta e(t) = e(t) + \frac{\partial e(t)}{\partial W} \Delta W^T$$

$$\Delta V(t) = V(t+1) - V(t) = \frac{1}{2} e^2(t+1) - \frac{1}{2} e^2(t) = \frac{1}{2} [2e(t)\Delta e(t) + \Delta^2 e(t)]$$

$$P = \left[\frac{\partial e(t)}{\partial w_1}, \frac{\partial e(t)}{\partial w_2}, \frac{\partial e(t)}{\partial w_3} \right]^T, D = \text{diag}\{\eta_1, \eta_1, \eta_1\}$$

$$\Delta e(t) = -e(t)P^T D P$$

当 $0 < D < 2(P P^T)^{-1}$

$$\Delta V(t) = -\frac{1}{2} [e(t)P]^T (2D - D P P^T D) [e(t)P] < 0$$

学习算法：有监督的Hebb学习规则

$$u(k) = u(k-1) + \Delta u(k)$$

$$\Delta u(k) = K_p \left\{ e(k) - e(k-1) + \frac{T}{T_I} e(k) + \frac{T}{T_D} (e(k) - 2e(k-1) + e(k-2)) \right\}$$

$$x_1(k) = e(k), x_2(k) = e(k) - e(k-1), x_3(k) = e(k) - 2e(k-1) + e(k-2)$$

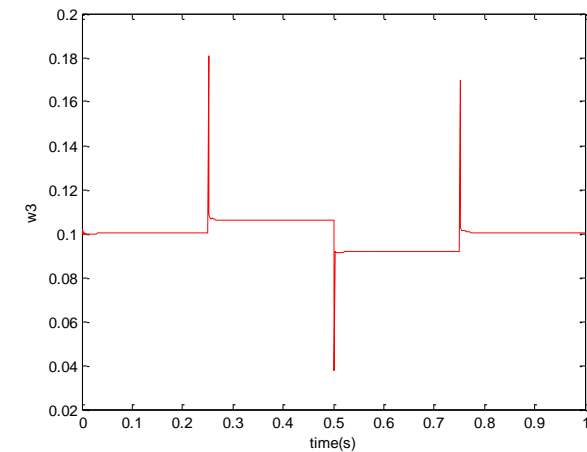
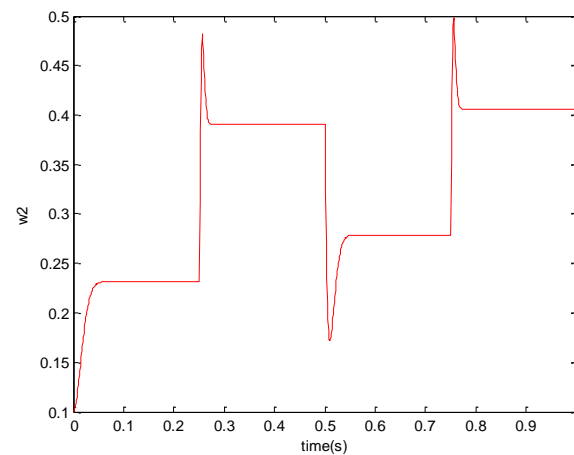
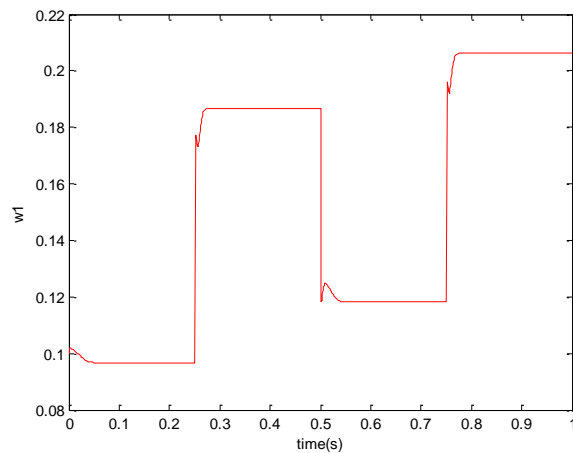
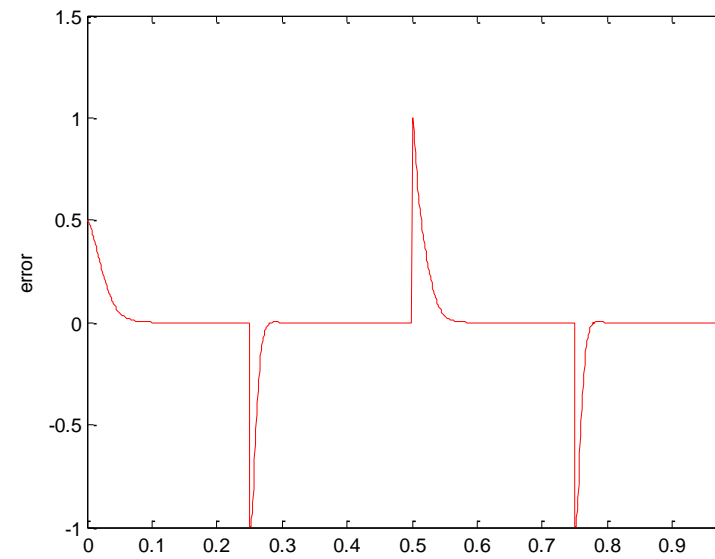
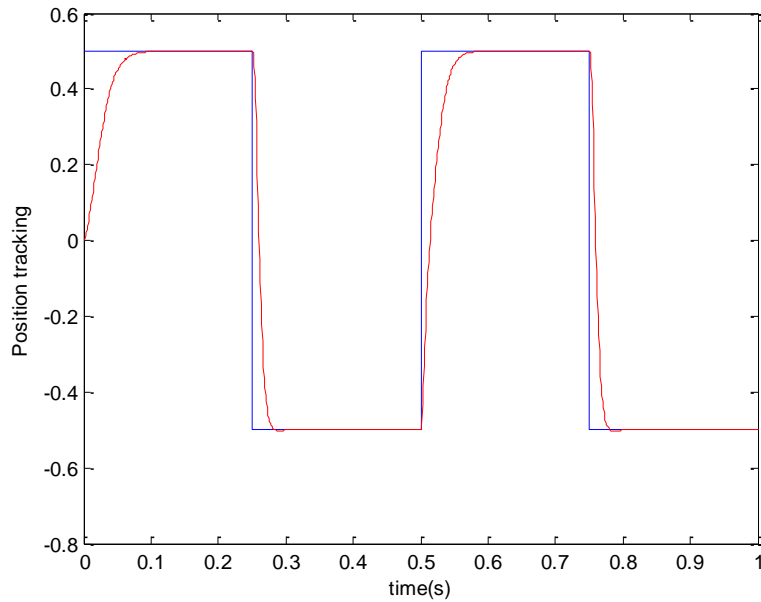
$$u(k) = u(k-1) + K_p \sum_{i=1}^3 w_i(k) x_i(k)$$

$$w_1(k) = w_1(k-1) + \eta e(k) u(k) x_1(k)$$

$$w_2(k) = w_2(k-1) + \eta e(k) u(k) x_2(k)$$

$$w_3(k) = w_3(k-1) + \eta e(k) u(k) x_3(k)$$

$$y(k) = 0.368y(k-1) + 0.26y(k-2) + 0.10u(k-1) + 0.632u(k-2)$$



本讲的主要内容

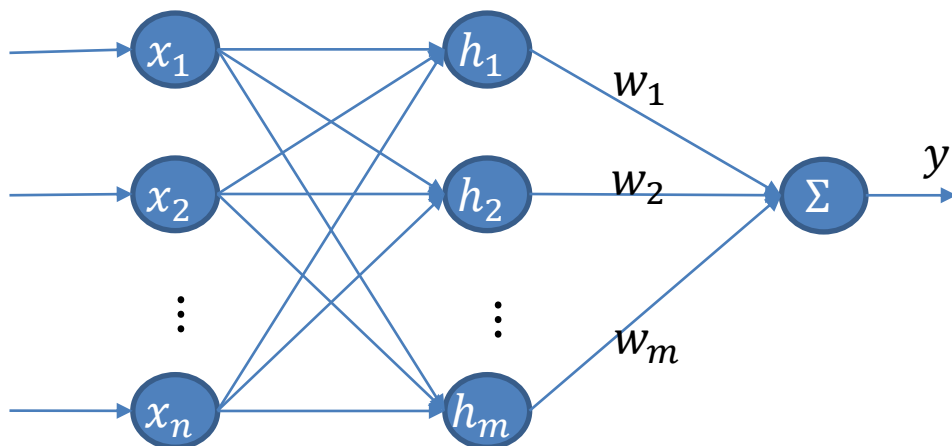
一、人工神经元控制

二、RBF神经网络控制

三、CMAC神经网络控制

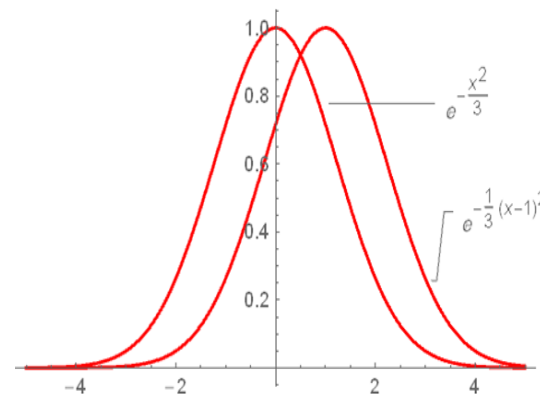
四、Hopfield网络优化

RBF (Radial Basis Function) 神经网络

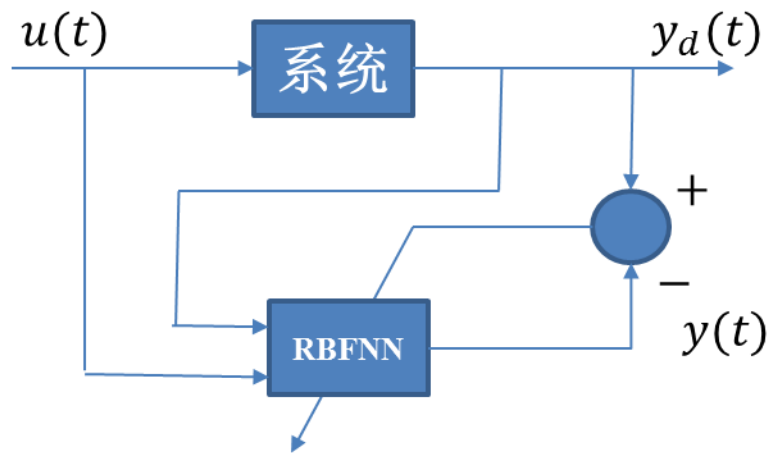


- 隐层由径向基函数构成
- 具有良好的泛化能力，结构简单，收敛速度快
- 能在一个紧凑集和任意精度下逼近任何非线性函数
- 输入层到隐藏层之间不是通过权值和阈值进行连接的，而是通过输入样本与隐藏层点之间的距离（与中心点的距离）连接的

- $$h_j = \exp\left(\frac{-\|x - c_j\|^2}{2b_j^2}\right)$$
- $w = [w_1, w_2, \dots, w_m]^T, h = [h_1, h_2, \dots, h_m]^T$
- $y(t) = w^T h = w_1 h_1 + w_2 h_2 + \dots + w_m h_m$



RBF神经网络建模



RBF神经网络逼近

$$E(t) = \frac{1}{2} (y_d(t) - y(t))^2$$

$$\Delta w_j(k) = -\eta \frac{\partial E}{\partial w_j} = \eta (y_d(k) - y(k)) h_j$$

$$w_j(k) = w_j(k-1) + \Delta w_j(k) + \alpha (w_j(k-1) - w_j(k-2))$$

$$\Delta b_j(k) = -\eta \frac{\partial E}{\partial b_j} = \eta (y_d(k) - y(k)) w_j h_j \frac{\|x - c_j\|^2}{b_j^3}$$

$$b_j(k) = b_j(k-1) + \Delta b_j(k) + \alpha (b_j(k-1) - b_j(k-2))$$

$$\Delta c_{ji}(k) = -\eta \frac{\partial E}{\partial c_{ji}} = \eta (y_d(k) - y(k)) w_j h_j \frac{x_j - c_{ji}}{b_j^2}$$

$$c_{ji}(k) = c_{ji}(k-1) + \Delta c_{ji}(k) + \alpha (c_{ji}(k-1) - c_{ji}(k-2))$$

仿真实例

考虑第III类系统

$$y(k+1) = \frac{y(k)}{1+y^2(k)} + u^3(k)$$

辨识模型M为 $\hat{y}(k+1) = N_f[y(k)] + N_g[u(k)]$

辨识模型M为 $\hat{y}(k+1) = N[y(k), u(k)]$

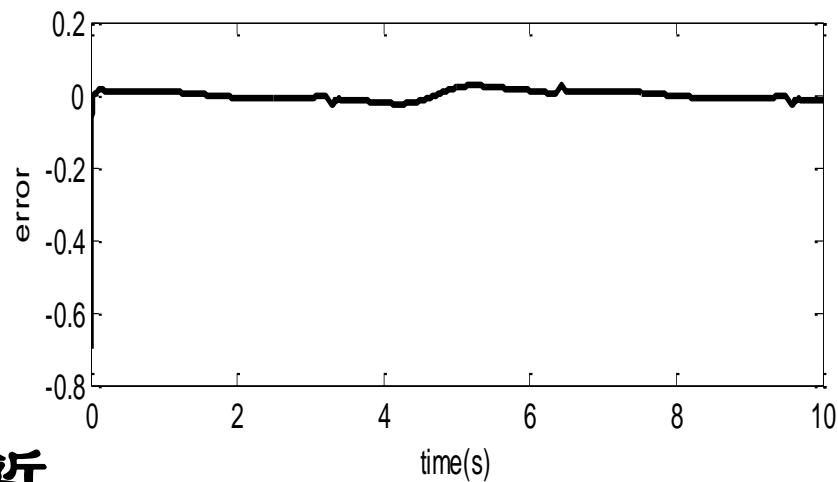
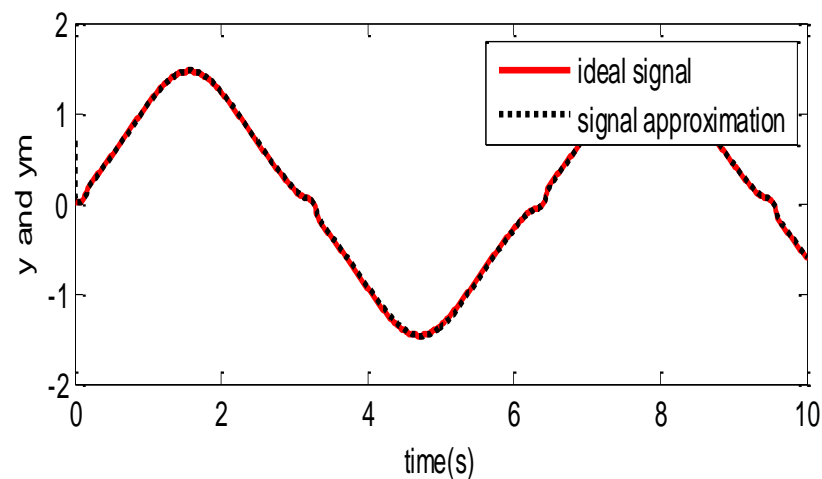
$$x(1) = u(t), x(2) = y(t), \alpha = 0.15$$

$$x(1) \in [0,1], x(2) \in [0,1] \quad \text{网络结构取2-5-1}$$

$$c_j = \begin{bmatrix} -1 & -0.5 & 0 & 0.5 & 1 \\ -1 & -0.5 & 0 & 0.5 & 1 \end{bmatrix}^T, b_j = 3.0$$

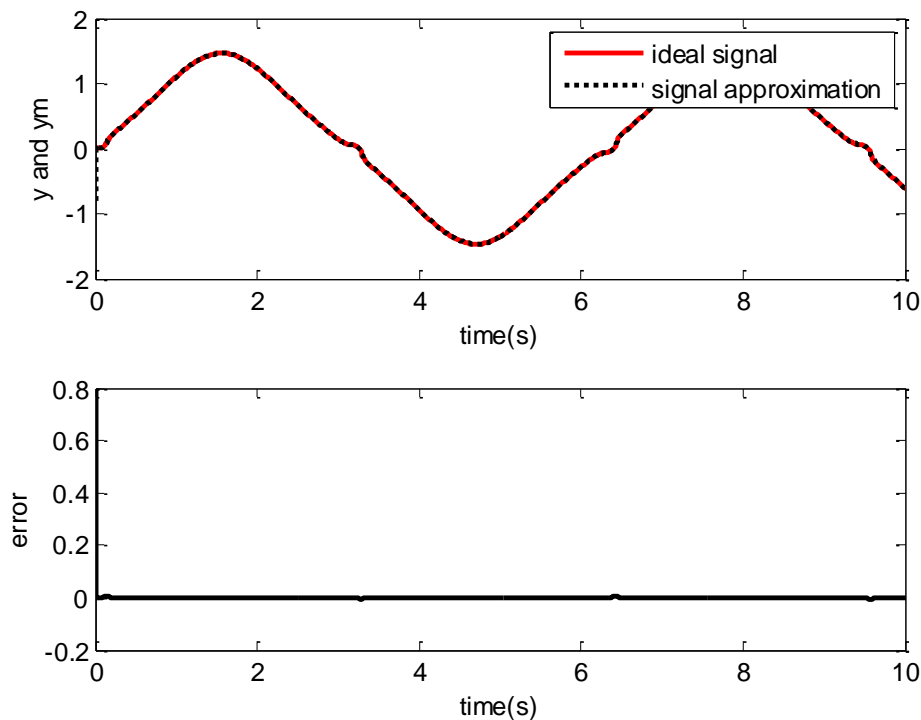
仿真实例

$$u(t) = \sin(t), t = kT, T = 0.001$$



基于权值调整的RBF逼近

仿真实例



b =
3.0025
3.0011
3.0008
3.0032
2.9988

c =

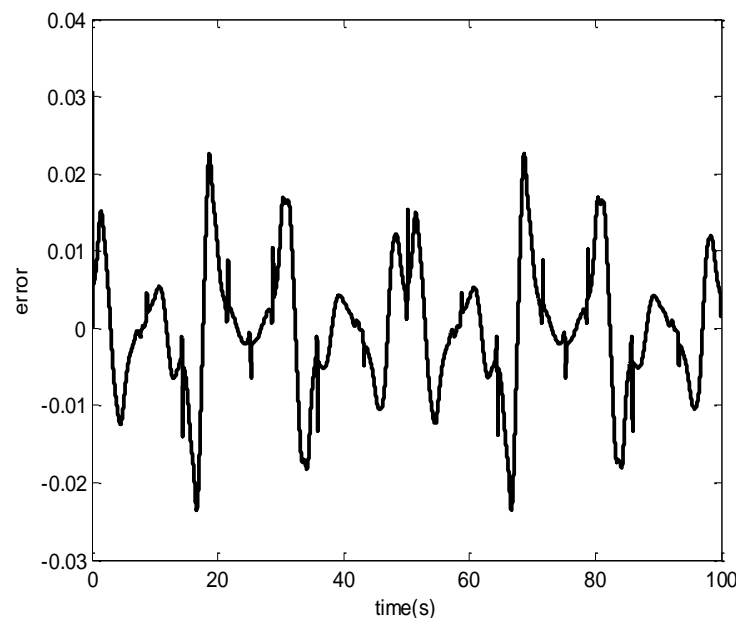
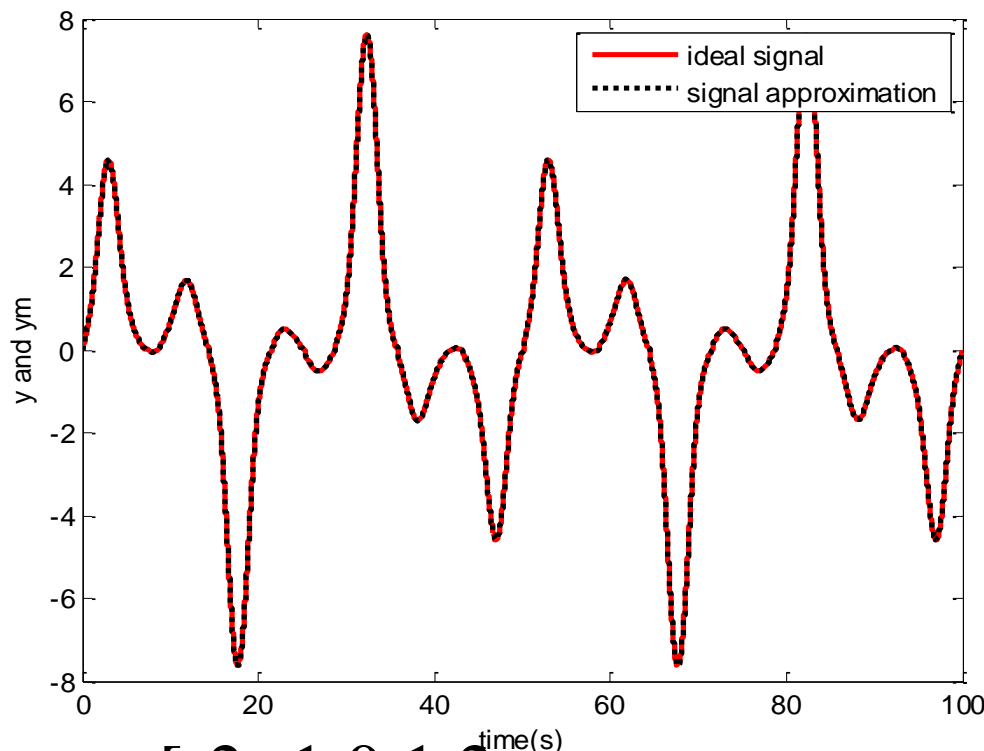
-0.9975	-0.4972	-0.0043	0.4966	1.0015
-0.9986	-0.4984	-0.0032	0.4979	1.0011

$$u(t) = \sin(t), t = kT, T = 0.001$$

**基于权值和基函数参数
调整的RBF逼近**

仿真实例

输入 $u(k) = \sin\left(\frac{2\pi k}{25}\right) + \sin\left(\frac{2\pi k}{10}\right)$



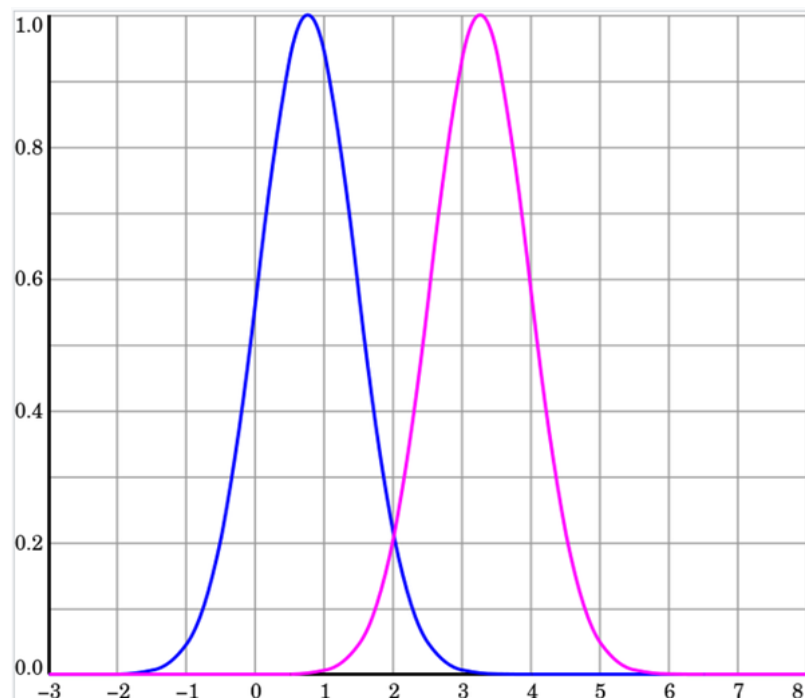
$c = \begin{bmatrix} -2 & -1 & 0 & 1 & 2; \\ -10 & -5 & 0 & 5 & 10; \end{bmatrix}$
 $c = \begin{bmatrix} -2.0013 & -1.0251 & 0.0172 & 1.0049 & 2.0003 \\ -10.0194 & -5.0680 & 0.0230 & 5.0512 & 9.9993 \end{bmatrix}$

$b = \begin{bmatrix} 3.0 \\ 3.0 \\ 3.0 \\ 3.0 \\ 3.0 \end{bmatrix}$
 \rightarrow
 $b = \begin{bmatrix} 2.9628 \\ 2.9896 \\ 3.1813 \\ 2.9634 \\ 2.9997 \end{bmatrix}$

RBF神经网络

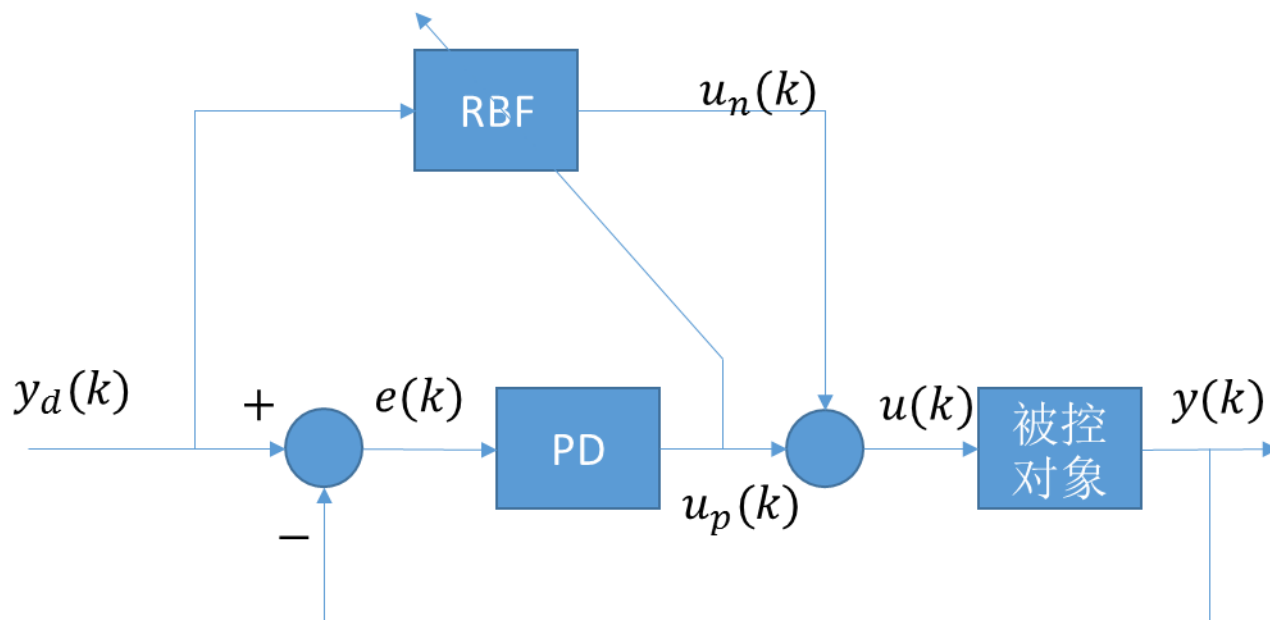
■ 高斯基函数参数：

- b_j 为隐含层第 j 个神经元高斯基函数的宽度， b_j 值越大，高斯基函数越宽，对输入的映射能力越大
- c_j 为隐含层第 j 个神经元高斯基函数中心点的坐标向量。 c_j 值离输入越近，高斯函数对输入越敏感，否则，高斯函数对输入越不敏感
- 中心坐标向量 c_j 应使高斯基函数在有效的输入映射范围内，如RBF网络的输入为 $[-3, +3]$ ，则 c_j 的取值范围应为 $[-3, +3]$



基于RBF神经网络的监督控制

- 初始阶段采用PD反馈控制，然后过渡到神经网络控制
- 在控制过程中，如果出现极大误差，PD控制起主导作用，神经网络控制起调节作用



基于RBF神经网络的监督控制系统

基于RBF神经网络的监督控制

- RBF神经网络输出为 $u_n(k) = h_1 w_1 + \cdots + h_m w_m$

总控制

$$u(k) = u_n(k) + u_p(k)$$

- 误差指标 $E(k) = \frac{1}{2} (u_n(k) - u(k))^2$
- 采用梯度下降算法，网络权值学习算法为

$$\Delta w_j(k) = -\eta \frac{\partial E}{\partial w_j(k)} = \eta (u_n(k) - u(k)) h_j(k)$$

$$w(k) = w(k-1) + \Delta w(k) + \alpha (w(k-1) - w(k-2))$$
$$\eta \in [0,1], \alpha \in [0,1]$$

仿真实例

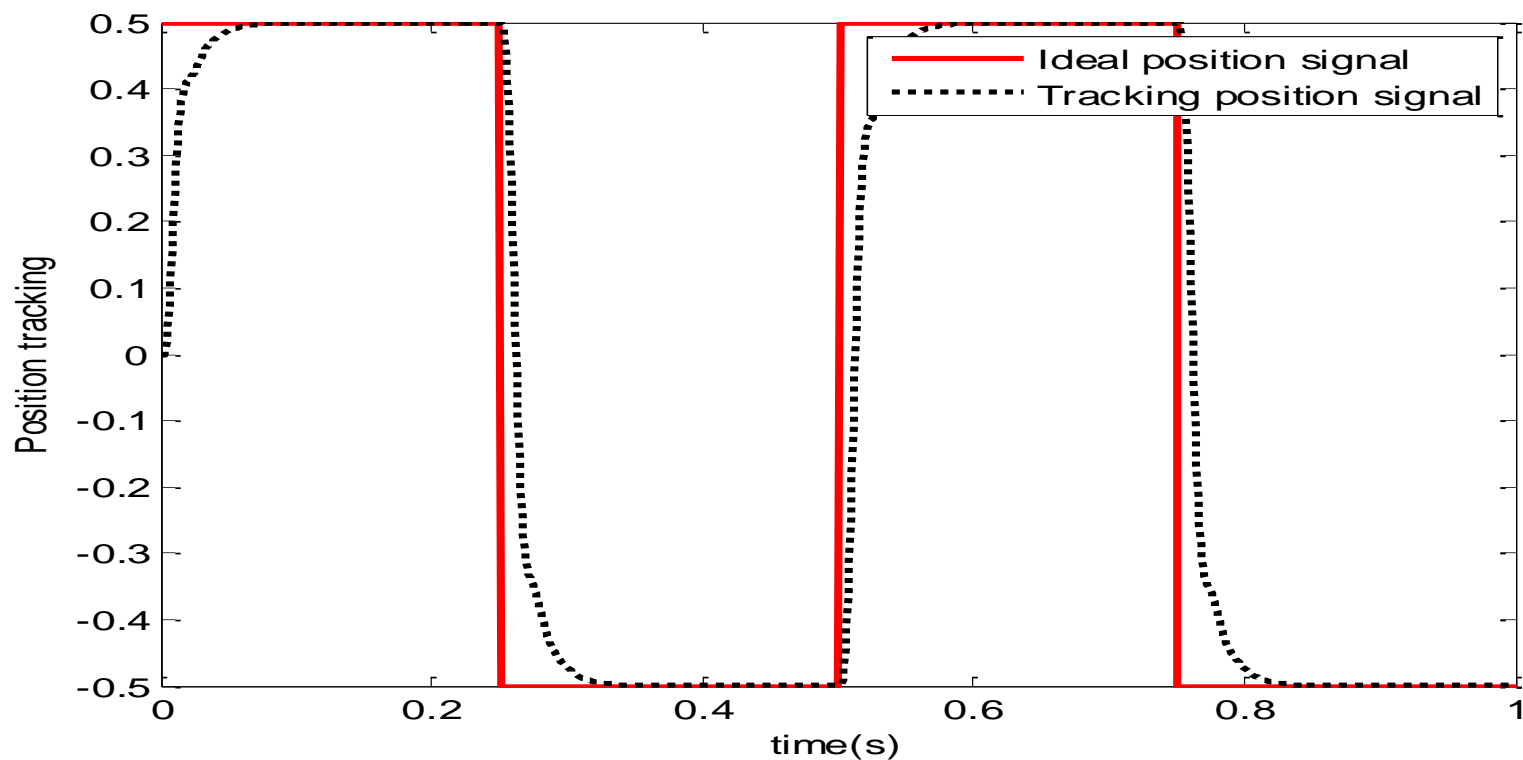
- 实例

$$G(s) = \frac{1000}{s^3 + 87.35s^2 + 10470s}$$

神经网络结构1-4-1

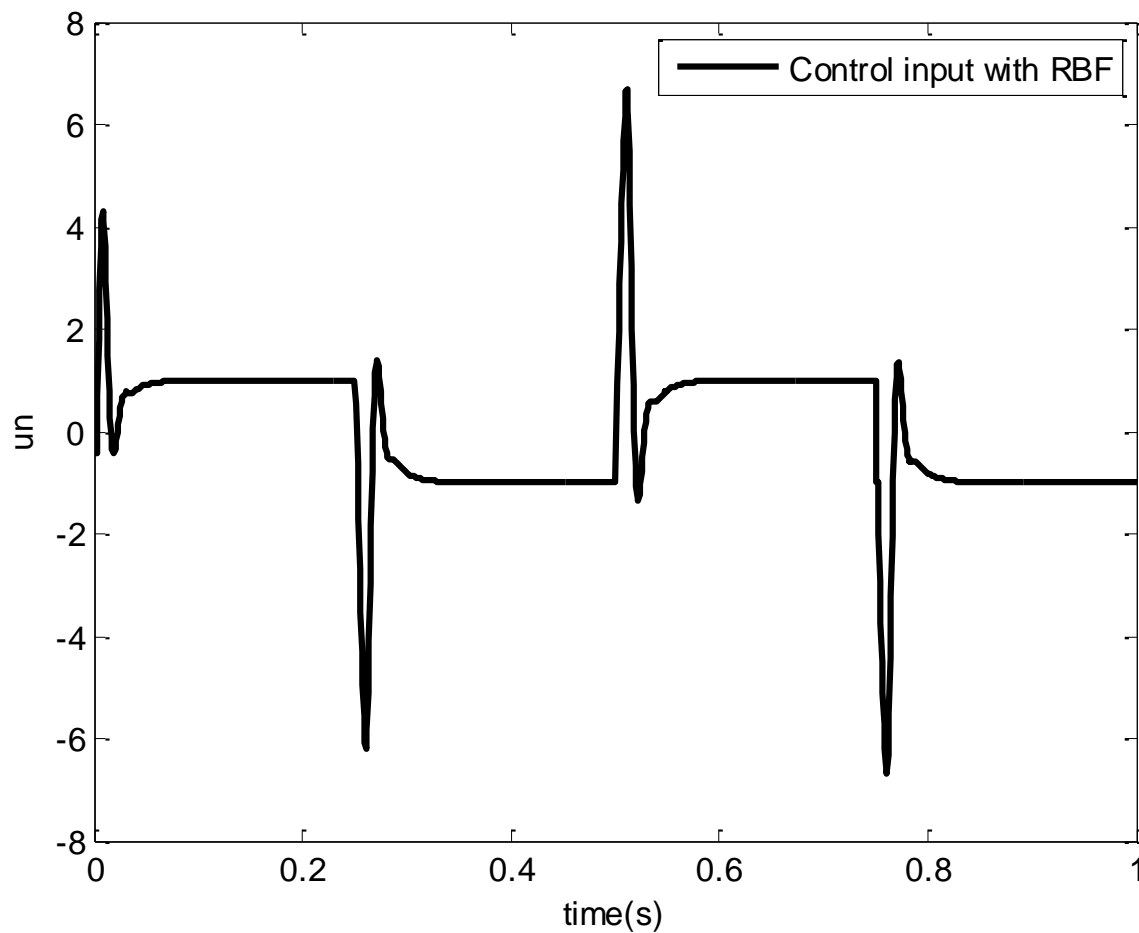
$$c = [-5 \ -3 \ 0 \ 3 \ 5]^T, \eta = 0.30, \alpha = 0.05$$

仿真实例

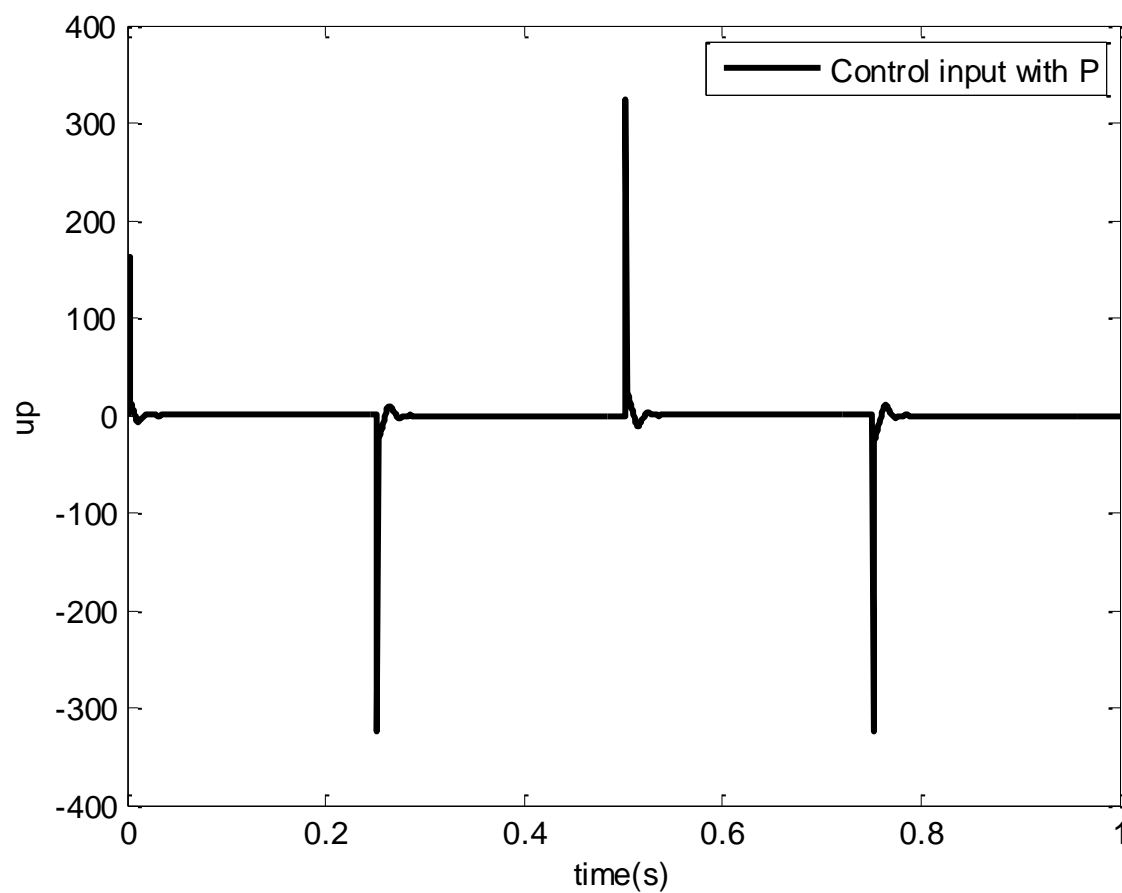


方波跟踪效果

仿真实例

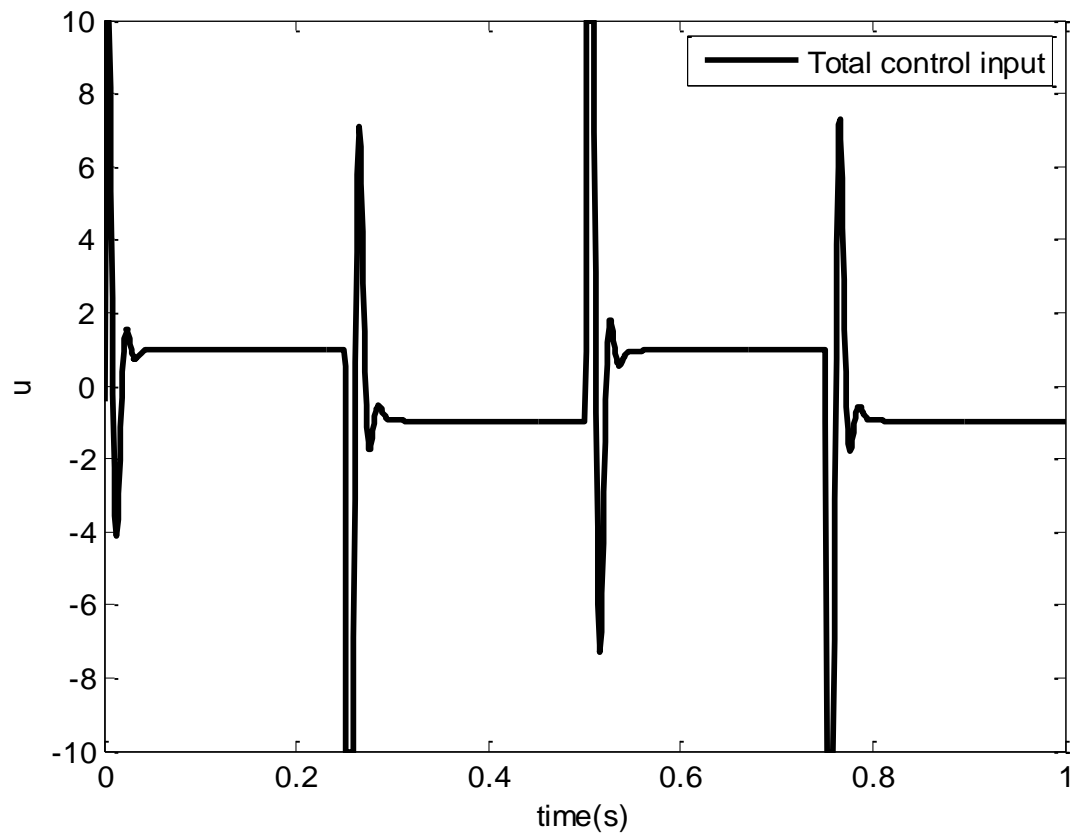
神经网络信号 u_n

仿真实例



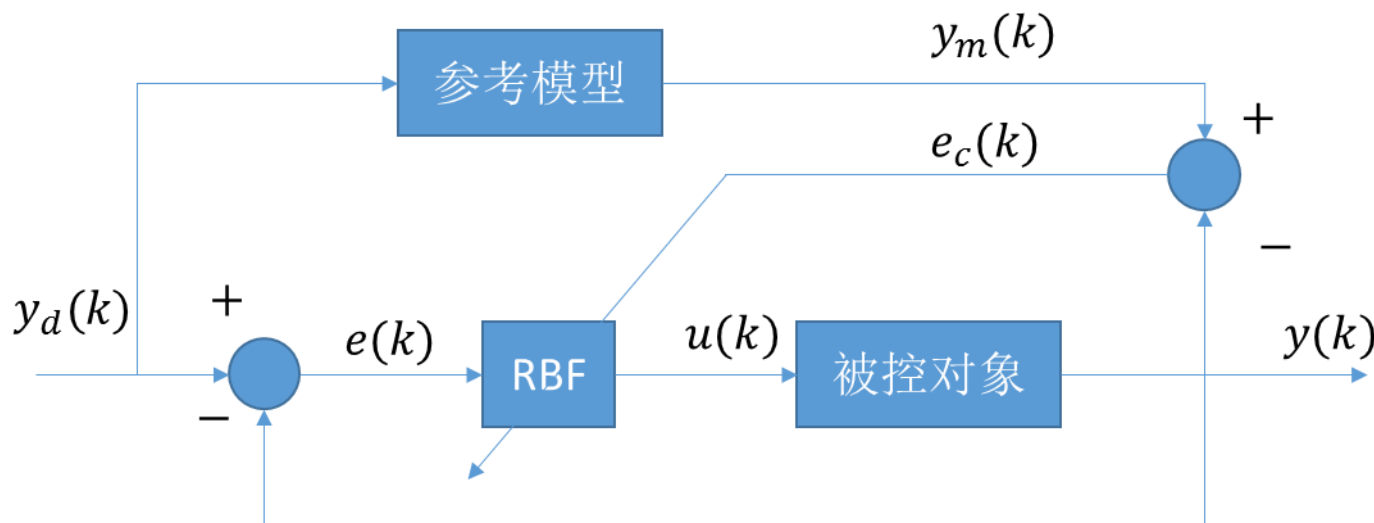
PD控制信号 u_p

仿真实例



总控制信号 u

RBF神经网络的模型参考自适应控制



直接模型参考自适应

RBF神经网络的模型参考自适应控制

$$e_c(k) = y_m(k) - y(k)$$

$$E = \frac{1}{2} e_c(k)^2$$

$$u(k) = h_1 w_1 + \cdots + h_m w_m$$

$$\Delta w_j(k) = -\eta \frac{\partial E(k)}{\partial w_j} = \eta e_c(k) \frac{\partial y(k)}{\partial u(k)} h_j$$

$$w_j(k) = w_j(k-1) + \Delta w_j(k) + \alpha(w_j(k-1) - w_j(k-2))$$

$$\Delta b_j(k) = -\eta \frac{\partial E}{\partial b_j} = \eta e_c(k) \frac{\partial y(k)}{\partial u(k)} w_j h_j \frac{\|x - c_j\|^2}{b_j^3}$$

$$b_j(k) = b_j(k-1) + \Delta b_j(k) + \alpha(b_j(k-1) - b_j(k-2))$$

$$\Delta c_{ji}(k) = -\eta \frac{\partial E}{\partial c_{ji}} = \eta e_c(k) \frac{\partial y(k)}{\partial u(k)} w_j h_j \frac{x_j - c_{ji}}{b_j^2}$$

$$c_{ji}(k) = c_{ji}(k-1) + \Delta c_{ji}(k) + \alpha(c_{ji}(k-1) - c_{ji}(k-2))$$

$\frac{\partial y(k)}{\partial u(k)}$ 为 Jacobo 矩阵，表征系统输出对控制输入的灵敏度

仿真实例

离散被控对象

$$y(k) = (-0.10y(k-1) + u(k-1)) + \frac{u(k-1)}{1 + y^2(k-1)}$$

采样周期 $T_s=1\text{ms}$, 参考模型

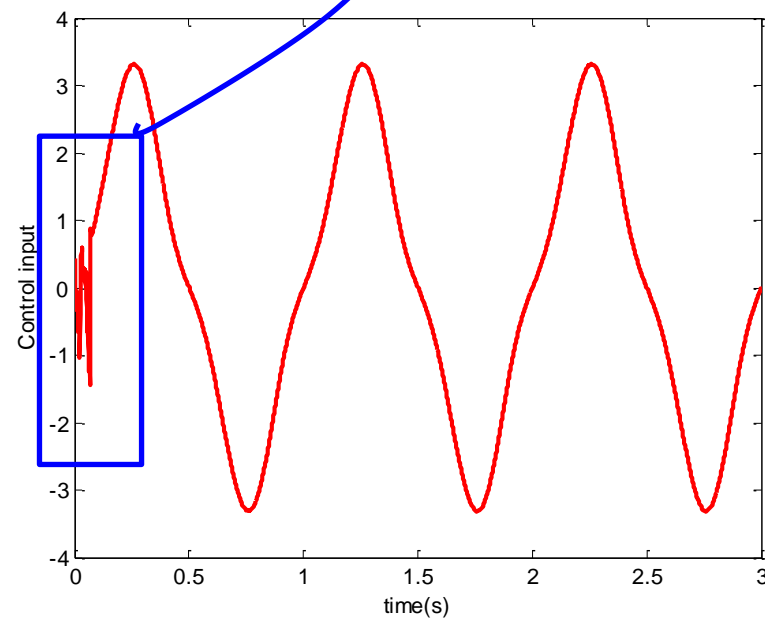
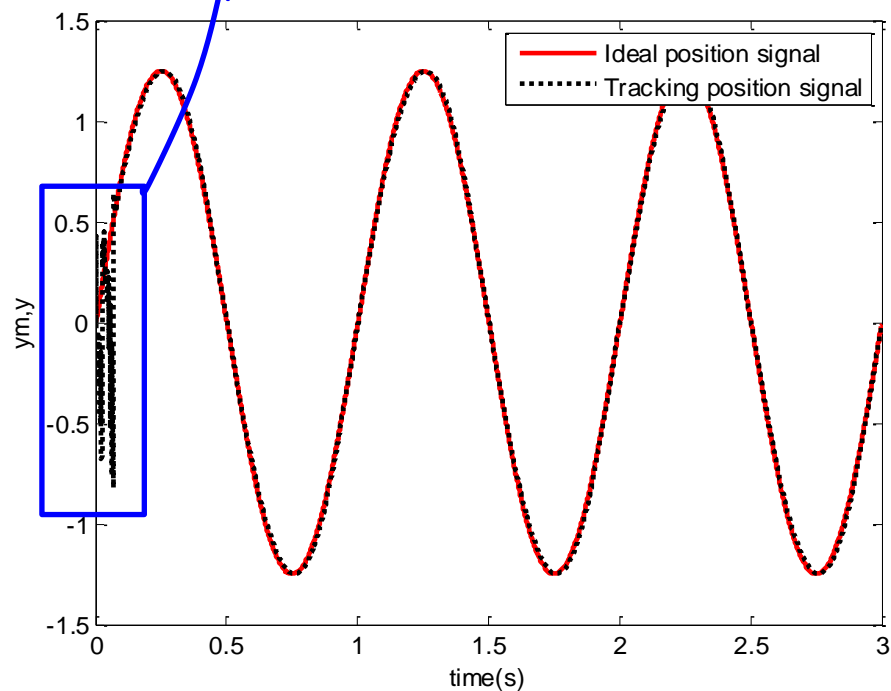
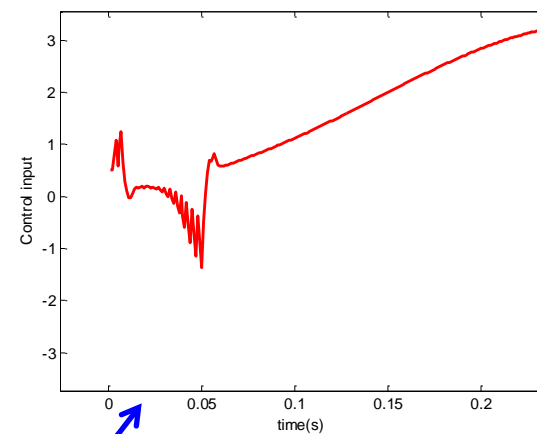
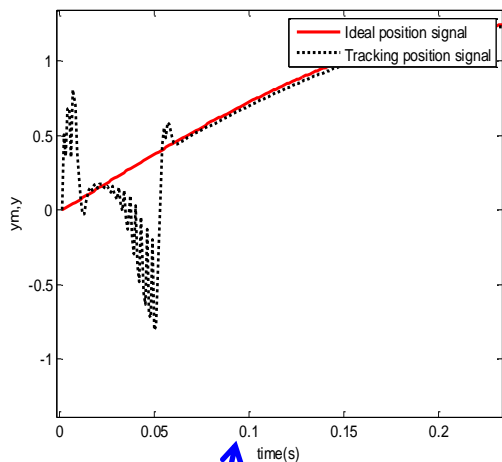
$$y_m(k) = 0.6y_m(k-1) + y_d(k)$$

$$y_d(k) = 0.5\sin(2\pi k * T_s)$$

学习率 $\eta = 0.35$, 动量因子 $\alpha = 0.05$

$$c = \begin{bmatrix} -3 & -2 & -1 & 1 & 2 & 3 \\ -3 & -2 & -1 & 1 & 2 & 3 \\ -3 & -2 & -1 & 1 & 2 & 3 \end{bmatrix}^T$$
$$b = [2, 2, 2, 2, 2, 2]^T$$

仿真实例



正弦跟踪

控制量

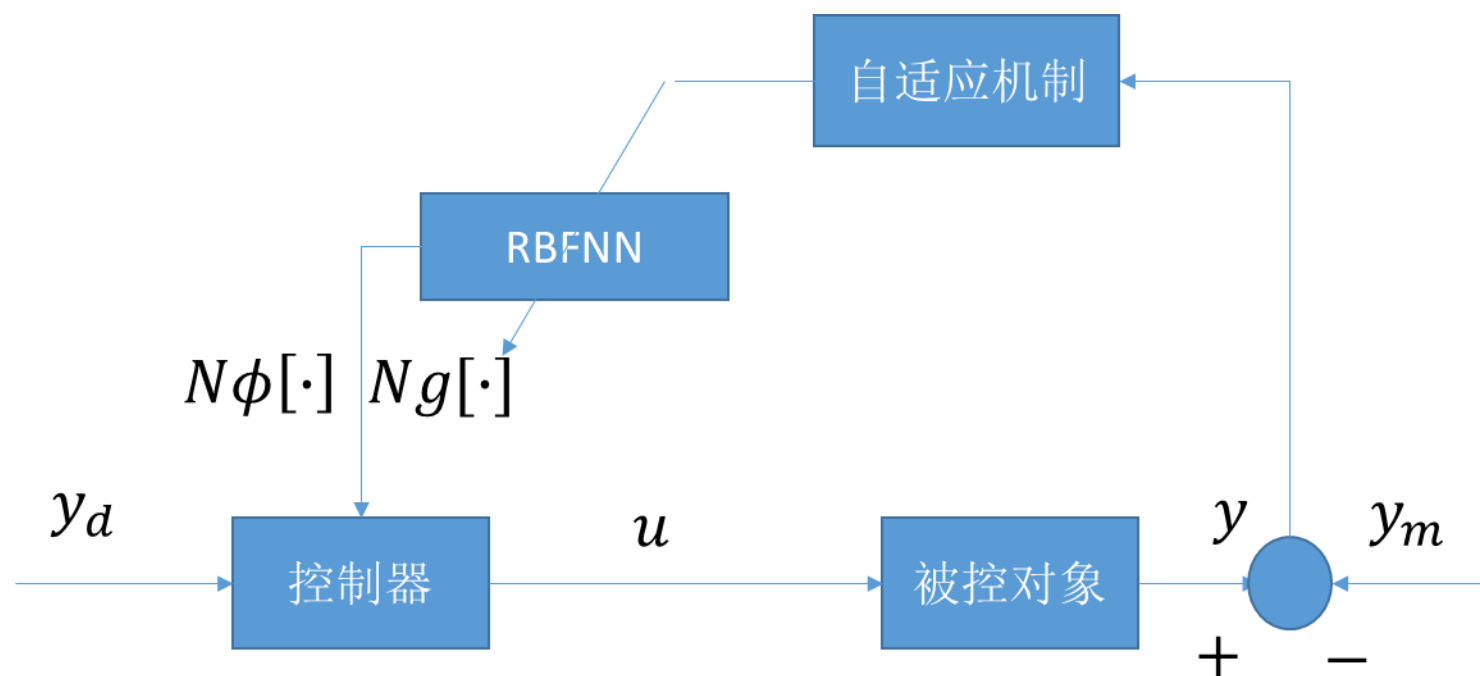
RBF自校正控制

考虑被控对象 $y(k+1) = g[y(k)] + \phi[y(k)]u(k)$

- 若 $g[\cdot]$ 和 $\phi[\cdot]$ 已知，设计自校正控制器 $u(k) = \frac{-g[\cdot]}{\phi[\cdot]} + \frac{y_d(k+1)}{\phi[\cdot]}$
- 若 $g[\cdot]$ 和 $\phi[\cdot]$ 未知，利用RBF神经网络逼近 $g[\cdot]$ 和 $\phi[\cdot]$ ，得到估计值，记为 $Ng[\cdot]$ 和 $N\phi[\cdot]$ ，则自校正控制器可以设计为

$$u(k) = \frac{-Ng[\cdot]}{N\phi[\cdot]} + \frac{y_d(k+1)}{N\phi[\cdot]}$$

RBF自校正控制



基于RBF逼近的自适应控制——间接自校正控制

RBF自校正控制

- 分别用两个RBF神经网络逼近 $g[\cdot]$ 和 $\phi[\cdot]$, W 和 V 分别是两个神经网络的权值, 取 $y(k)$ 为网络输入, 径向基函数取为高斯函数

$$h_j = \exp\left(-\frac{\|y(k) - c_j\|^2}{2b_j^2}\right)$$

两个网络的输出分别为

$$Ng(k) = h_1w_1 + \cdots + h_mw_m$$

$$N\phi(k) = h_1v_1 + \cdots + h_mv_m$$

基于RBF神经网络逼近的输出为

$$y_m(k) = Ng[y(k-1); W(k)] + N\phi[y(k-1); V(k)]u(k-1)$$

RBF自校正控制

$$E(k) = \frac{1}{2} (y(k) - y_m(k))^2$$

学习算法为

$$\Delta w_j(k) = -\eta_w \frac{\partial E(k)}{\partial w_j(k)} = -\eta_w (y(k) - y_m(k)) h_j(k)$$

$$\Delta v_j(k) = -\eta_v \frac{\partial E(k)}{\partial v_j(k)} = -\eta_v (y(k) - y_m(k)) h_j(k) u(k-1)$$

$$W(k) = W(k-1) + \Delta W(k) + \alpha(W(k-1) - W(k-2))$$

$$V(k) = V(k-1) + \Delta V(k) + \alpha(V(k-1) - V(k-2))$$

η_w, η_v 为学习率, α 为动量因子

仿真实例

被控系统

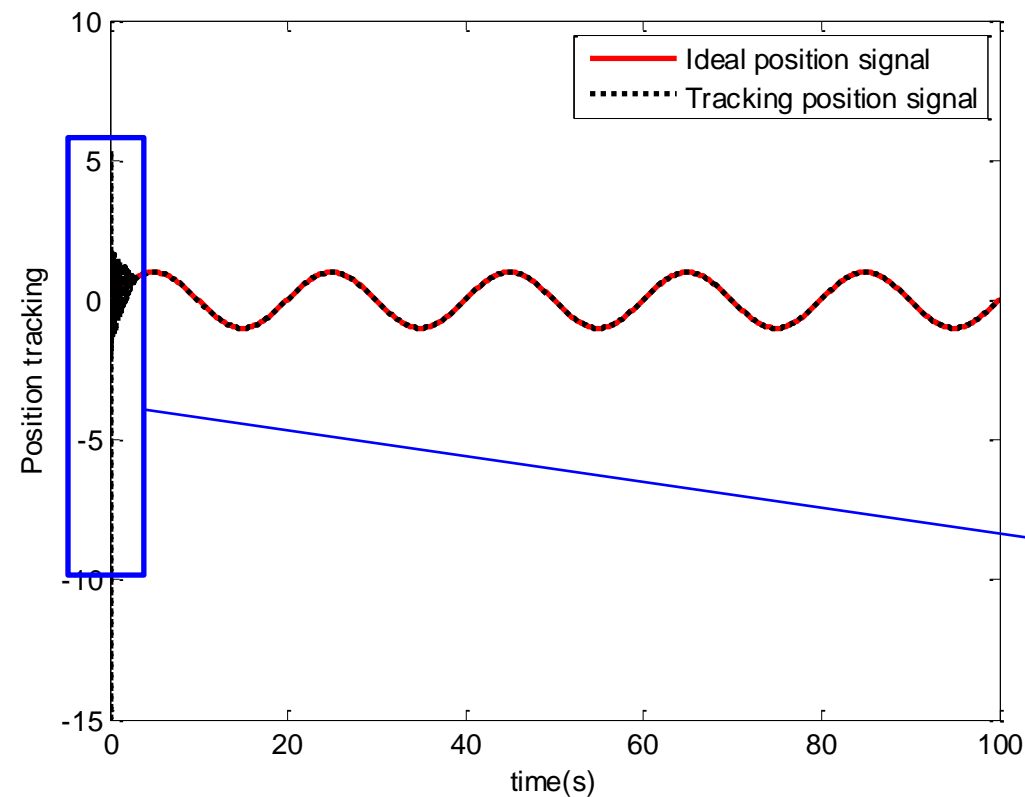
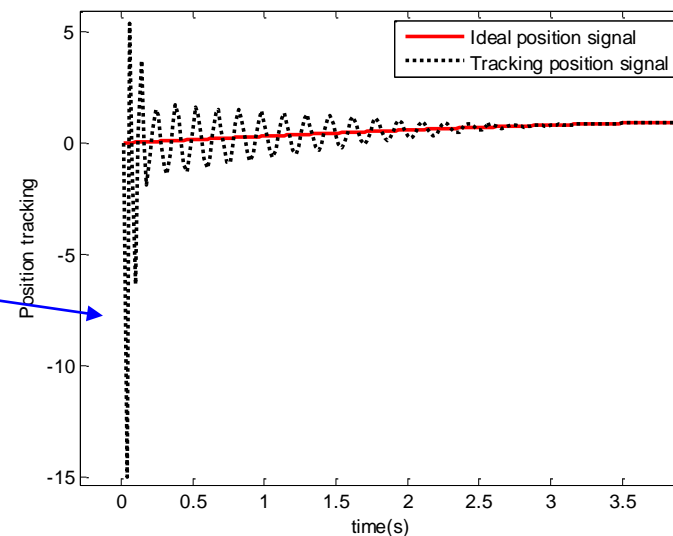
$$y(k) = 0.8 \sin(y(k-1)) + 15u(k-1)$$

其中 $g[y(k)] = 0.8 \sin(y(k-1))$, $\phi[y(k)] = 15$

指令 $y_d(t) = 2 \sin(0.1\pi t)$

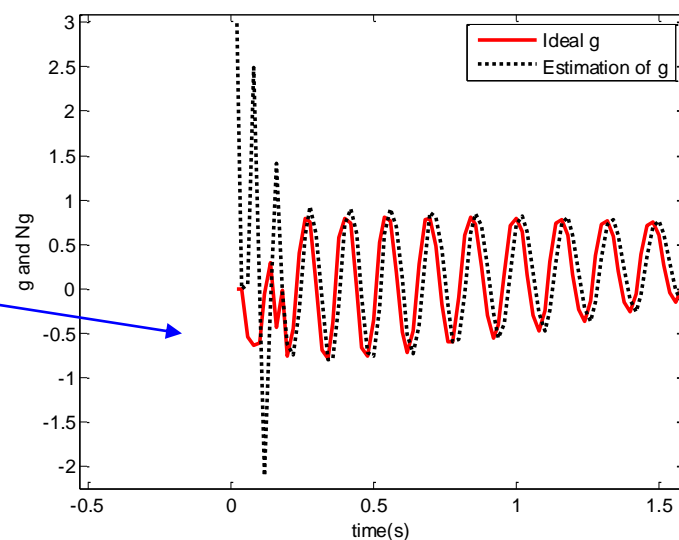
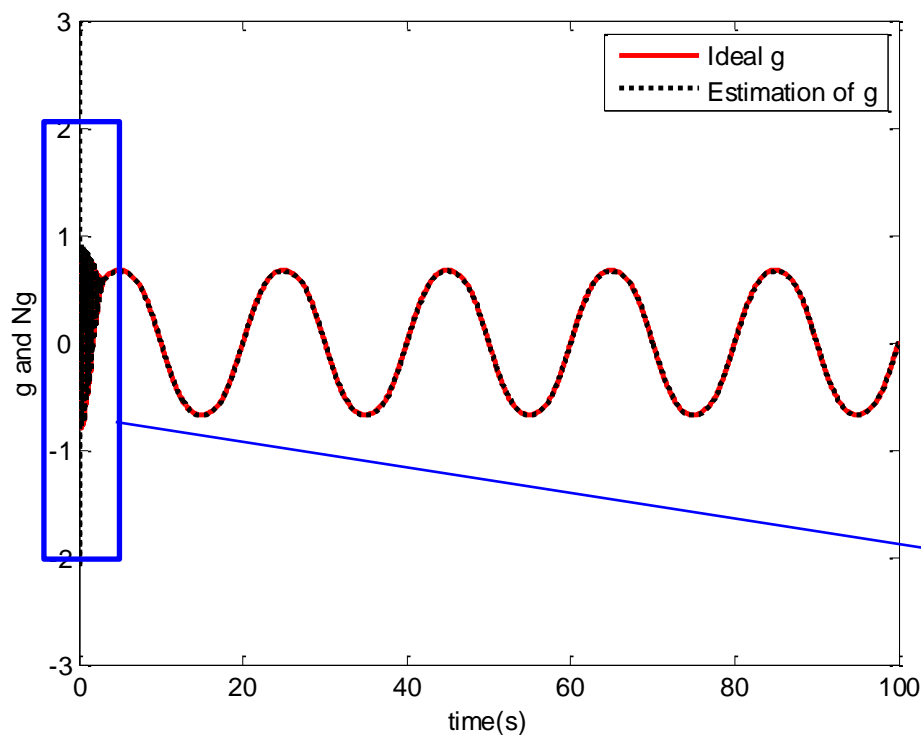
- 1-6-1网络结构
- 初始权值和参数为
- $W = V = [0.5, 0.5, 0.5, 0.5, 0.5, 0.5]^T$
- $c_j = [0.5, 0.5, 0.5, 0.5, 0.5, 0.5]^T$, $b = [5, 5, 5, 5, 5, 5]^T$
- $\eta_1 = 0.15, \eta_2 = 0.50, \alpha = 0.05$

仿真实例

 $t_s=0.02;$ 

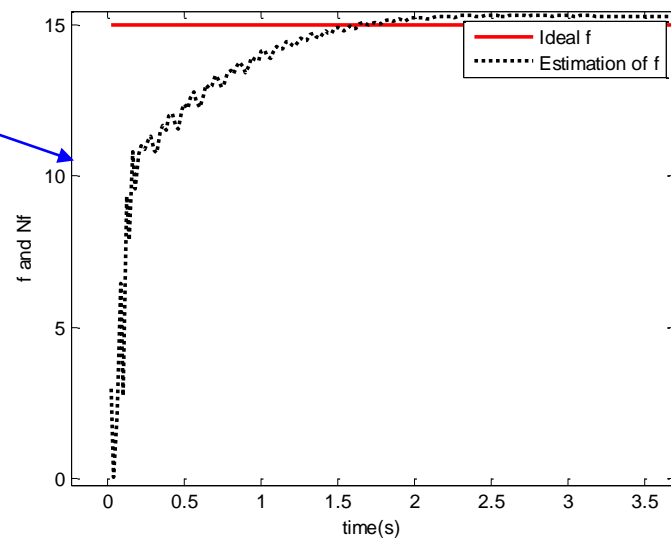
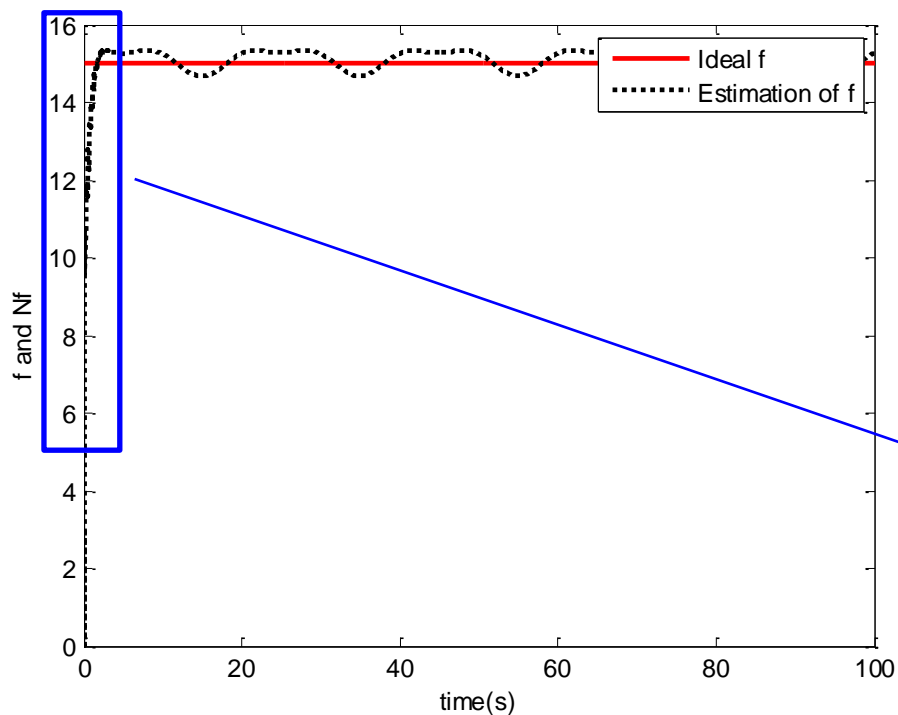
正弦指令跟踪

仿真实例



$g(x, t)$ 及其估计值 $\hat{g}(x, t)$

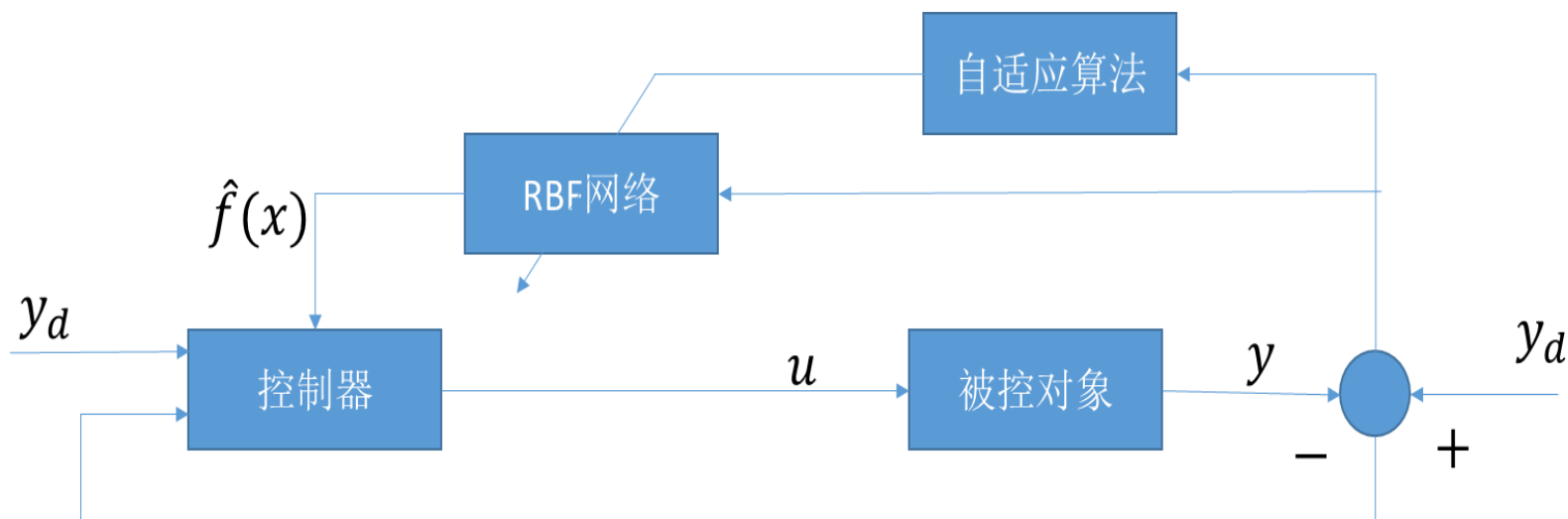
仿真实例



$f(x, t)$ 及其估计值 $\hat{f}(x, t)$

自适应RBF神经网络控制

- 采用梯度下降法调整神经网络权值，易于陷入局部最优，且不能保证闭环系统稳定性
- 采用基于Lyapunov稳定性分析的在线自适应神经网络控制



RBF神经网络自适应控制系统

自适应RBF神经网络控制

考虑二阶非线性系统

$$\ddot{x} = f(x, \dot{x}) + g(x, \dot{x})u$$

令 $x_1 = x, x_2 = \dot{x}, y = x_1$

$$\begin{cases} \dot{x}_1 = x_2 \\ \dot{x}_2 = f(x_1, x_2) + g(x_1, x_2)u \\ y = x_1 \end{cases}$$

理想跟踪指令为 y_d ，则误差为

$$e = y_d - y = y_d - x_1$$

自适应RBF神经网络控制

设计理想控制律

$$u^* = \frac{1}{g(x)} [-f(x) + \ddot{y}_d + K^T E] \quad K = (k_p, k_d)^T$$

可得到误差系统

$$\ddot{e} + k_p e + k_d \dot{e} = 0$$

特征多项式

$$s^2 + k_d s + k_p = 0$$

根在左半复平面 $t \rightarrow \infty, e(t) \rightarrow 0, \dot{e}(t) \rightarrow 0$

自适应RBF神经网络控制

利用RBF神经网络逼近未知函数 f

$$f = W^{*T} h(x) + \epsilon$$

ϵ 为网络逼近误差, W^* 为理想权值

RBF神经网络的输出为 $\hat{f}(x) = \hat{W}^T h(x)$, $x = [e, \dot{e}]^T$

\hat{W} 为理想权值 W^* 的估计

$$u = \frac{1}{g(x)} [-\hat{f}(x) + \ddot{y}_d + K^T E]$$

确定参数学习方法: $\hat{W} \rightarrow W^*$

自适应RBF神经网络控制

闭环系统方程

$$\ddot{e} = -K^T E + [\hat{f}(x) - f(x)]$$

$$\text{令 } \Lambda = \begin{bmatrix} 0 & 1 \\ -k_p & -k_d \end{bmatrix}, B = \begin{bmatrix} 0 \\ 1 \end{bmatrix}, E = [e, \dot{e}]^T$$

$$\dot{E} = \Lambda E + B[\hat{f}(x) - f(x)]$$

$$W^* = \arg \min_{W \in \Omega} [\sup |\hat{f}(x) - f(x)|]$$

定义 $\omega = \hat{f}(x|W^*) - f(x)$, 闭环方程

$$\dot{E} = \Lambda E + B\{(\hat{W} - W^*)^T h(x) + \omega\}$$

自适应RBF神经网络控制

- 定义Lyapunov函数

$$V = \frac{1}{2} E^T P E + \frac{1}{2\gamma} (\hat{W} - W^*)^T (\hat{W} - W^*)$$

γ 为正常数，矩阵 P 为对称正定的且满足如下方程

$$\Lambda^T P + P \Lambda = -Q$$

其中 $Q \geq 0$

$$\text{取 } V_1 = \frac{1}{2} E^T P E, V_2 = \frac{1}{2\gamma} (\hat{W} - W^*)^T (\hat{W} - W^*), M = B\{(\hat{W} - W^*)^T h(x) + \omega\}$$

自适应RBF神经网络控制

$$\dot{V}_1 = -\frac{1}{2}E^TQE + (\hat{W} - W^*)^T E^T PBh(x) + E^T PB\omega$$

$$\dot{V}_2 = \frac{1}{\gamma}(\hat{W} - W^*)^T \dot{\hat{W}}$$

$$\dot{V} = \dot{V}_1 + \dot{V}_2$$

$$= -\frac{1}{2}E^TQE + E^T PB\omega + \frac{1}{\gamma}(\hat{W} - W^*)^T \left[\dot{\hat{W}} + \gamma E^T PBh(x) \right]$$

$$\dot{\hat{W}} = -\gamma E^T PBh(x)$$

$$\dot{V} = -\frac{1}{2}E^TQE + E^T PB\omega$$

$$\dot{V} \leq 0 \Rightarrow \|E\| \geq \frac{\lambda_{\max}(PB)\omega}{\frac{1}{2}\lambda_{\min}(Q)}$$

设计RBF使得 ω 充分小

仿真实例

- 实例

$$\begin{cases} \dot{x}_1 = x_2 \\ \dot{x}_2 = -25x_2 + 133 \end{cases}$$

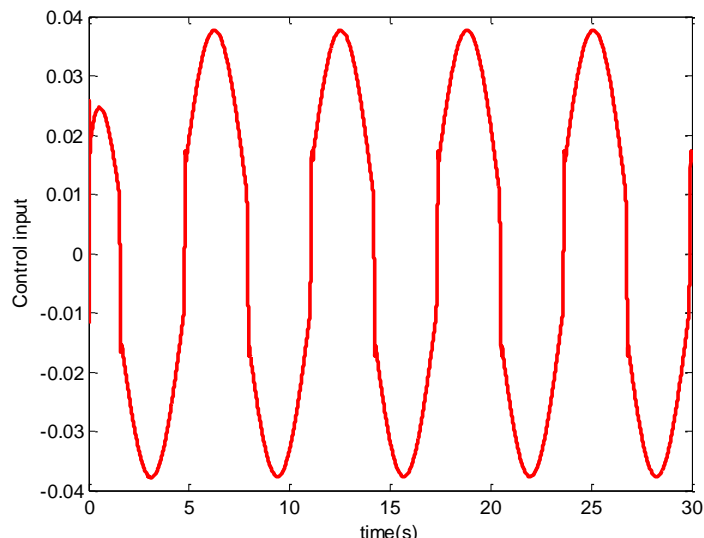
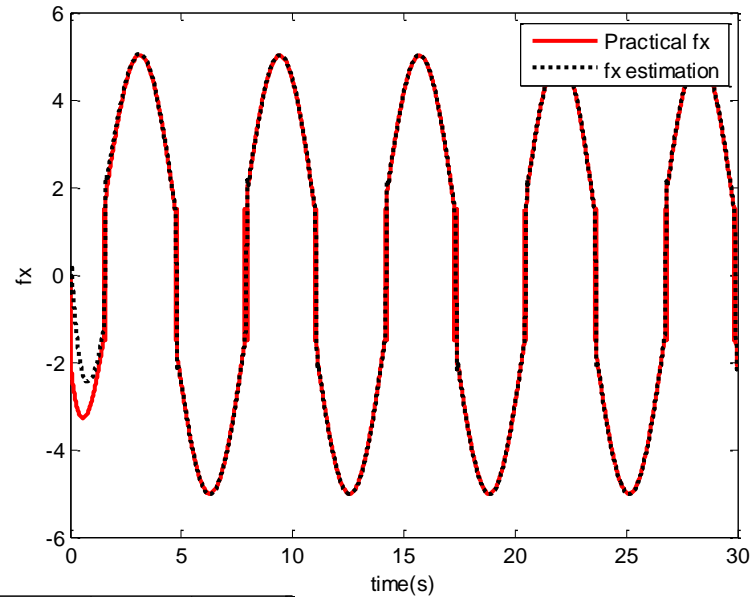
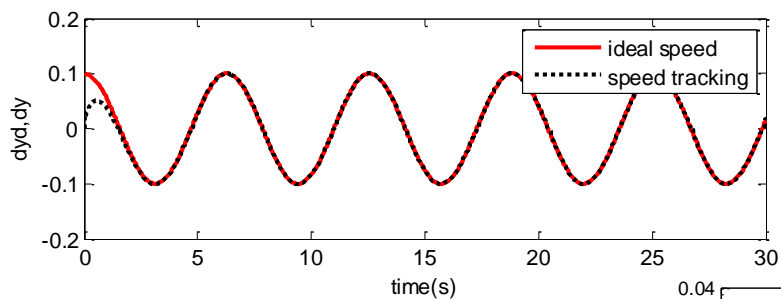
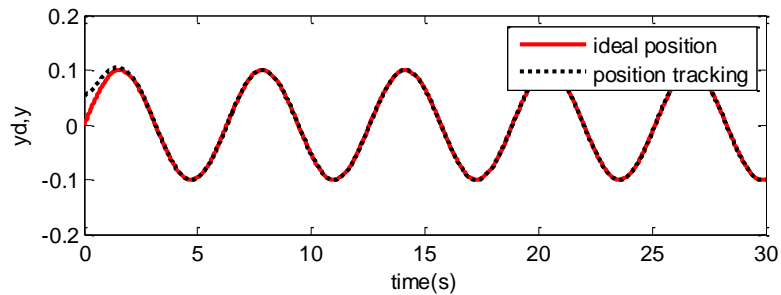
$$x = [x_1, x_2]^T, f(x) = -25x_2, g(x) = 133$$

$$y_{1d}(t) = 0.1 \sin(t), x_1(0) = \frac{\pi}{60}, x_2(0) = 0$$

2-5-1结构 RBF, $c = [-2 \ -1 \ 0 \ 1 \ 2;$
 $\quad \quad \quad -2 \ -1 \ 0 \ 1 \ 2];$

- $b=0.20; Q=[500 \ 0; 0 \ 500];$
- $k_d = 50, k_p = 30, \gamma = 1200$

仿真实例1



$T_s=0.01s$

仿真实例2

- 单级倒立摆

$$\begin{aligned}\dot{x}_1 &= x_2 \\ \dot{x}_2 &= f(x) + g(x)u\end{aligned}$$

$$f(x) = \frac{g \sin x_1 - mlx_2^2 \cos x_1 \sin x_1 / (m_c + m)}{l(4/3 - m \cos^2 x_1 / (m_c + m))}$$

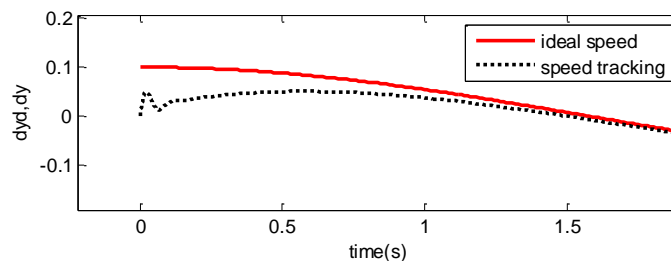
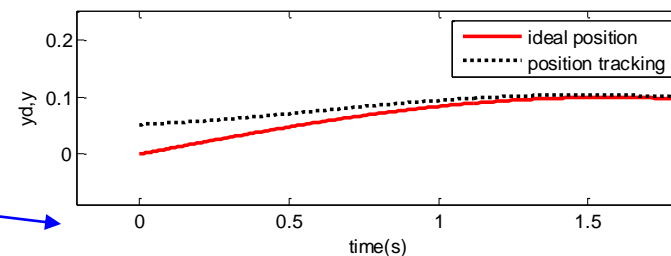
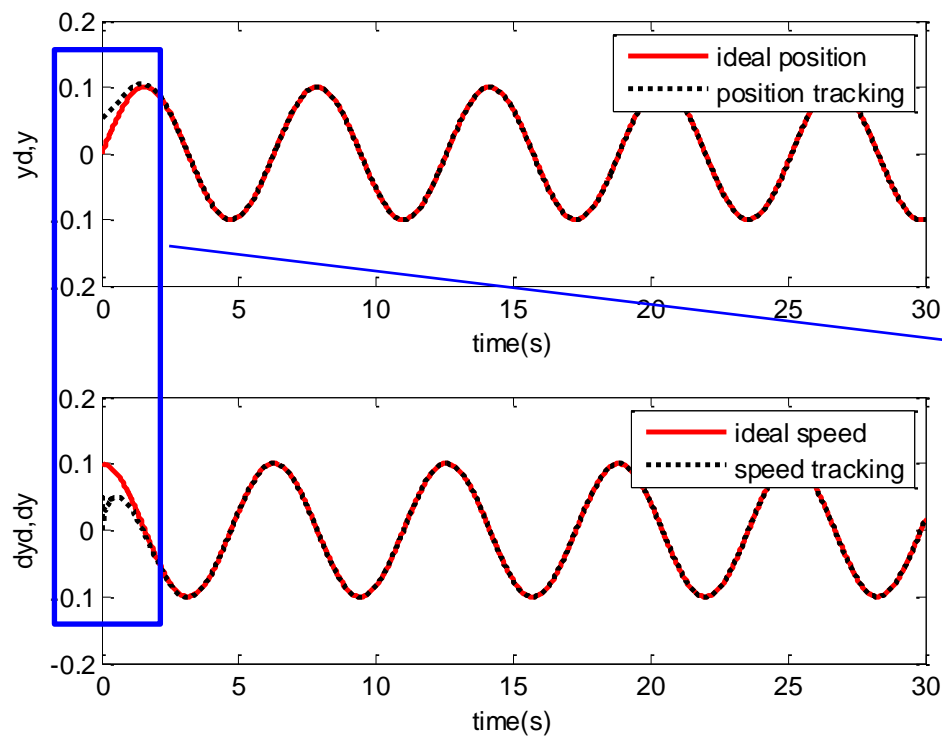
$$g(x) = \frac{\cos x_1 / (m_c + m)}{l(4/3 - m \cos^2 x_1 / (m_c + m))}$$

x_1 和 x_2 分别是摆角和摆速； $g = 9.8m/s^2$, $m_c = 1kg$ 为小车质量, $m = 0.1kg$ 为摆质量； $l = 0.5m$ 为摆长一半； u 为控制输入

$$y_{1d}(t) = 0.1\sin(t)$$

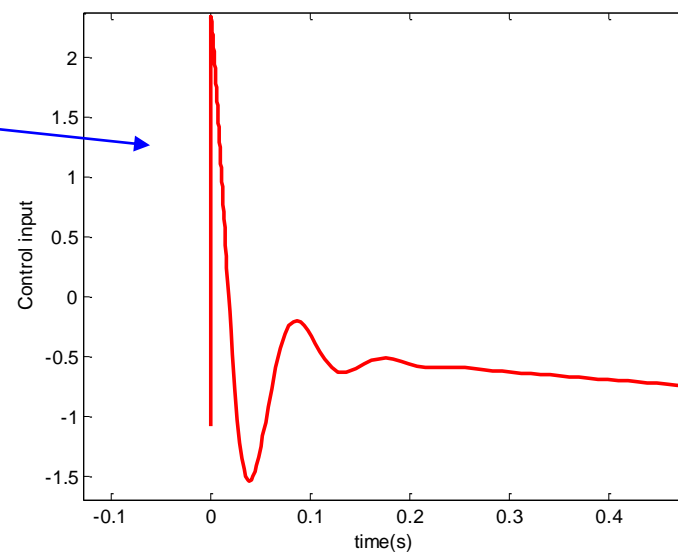
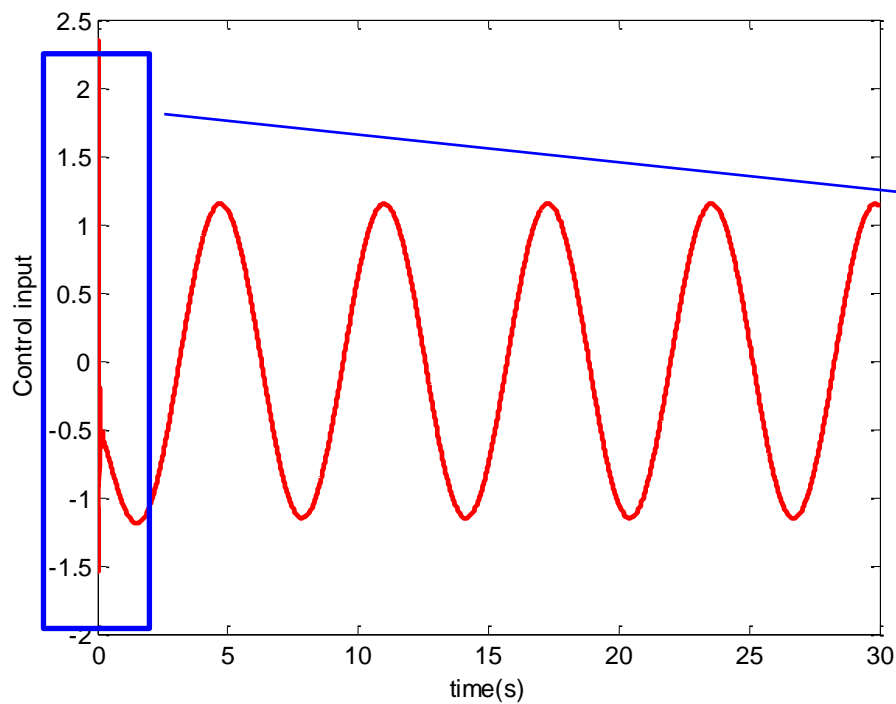
仿真实例2

- 结构参数同实例1

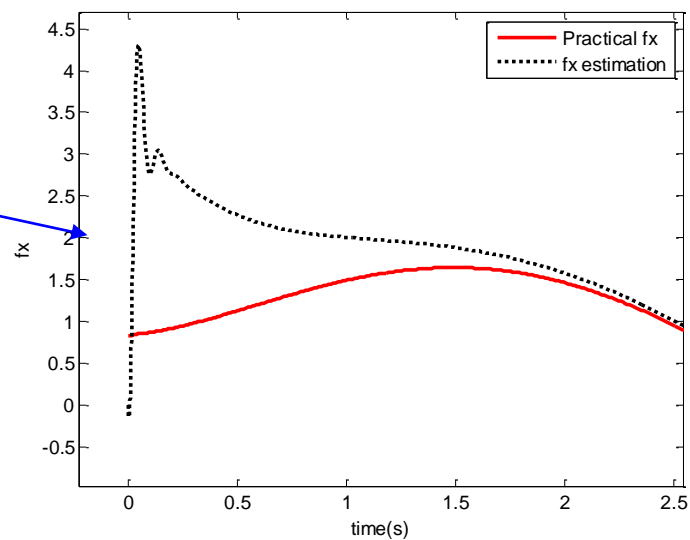
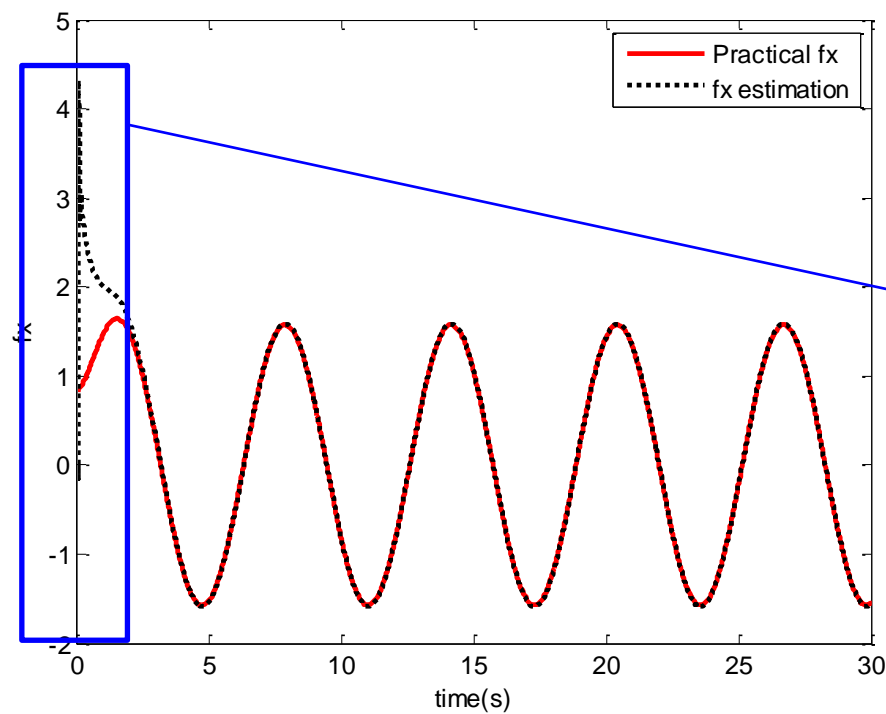


摆角摆速跟踪

仿真实例2

**控制量**

仿真实例2



$f(x)$ 和 $\hat{f}(x)$

基于RBF神经网络补偿的机器人自适应控制

n 关节机械臂，动态方程

$$M(q)\ddot{q} + C(q, \dot{q})\dot{q} + G(q) = \tau + d$$

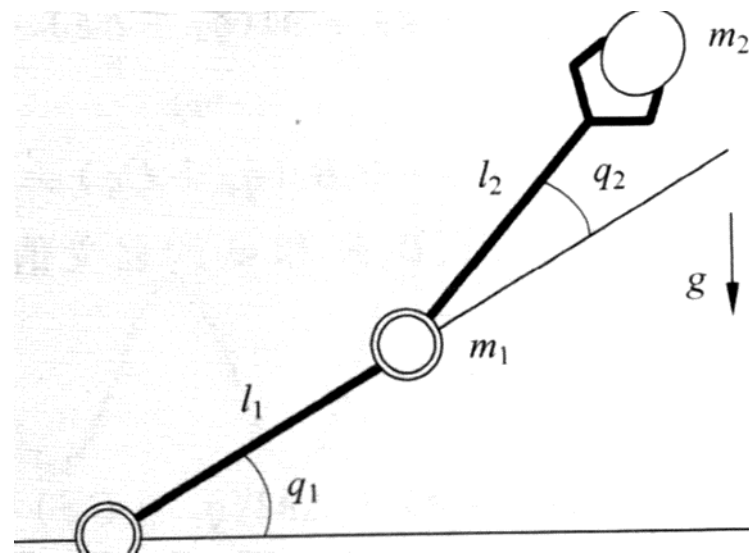
$M(q)$: 正定惯性矩阵

$C(q, \dot{q})$: 离心力和哥氏力项

$G(q)$: 重力项

d : 外界扰动

τ : 控制输入



基于RBF神经网络补偿的机器人自适应控制

标称模型: $M_0(q), C_0(q, \dot{q}), G_0(q)$

$$M_0(q)\ddot{q} + C_0(q, \dot{q})\dot{q} + G_0(q) = \tau + f(q, \dot{q}, \ddot{q})$$

$$\Delta M = M_0 - M, \Delta C = C_0 - C, \Delta G = G_0 - G$$

$$f(q, \dot{q}, \ddot{q}) = \Delta M\ddot{q} + \Delta\dot{q} + \Delta G + d$$

若 f 已知, 可设计控制律

$$\tau = M_0(q)(\ddot{q}_d - k_v\dot{e} - k_p e) + C_0(q, \dot{q})\dot{q} + G_0 - f(q, \dot{q}, \ddot{q})$$

$$k_p = \begin{bmatrix} \alpha^2 & 0 \\ 0 & \alpha^2 \end{bmatrix}, k_v = \begin{bmatrix} 2\alpha & 0 \\ 0 & 2\beta \end{bmatrix}, \alpha > 0$$

闭环动态方程

$$\ddot{e} + k_v\dot{e} + k_p e = 0$$

q_d 理想角度指令, $e = q - q_d, \dot{e} = \dot{q} - \dot{q}_d$

基于RBF神经网络补偿的机器人自适应控制

- 在线辨识机器人模型误差
- 保证闭环系统稳定性

利用RBF估计 $f(\cdot)$, 存在理想权值向量 w^*

$$\max \|f - \hat{f}^*\| \leq \epsilon_0$$
$$w^* = \arg \min_{w \in \Omega} \{ \sup_x \|f - \hat{f}^*\| \}$$

定义

$$\eta = f - \hat{f}^*$$

假定 $\eta_0 = \sup \|f - \hat{f}^*\|$ 有界

$$\hat{f}^* = w^{*T} h(x)$$

基于RBF神经网络补偿的机器人自适应控制

设计如下控制器

$$\tau = M_0(q)(\ddot{q}_d - k_v \dot{e} - k_p e) + C_0(q, \dot{q})\dot{q} + G_0 - \hat{f}$$

$$\hat{f} = \hat{w}^T h(x), \|w^*\|_F \leq w_{max}$$

\hat{w} 估计 w^*

误差动态方程

$$\ddot{e} + k_v \dot{e} + k_p e = M_0^{-1}(q)(f(\cdot) - \hat{f}(\cdot))$$

基于RBF神经网络补偿的机器人自适应控制

$$\dot{x} = Ax + B\{f(\cdot) - \hat{f}(\cdot)\}$$
$$x = (e \ \dot{e})^T, A = \begin{bmatrix} 0 & I \\ -k_p & -k_v \end{bmatrix}, B = \begin{bmatrix} 0 \\ M_0^{-1}(q) \end{bmatrix}$$

$$\begin{aligned} f(\cdot) - \hat{f}(\cdot) &= f(\cdot) - \hat{f}^*(\cdot) + \hat{f}^*(\cdot) - \hat{f}(\cdot) \\ &= \eta + w^{*T}h - \hat{w}^T h = \eta - \tilde{w}^T h \\ \tilde{w} &= \hat{w} - w^*, \eta = f(\cdot) - \hat{f}^*(\cdot) \end{aligned}$$

闭环系统方程

$$\dot{x} = Ax + B(\eta - \tilde{w}^T h)$$

基于RBF神经网络补偿的机器人自适应控制

定义Lyapunov函数

$$V = \frac{1}{2} x^T P x + \frac{1}{2\gamma} \|\tilde{w}\|^2$$

$$\gamma > 0, PA + A^T P = -Q, Q \geq 0$$

定义 $\|R\|^2 = \sum_{i,j} |r_{ij}|^2 = \text{tr}(RR^T) = \text{tr}(R^T R)$

$$\dot{V} = \frac{1}{2} [x^T P \dot{x} + \dot{x}^T P x] + \frac{1}{\gamma} \text{tr}(\dot{\tilde{w}}^T \tilde{w})$$

$$= \frac{1}{2} x^T Q x + \eta^T B^T P x - h^T \tilde{w} B^T P x + \frac{1}{\gamma} \text{tr}(\dot{\tilde{w}}^T \tilde{w})$$

基于RBF神经网络补偿的机器人自适应控制

$$h^T \tilde{w} B^T P x = x^T P B \tilde{w}^T h, \eta^T B^T P x = x^T P B \eta$$

由于

$$h^T \tilde{w} B^T P x = \text{tr}[B^T P x h^T \tilde{w}]$$

整理有

$$\dot{V} = -\frac{1}{2} x^T Q x + \frac{1}{\gamma} \text{tr}(-\gamma B^T P x h^T \tilde{w} + \dot{\tilde{w}}^T \tilde{w}) + \eta^T B^T P x$$

基于RBF神经网络补偿的机器人自适应控制

■ 自适应律设计方法1

$$\dot{\hat{w}} = \gamma h x^T P B$$

$$\dot{\tilde{w}} = \dot{\hat{w}}$$

$$\Rightarrow \dot{V} = -\frac{1}{2} x^T Q x + \eta^T B^T P x$$

$$\dot{V} \leq -\frac{1}{2} \lambda_{\min}(Q) \|x\|^2 + \|x\| \|\eta_0\| \|M_0^{-1}(q)\| \lambda_{\max}(P)$$

$$= -\frac{1}{2} \|x\| [\lambda_{\min}(Q) \|x\| - 2 \|\eta_0\| \|M_0^{-1}(q)\| \lambda_{\max}(P)]$$

$$(\|\eta^T\| \leq \|\eta_0\|, \|B\| = \|M_0^{-1}(q)\|)$$

基于RBF神经网络补偿的机器人自适应控制

■ 自适应律设计方法1

$$\begin{aligned}\dot{V} \leq 0 &\Rightarrow \lambda_{\min}(Q) \geq \frac{2\|M_0^{-1}(q)\|\lambda_{\max}(P)}{\|x\|} \|\eta_0\| \\ &\Rightarrow \|x\| \geq \frac{2\|M_0^{-1}(q)\|\lambda_{\max}(P)}{\lambda_{\min}(Q)}\end{aligned}$$

基于RBF神经网络补偿的机器人自适应控制

■ 自适应律设计方法2

$$\dot{\hat{w}} = \gamma h x^T P B + k_1 \gamma \|x\| \hat{w}, k_1 > 0$$

$$\Rightarrow \dot{V} = -\frac{1}{2} x^T Q x + k_1 \gamma \|x\| \text{tr}(\hat{w}^T \tilde{w}) + \eta^T B^T P x$$

F范数性质 $\text{tr}[\tilde{x}^T (x - \tilde{x})] \leq \|\tilde{x}\|_F \|x\|_F - \|\tilde{x}\|_F^2$

$$\text{tr}(\hat{w}^T \tilde{w}) = \text{tr}(\tilde{w}^T \hat{w}) = \text{tr}[\tilde{w}^T (\tilde{w} + w^*)] \leq \|\tilde{w}\|_F \|W^*\|_F - \|\tilde{w}\|_F^2$$

基于RBF神经网络补偿的机器人自适应控制

$$\dot{V} \leq -\|x\| \left(\frac{1}{2} \lambda_{\min}(Q) \|x\| + k_1 \left(\|\tilde{w}\|_F - \frac{\omega_{\max}}{2} \right)^2 - \frac{k_1}{4} \omega_{\max}^2 - \|\eta_0\| \lambda_{\max}(P) \right)$$

为使 $\dot{V} \leq 0$, 选择参数使

$$\frac{1}{2} \lambda_{\min}(Q) \|x\| \geq \|\eta_0\| \lambda_{\max}(P) + \frac{k_1}{4} \omega_{\max}^2 = \|w^*\|_F$$

或

$$k_1 \left(\|\tilde{w}\|_F - \frac{\omega_{\max}}{2} \right)^2 \geq \|\eta_0\| \lambda_{\max}(P) + \frac{k_1}{4} \omega_{\max}^2$$

从而 $\|x\| \geq \frac{2}{\lambda_{\min}(Q)} \left(\|\eta_0\| \lambda_{\max}(P) + \frac{k_1}{4} \omega_{\max}^2 \right)$

或 $\|\tilde{w}\|_F \geq \frac{\omega_{\max}}{2} + \sqrt{\frac{1}{k_1} \left(\|\eta_0\| \lambda_{\max}(P) + \frac{k_1}{4} \omega_{\max}^2 \right)}$

仿真实例

■ 双关节机械臂动力学模型

$$M(q) = \begin{pmatrix} v + q_{01} + 2\gamma \cos q_2 & q_{02} + \cos q_2 \\ q_{02} + \cos q_2 & q_{02} \end{pmatrix}$$
$$C(q, \dot{q}) = \begin{pmatrix} -q_{02} \dot{q}_2 \sin q_2 & -q_{02} (\dot{q}_1 + \dot{q}_2) \sin q_2 \\ q_{02} \dot{q}_1 \sin q_2 & 0 \end{pmatrix}$$
$$G(q) = \begin{pmatrix} 15g \cos q_1 + 8.75g \cos(q_1 + q_2) \\ 8.75g \cos(q_1 + q_2) \end{pmatrix}$$
$$v = 13.3, q_{01} = 8.98, q_{02} = 8.75, g = 9.8$$

外界干扰 $d = d_1 + d_2 \|e\| + d_3 \|\dot{e}\|$, $d_1 = 2, d_2 = 3, d_3 = 6$

仿真实例

关节角和角速度的期望跟踪指令

$$\begin{cases} q_{01} = 1 + 0.2 \sin 0.5\pi t \\ q_{02} = 1 - 0.2 \cos 0.5\pi t \end{cases}$$

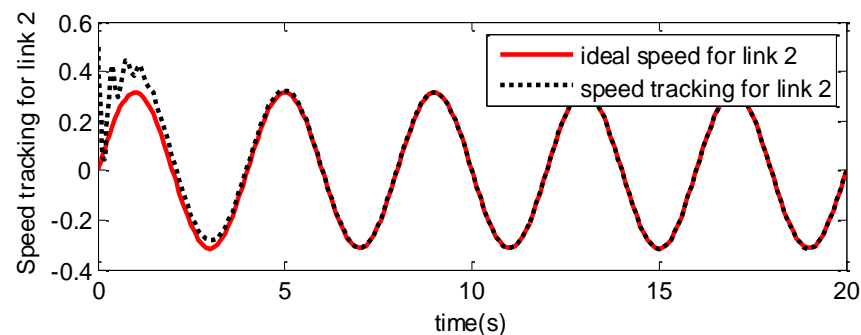
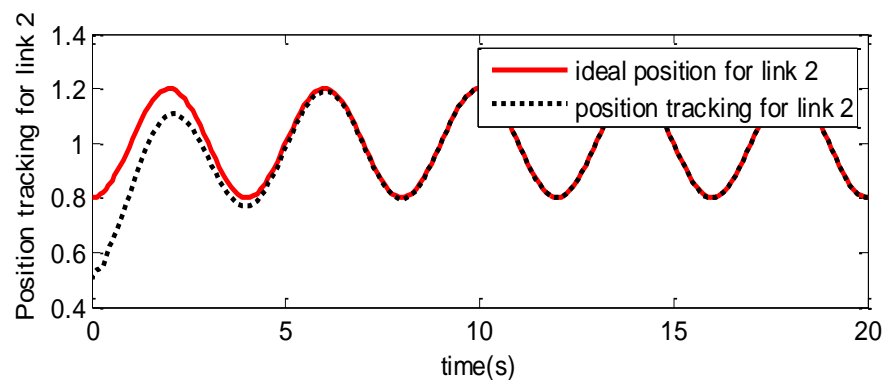
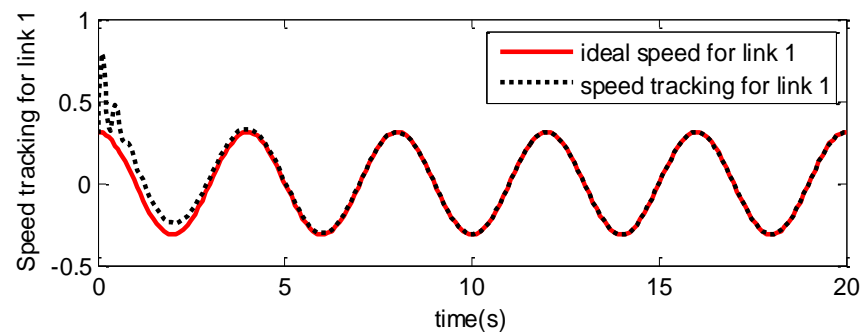
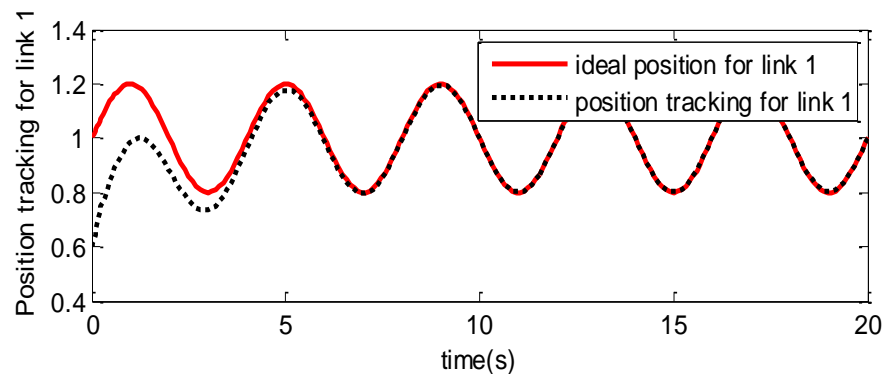
初始状态 $[q_1, q_2, q_3, q_4]^T = [0.6, 0.3, 0.5, 0.5]^T$

$$\Delta M = 0.2M, \Delta C = 0.2C, \Delta G = 0.2G$$

$$Q = \begin{bmatrix} 50 & 0 & 0 & 0 \\ 0 & 50 & 0 & 0 \\ 0 & 0 & 50 & 0 \\ 0 & 0 & 0 & 50 \end{bmatrix}$$

$$\alpha = 3, \gamma = 20, k_1 = 0.001$$

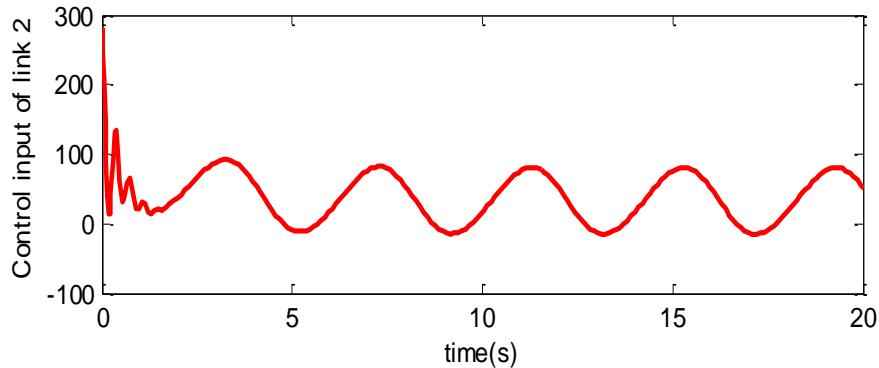
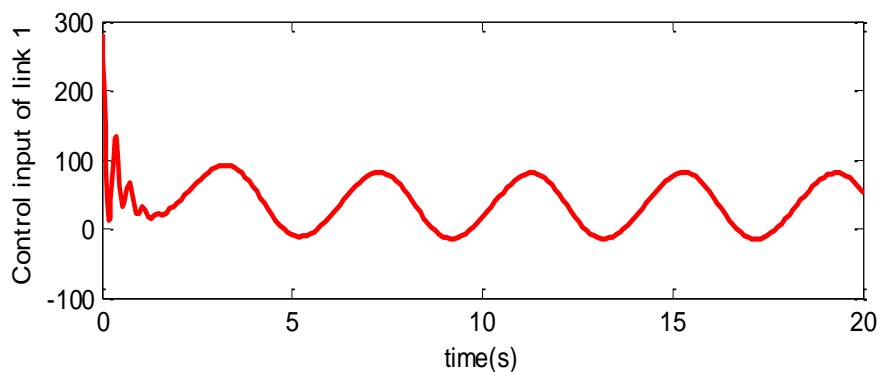
仿真实例



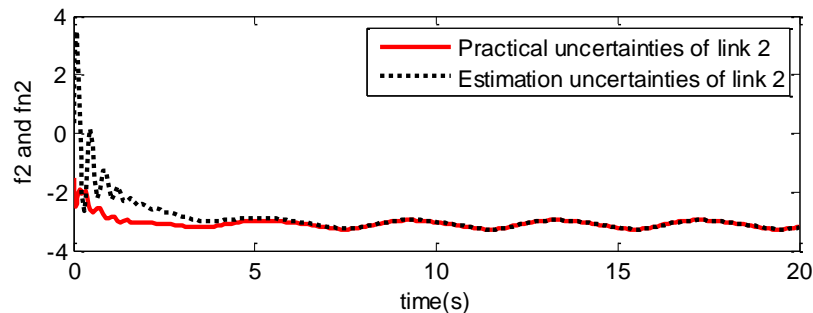
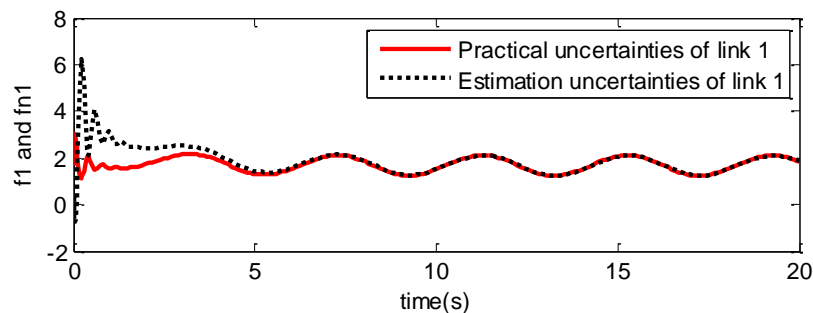
关节1、2角度跟踪

关节1、2角速度跟踪

仿真实例



关节1、2控制输入



关节1、2的 $f(x)$ 及其逼近

离散系统的RBF网络控制

● 考虑离散非线性系统

$$y(k+1) = f(x(k)) + u(k)$$

$$x(k) = [y(k) \quad y(k-1) \quad \cdots \quad y(k-n+1)]^T$$

控制任务 $y(k)$ 跟踪 $y_d(k)$

$$e(k) = y(k) - y_d(k)$$

● 经典控制器设计

若 $f(x(k))$ 已知, 则设计控制律

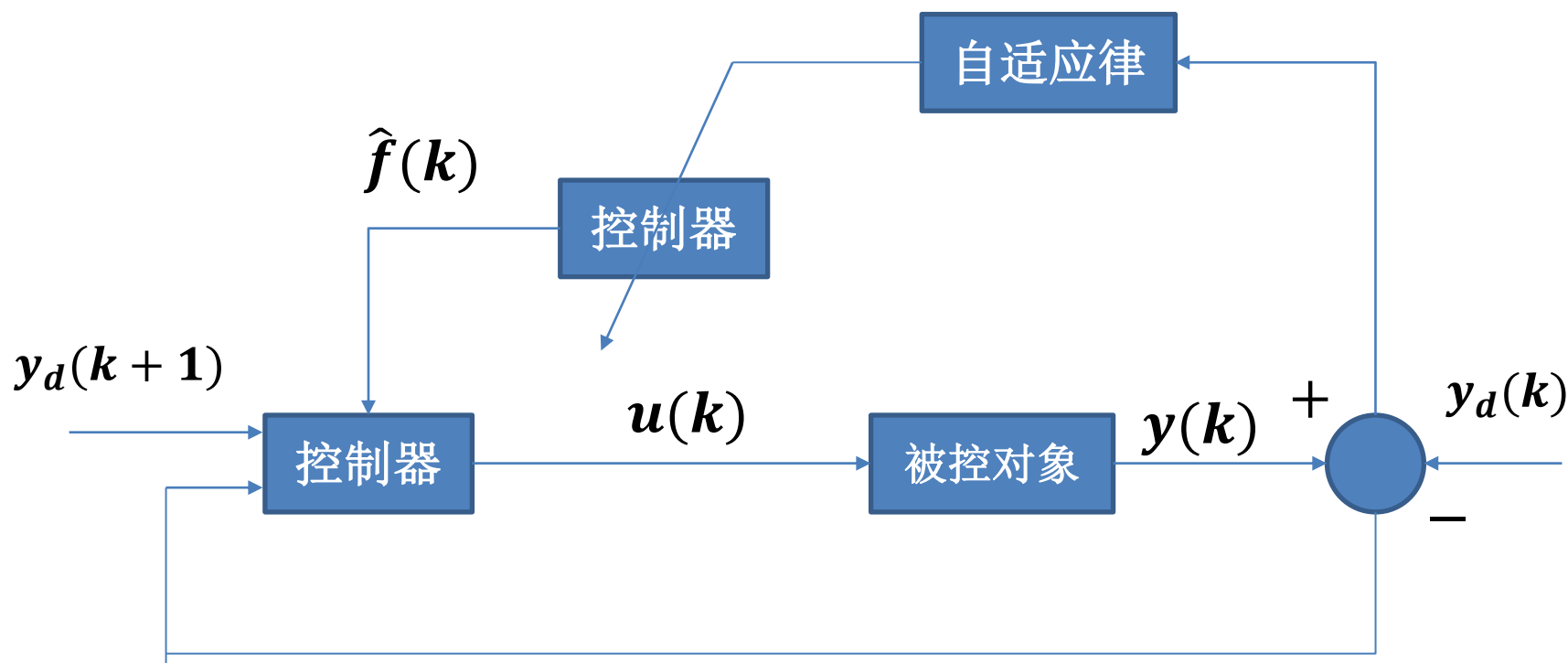
$$u(k) = y_d(k+1) - f(x(k)) - c_1 e(k)$$

可得误差差分方程

$$e(k+1) + c_1 e(k) = 0$$

若 $|c| < 1$, $k \rightarrow \infty$ 时, $e(k) \rightarrow 0$

离散系统的RBF网络控制



基于神经网络逼近的自适应控制

离散系统的RBF网络控制

● 自适应神经网络控制器设计

思想：利用RBF神经网络逼近 $f(x(k))$

$$\hat{f}(x(k)) = \hat{w}^T(k)h(x(k))$$

根据逼近定理，存在最优权值向量 w^*

$$f(x) = \hat{f}(x, w^*) - \Delta_f(x)$$

$\Delta_f(x)$ 为最优神经网络逼近误差， $|\Delta_f(x)| < \epsilon_f$

离散系统的RBF网络控制

神经网络逼近误差可写为

$$\begin{aligned}\tilde{f}(x(k)) &= f(x(k)) - \hat{f}(x(k)) \\ &= \hat{f}(x, w^*) - \Delta_f(x(k)) - \hat{w}^T(k)h(x(k)) \\ &= -\tilde{w}^T(k)h(x(k)) - \Delta_f(x(k)) \\ \tilde{w}(k) &= \hat{w}(k) - w^*\end{aligned}$$

设计控制律

$$u(k) = y_d(k+1) - \hat{f}(x(k)) - c_1 e(k)$$

离散系统的RBF网络控制

误差方程 $e(k) + c_1 e(k-1) = \tilde{f}(x(k-1))$

$$e(k) = \Gamma^{-1}(z^{-1}) \tilde{f}(x(k-1))$$

$$\Gamma(z^{-1}) = 1 + c_1 z^{-1}$$

定义增广误差信号 (augmented error signal)

$$e_1(k) = \beta (e(k) - \Gamma^{-1}(z^{-1}) v(k)), \beta > 0$$

$$e_1(k) = \beta \frac{1}{1 + c_1 z^{-1}} \tilde{f}(x(k-1) - v(k))$$

$$e_1(k-1) = \frac{\beta \tilde{f}(x(k-1) - v(k) - e_1(k))}{c_1}$$

$v(k)$ 辅助信号 (auxiliary signal)

离散系统的RBF网络控制

定义离散时间Lyapunov函数

$$V(k) = e_1^2(k) + \gamma \tilde{w}^T(k) \tilde{w}(k)$$

$$\Delta V(k) = V(k) - V(k-1)$$

$$= -V_1$$

$$+ 2\hat{w}^T(k-1) \left(\gamma \Delta \hat{w}(k) - \frac{\beta}{c_1^2} h(x(k-1)) e_1(k) \right) \\ - \frac{2\beta}{c_1^2} \left(\Delta_f(x(k-1)) + v(k) \right) e_1(k) + \gamma \Delta \hat{w}^T(k) \Delta \hat{w}(k)$$

$$V_1 = \frac{e_1^2(k)(1 - c_1^2)}{c_1^2} + \frac{\beta^2 (\tilde{f}(x(k-1)) - v(k))^2}{c_1^2} \geq 0$$

离散系统的RBF网络控制

设计自适应律

$$\Delta \hat{w}(k) = \begin{cases} \frac{\beta}{\gamma c_1^2} h(x(k-1)) e_1(k) & |e_1(k)| > \frac{\varepsilon_f}{G} \\ 0 & |e_1(k)| \leq \frac{\varepsilon_f}{G} \end{cases}$$
$$\Delta \hat{w}(k) = \hat{w}(k) - \hat{w}(k-1), \gamma > 0, G > 0$$

离散系统的RBF网络控制

$$\Delta V(k) = \begin{cases} -V_1 - \frac{2\beta}{c_1^2} \left(\Delta_f(x(k-1)) + v(k) \right) e_1(k) + \\ \left(\frac{\beta}{\sqrt{\gamma} c_1^2} \right)^2 h^T(x(k-1)) h(x(k-1)) e_1^2(k) & |e_1(k)| > \frac{\varepsilon_f}{G} \\ -V_1 - \frac{2\beta}{c_1^2} \left[\left(\tilde{w}^T(k-1) h(x(k-1)) \right) + \right. \\ \left. v(k) + \Delta_f(x(k-1)) e_1(k) \right] & |e_1(k)| \leq \frac{\varepsilon_f}{G} \end{cases}$$

设计辅助信号 $v(k)$ **保证** $e_1(k) \rightarrow 0$, **从而** $e(k) \rightarrow 0$

$$v(k) = v_1(k) + v_2(k)$$

$$v_1(k) = \frac{\beta}{2\gamma c_1^2} h^T(x(k-1)) h(x(k-1)) e_1(k) \quad v_2(k) = G e_1(k)$$

离散系统的RBF网络控制

- 若 $|e_1(k)| > \frac{\varepsilon_f}{G}$, 则

$$\Delta V(k) \leq -\frac{2\beta}{c_1^2} \left(\Delta_f(x(k-1)) + G e_1(k) \right) e_1(k)$$

$$\begin{aligned} |\Delta_f(x)| < \varepsilon_f, |e_1(k)| > \frac{\varepsilon_f}{G} &\Rightarrow |e_1(k)| > \frac{|\Delta_f(x(k-1))|}{G}, e_1^2(k) \\ &> \frac{-\Delta_f(x(k-1))e_1(k)}{G} \end{aligned}$$

因此

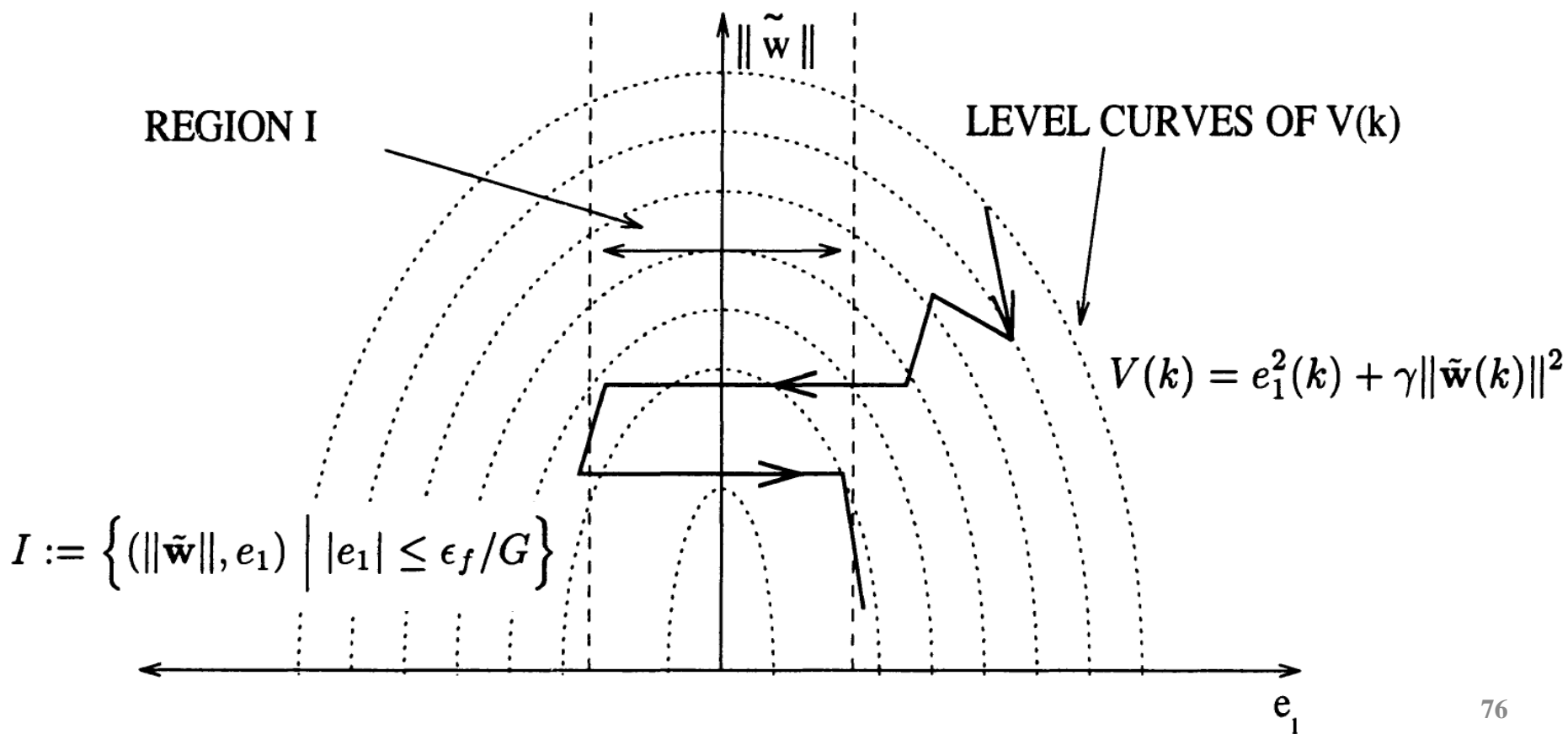
$$\left(\Delta_f(x(k-1)) + G e_1(k) \right) e_1(k) > 0$$

故

$$\Delta V(k) < 0$$

离散系统的RBF网络控制

若 $|e_1(k)| \leq \frac{\epsilon_f}{G}$, 则可以保证跟踪性能, 且 $\Delta V(k)$ 可以任意小



离散系统的RBF网络控制

$$\lim_{k \rightarrow \infty} |e_1(k)| \leq \left[1 + \frac{1 - |c_1|}{\beta G} + \frac{\beta \bar{h}}{2\gamma c_1^2 G} \right] \frac{\epsilon_f}{1 - |c_1|}$$

$$\cong \frac{\epsilon_f}{1 - |c_1|} \quad \text{if } G \gg \frac{1 - |c_1|}{\beta} + \frac{\beta \bar{h}}{2\gamma c_1^2}$$

$$\bar{h} = h^T(x(k-1))h(x(k-1))$$

Simon G. Fabri, Visakan Kadiramanathan. Functional Adaptive Control An Intelligent Systems Approach Springer Verlag London (2001), Chapter 5.

仿真实例

离散时间系统

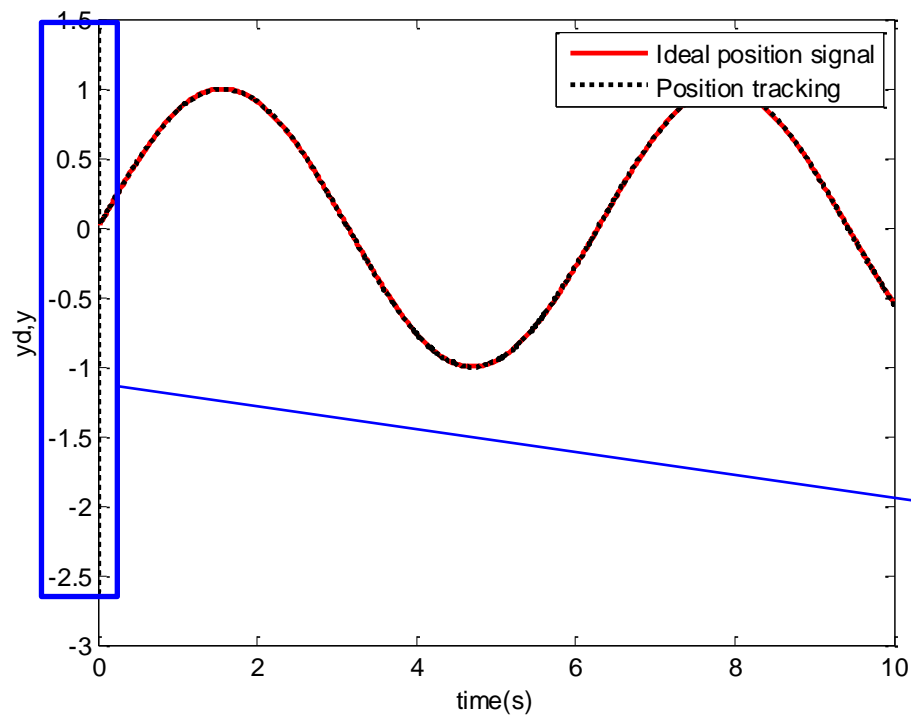
$$y(k) = f(x(k-1)) + u(k-1)$$
$$f(x(k-1)) = \frac{0.5y(k-1)(1-y(k-1))}{1 + \exp(-0.25y(k-1))}$$

假定 $f(x(k-1))$ 未知，用RBF对其进行逼近，结构为1-9-1，网络输入取 $y(k-1)$, $c_i = [-2, -1.5, -1.0, -0.5, 0, 0.5, 1.0, 1.5, 2]$, $b_i = 15$, ($i = 1, j = 1, 2, \dots, 9$), 初始取值为 $(0, 1)$ 之间的随机数

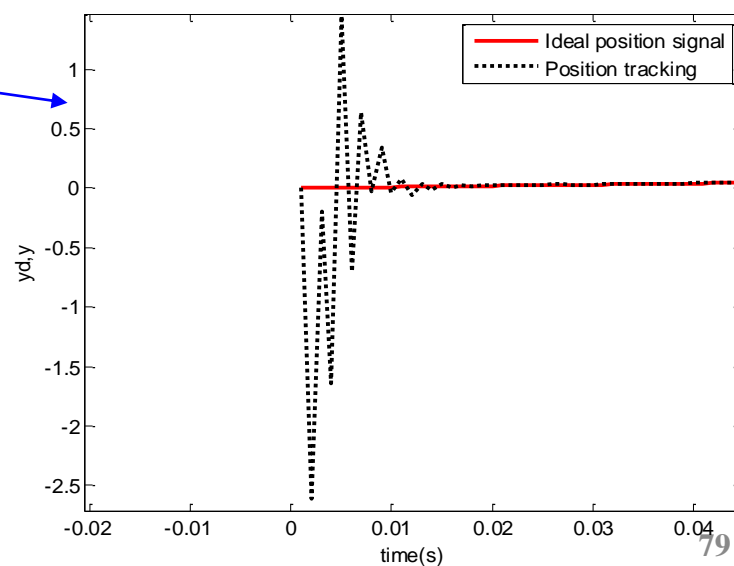
$$y_d = \sin t$$

$$c_1 = -0.01, \beta = 0.001, \gamma = 0.001, G = 50000, \epsilon_f = 0.003$$

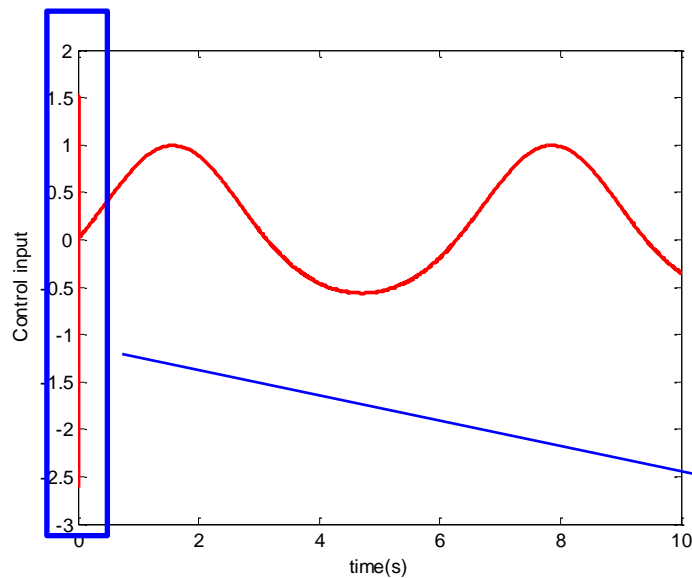
仿真实例

 $t_s=0.001$

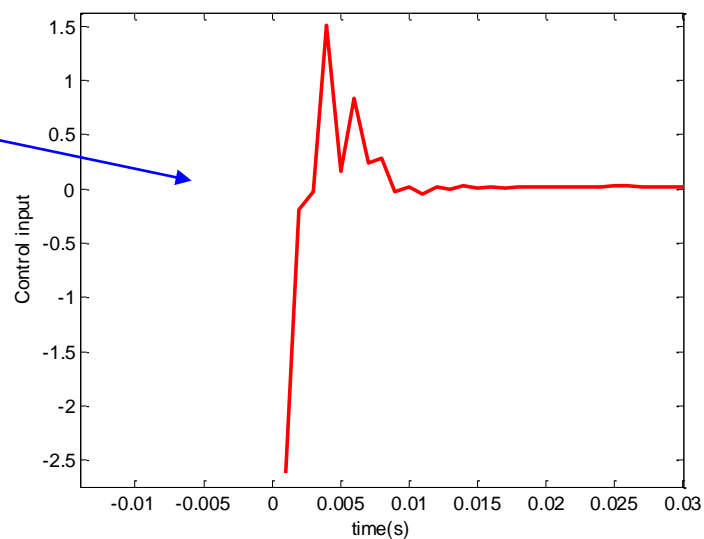
指令跟踪



仿真实例

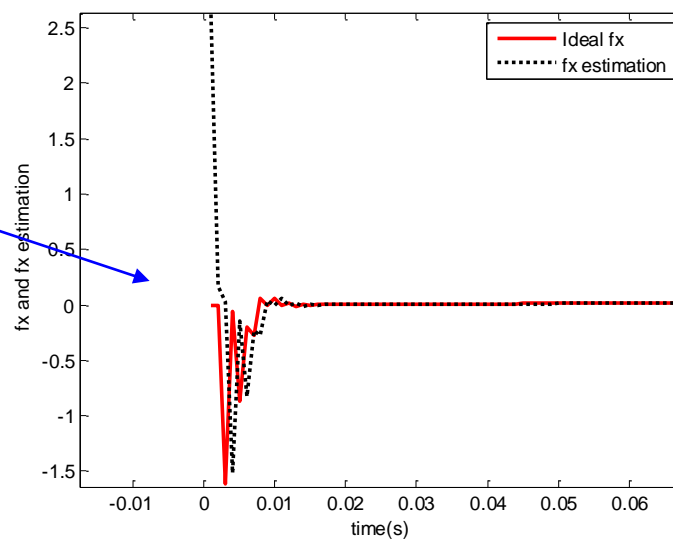
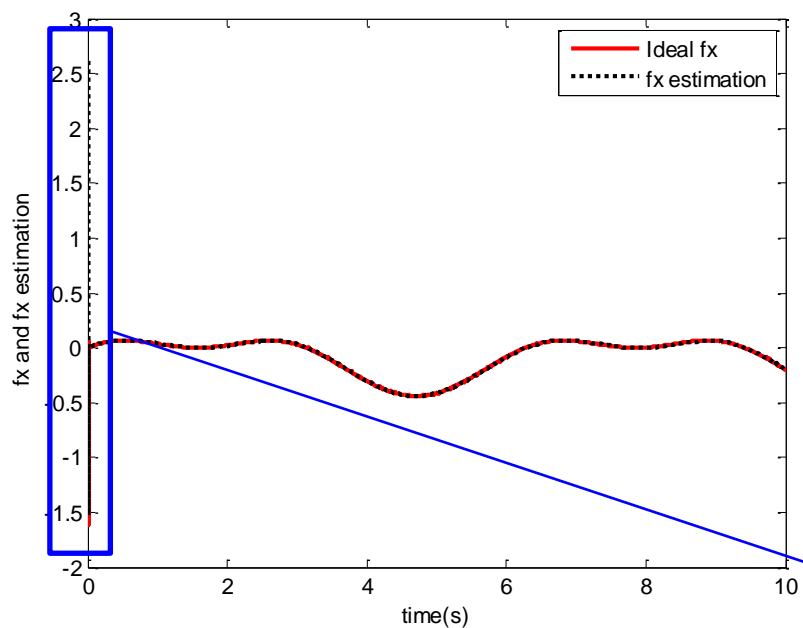


控制量



仿真实例

$f(x(k-1))$ 及其估计



本讲的主要内容

一、人工神经元控制系统

二、RBF神经网络控制

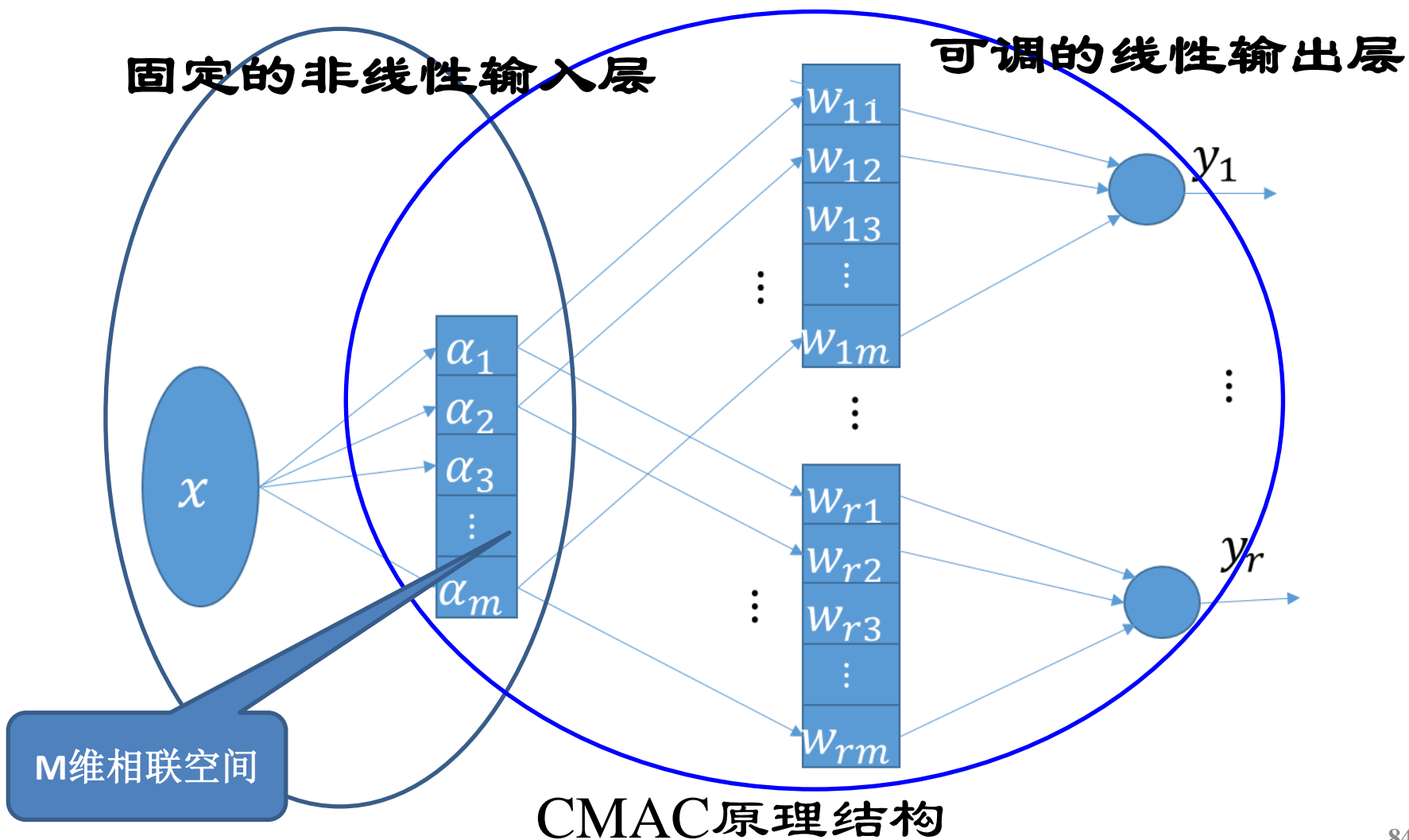
三、CMAC神经网络控制

四、Hopfield网络优化

CMAC神经网络

- **小脑模型关节控制器**（Cerebellar Model Articulation Controller） 1975 Albus
- **仿照小脑如何控制肢体运动的原理而建立的神经网络模型，主要用来求解机械手的关节运动**
- **推广至机器人控制、模式识别、自适应控制、信号处理等**
- **局部逼近神经网络**
- **一种联想网络，具有局部泛化能力，相似输入产生相似输出，远离的输入产生几乎独立地输出**

CMAC神经网络



CMAC神经网络数学表示

实现非线性映射

$$\mathbf{y} = f(\mathbf{x}) \quad \mathbf{x} = [x_1, x_2, \dots, x_n]^T, \mathbf{y} = [y_1, y_2, \dots, y_r]^T$$

- (1) $S: \mathbf{x} \rightarrow A, \boldsymbol{\alpha} = S(\mathbf{x})$

$$\boldsymbol{\alpha} = [\alpha_1, \alpha_2, \dots, \alpha_m]^T \in A, \alpha_i = 0 \text{ or } 1$$

A 为 m 维相联空间；固定数目 c 的 $\alpha_i = 1$, c :感受野 (reception field) 的大小, 泛化参数

- (2) $P: A \rightarrow \mathbf{y}, \mathbf{y} = P(\boldsymbol{\alpha}) = W\boldsymbol{\alpha}$

$$W = \begin{bmatrix} w_{11} & \cdots & w_{1m} \\ \vdots & \ddots & \vdots \\ w_{r1} & \cdots & w_{rm} \end{bmatrix}, \boldsymbol{\alpha} = \begin{bmatrix} \alpha_1 \\ \vdots \\ \alpha_m \end{bmatrix}$$

$$y_i = P_i(\boldsymbol{\alpha}) = \sum_{j=1}^m w_{ij} \alpha_j$$

CMAC神经网络学习算法

连接权学习算法

标量形式 $w_{ij}(k+1) = \frac{w_{ij}(k) + \beta(y_{di} - y_i)\alpha_j}{\alpha^T \alpha}$

矢量形式 $w_i(k+1) = \frac{w_i(k) + \beta(y_{di} - y_i)\alpha}{\alpha^T \alpha}$

$$0 < \beta < 2$$

CMAC神经网络学习算法

定义

$$e_i(k) = y_{di}(k) - y_i(k) = y_{di} - w_i(k)\alpha(x)$$

$$\begin{aligned}\Delta e_i(k) &= e_i(k+1) - e_i(k) \\ &= [y_{di} - y_i(k+1)] - [y_{di} - y_i(k)] \\ &= -[y_i(k+1) - y_i(k)] \\ &= -[w_i(k+1) - w_i(k)]\alpha(x) \\ \Delta w_i(k) &= \frac{\beta e_i(k)\alpha(x)}{\alpha^T(x)\alpha(x)}\end{aligned}$$

$$\begin{aligned}\Delta e_i(k) &= -\beta e_i(k)\alpha^T(x)\alpha(x)/\alpha^T(x)\alpha(x) = -\beta e_i(k) \\ e_i(k+1) &= (1 - \beta)e_i(k)\end{aligned}$$

CMAC神经网络

$$\lim_{k \rightarrow \infty} e_i(k) = 0$$
$$|1 - \beta| < 1 \Rightarrow 0 < \beta < 2$$

CMAC网络具有如下特性：

- 可以实现从输入到输出的任意映射，输入各向量分量的量化精度愈高，分块愈细，逼近任意函数的精度就愈高
- 具有局部扩展功能，即在局部空间中靠近的向量，对应的输出也是靠近的
- 采用自适应LMS自适应算法，可得到全局最小值
- 由于相联空间中只有少数几个元素为1，其余均为0，因此在一次训练中只有少数的连接权需要调整，计算量比BP网络要小

CMAC输入层非线性映射实现

输入向量 $\mathbf{x} = [x_1, x_2, \dots, x_n]^T \rightarrow$ 相联空间 A 中向量 α
 $S: \mathbf{x} \rightarrow A$

输入较近 \Rightarrow 输出较近

输入较远 \Rightarrow 输出较远

输入空间距离 (海明距离, Hamming Distance)

$$H_{ij} = \sum_{k=1}^n |x_{ik} - x_{jk}|$$

x_i 与 x_j 距离较近

交集 $A_i^* \cap A_j^*$ 应较大

x_i 与 x_j 距离较远

交集 $A_i^* \cap A_j^*$ 应较小

CMAC输入层非线性映射实现

A^* 表示 A 中非零元素的集合

要求：相联空间的元素个数 $|A_p|$ 远远大于 A^* 中元素的个数 $|A^*|$ ，通常选 $|A_p| = 100|A^*|$

保证输入空间的每一点都存在唯一的映射 $x \rightarrow A$

假定向量 x 的每个分量可以取 q 个不同的值，则输入共有 q^n 个不同模式。

假定 $u = |A^*|$, $v = |A_p| / |A^*|$ ，则 A^* 的组合数为

$$C_{uv}^u = \frac{(uv)!}{u!(uv-v)!} > \frac{(uv-u)^u}{u!} > \frac{(uv-u)^u}{u^u} = (v-1)^u$$
$$v = 100 \Rightarrow q^n < 99|A^*|$$

CMAC输入层非线性映射实现

非线性映射分解成两步

$$x \rightarrow M, M \rightarrow A$$

1) $x \rightarrow M$

- 将输入向量 x 的每个分量 x_i 转成二进制变量 m_i ,
- m_i 只有一个区间段的位值均为1, 其余为0
- 在任何一个 m_i 中位值为1的个数 $|m^*|$ 均等于 $|A^*|$

CMAC输入层非线性映射实现

$$x \rightarrow m, c = 4$$

	m											
x	μ_a	μ_b	μ_c	μ_d	μ_e	μ_f	μ_g	μ_h	μ_i	μ_j	μ_k	μ_l
1	1	1	1	1	0	0	0	0	0	0	0	0
2	0	1	1	1	1	0	0	0	0	0	0	0
3	0	0	1	1	1	1	0	0	0	0	0	0
4	0	0	0	1	1	1	1	0	0	0	0	0
5	0	0	0	0	1	1	1	1	0	0	0	0
6	0	0	0	0	0	1	1	1	1	0	0	0
7	0	0	0	0	0	0	1	1	1	1	0	0
8	0	0	0	0	0	0	0	1	1	1	1	0
9	0	0	0	0	0	0	0	0	1	1	1	1

CMAC输入层非线性映射实现

$x \rightarrow m$ 简化形式

x	m^*
1	a, b, c, d
2	e, b, c, d
3	e, f, c, d
4	e, f, g, d
5	e, f, g, h
6	i, f, g, h
7	i, j, g, h
8	i, j, k, h
9	i, j, k, l

$$H_{ij} < |A_i^*| \text{ 时,}$$

$$H_{ij} = |A_i^*| - |A_i^* \wedge A_j^*|$$

$$x_1 = 1, x_2 = 3 \text{ 时,}$$

$$A_1^* \wedge A_2^* = \{c, d\}, |A_i^*| = 4$$

$$H_{12} = |A_1^*| - |A_1^* \wedge A_2^*| = 2$$

CMAC输入层非线性映射实现

$$x = [x_1, x_2]^T, 1 \leq x_1 \leq 5, 1 \leq x_2 \leq 7, |A_i^*| = 4$$

$x \rightarrow m$ 简化形式

$x \rightarrow m$ 简化形式

x_1	m_1^*
1	A, B, C, D
2	E, B, C, D
3	E, F, C, D
4	E, F, G, D
5	E, F, G, H

x_2	m_2^*
1	a, b, c, d
2	e, b, c, d
3	e, f, c, d
4	e, f, g, d
5	e, f, g, h
6	i, f, g, h
7	i, j, g, h

CMAC输入层非线性映射实现

2) $M \rightarrow A, c = 4$

A^* x_1 x_2		A,B,C,D	E,B,C,D	E,F,C,D	E,F,G,D	E,F,G,H
		1	2	3	4	5
a, b, c, d	1	Aa, Bb, Cc, Dd	Ea, Bb, Cc, Dd	Ea, Fb, Cc, Dd	Ea, Fb, Gc, Dd	Ea, Fb, Gc, Hd
e, b, c, d	2	Ae, Bb, Cc, Dd	Ee, Bb, Cc, Dd	Ee, Fb, Cc, Dd	Ee, Fb, Gc, Dd	Ee, Fb, Gc, Hd
e, f, c, d	3	Ae, Bf, Cc, Dd	Ee, Bf, Cc, Dd	Ee, Ff, Cc, Dd	Ee, Ff, Gc, Dd	Ee, Ff, Gc, Hd
e, f, g, d	4	Ae, Bf, Cg, Dd	Ee, Bf, Cg, Dd	Ee, Ff, Cg, Dd	Ee, Ff, Gg, Dd	Ee, Ff, Gg, Hd
e, f, g, h	5	Ae, Bf, Cg, Dh	Ee, Bf, Cg, Dh	Ee, Ff, Cg, Dh	Ee, Ff, Gg, Dh	Ee, Ff, Gg, Hh
i, f, g, h	6	Ai, Bf, Cg, Dh	Ei, Bf, Cg, Dh	Ei, Ff, Cg, Dh	Ei, Ff, Gg, Dh	Ei, Ff, Gg, Hh
i, j, g, h	7	Ai, Bj, Cg, Dh	Ei, Bj, Cg, Dh	Ei, Fj, Cg, Dh	Ei, Fj, Gg, Dh	Ei, Fj, Gg, Hh

CMAC输入层非线性映射实现

$$\begin{aligned}x_1 &= [3, 5]^T, x_2 = [3, 2]^T \\ H_{12} &= 3, A_1^* \wedge A_2^* = \{Ee\}, |A^*| = 4\end{aligned}$$

$$H_{12} = |A_1^*| - |A_1^* \wedge A_2^*| = 3$$

对所有的组合并不总成立，但 x_1, x_2 距离增加时， $|A_1^* \wedge A_2^*|$ 不会增加

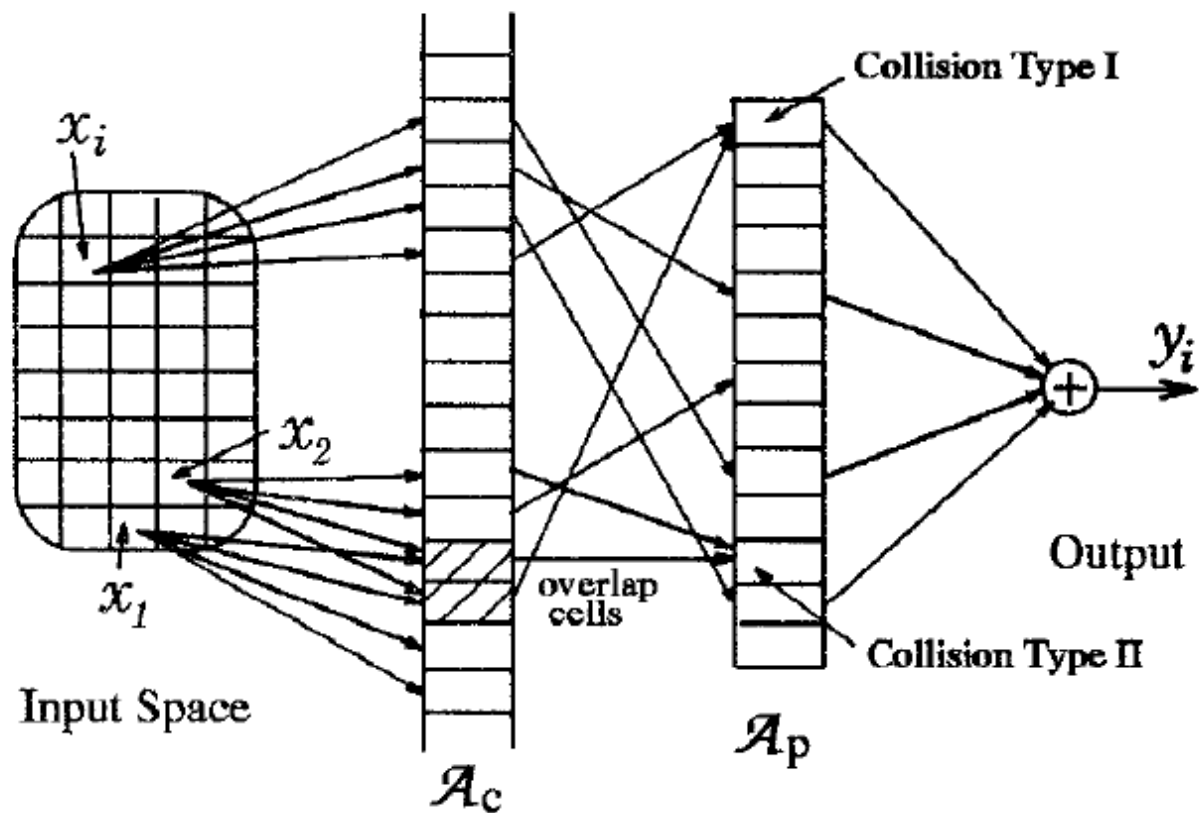
$S: x \rightarrow A$ 使邻域内产生泛化，而不同邻域则产生分类

CMAC网络存储哈希编码

■ A 到 A_p 的映射

- x 的每个分量有 q 个值, 则 A 的维数为 q^n , 如 $q = 50, n = 10$, 则需 50^{10} 个存储单元
- 哈希编码: 计算机中数据压缩技术。当在一个大的存储区域稀疏地存储一些数据时, 可以通过哈希编码将其压缩到一个很小的区域。

将稀疏地存于 A 中的 A^* 通过哈希编码将其压缩存储到小的存储区域 A_p 中。可以通过产生一个伪随机数的程序来实现, 将大的存储区域 A 的地址作为该伪随机数产生程序的变量, 产生的随机数限制在一个很小的范围内, 该随机数便作为小存储区域 A_p 的地址。



CMAC网络存储哈希编码

■ A 到 A_p 的映射

①同一输入向量 x 所对应的 A^* 的不同元素映射到同一地址的概率 ($|A_p| = 2000, |A^*| = 20$)

$$\frac{1}{2000} + \frac{2}{2000} + \cdots + \frac{19}{2000} \approx 0.1$$

②相距较远向量 x_1, x_2 有 $A_1^* \wedge A_2^* = \Phi$,但经过映射后

$$A_{1p}^* \wedge A_{2p}^* \neq \Phi$$

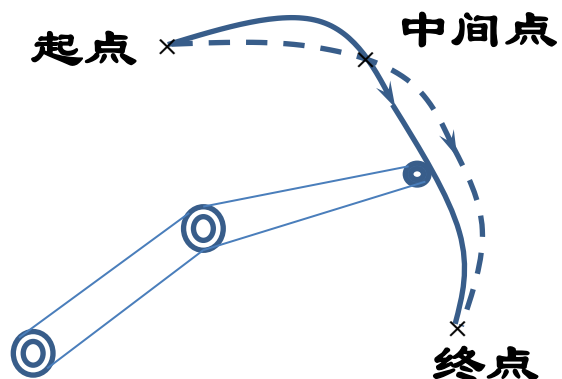
$$\text{prob}(|A_1^* \wedge A_2^*| = 0) = 0.818$$

$$\text{prob}(|A_1^* \wedge A_2^*| = 1) = 0.165$$

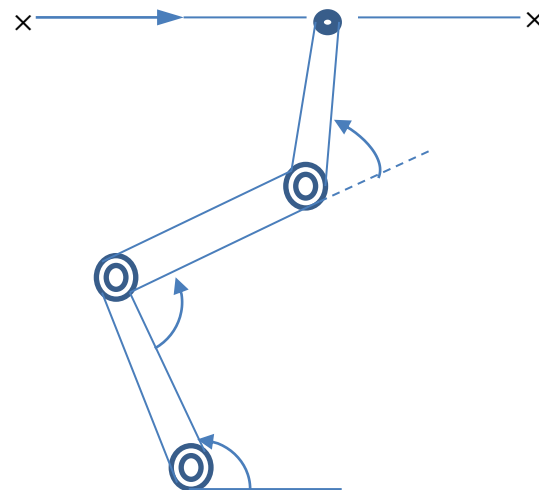
$$\text{prob}(|A_1^* \wedge A_2^*| = 2) = 0.016$$

$$\text{prob}(|A_1^* \wedge A_2^*| \geq 3) = 0.001$$

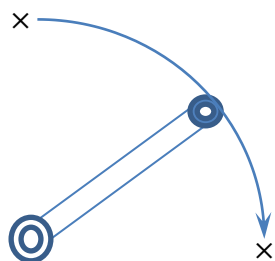
机械手控制问题



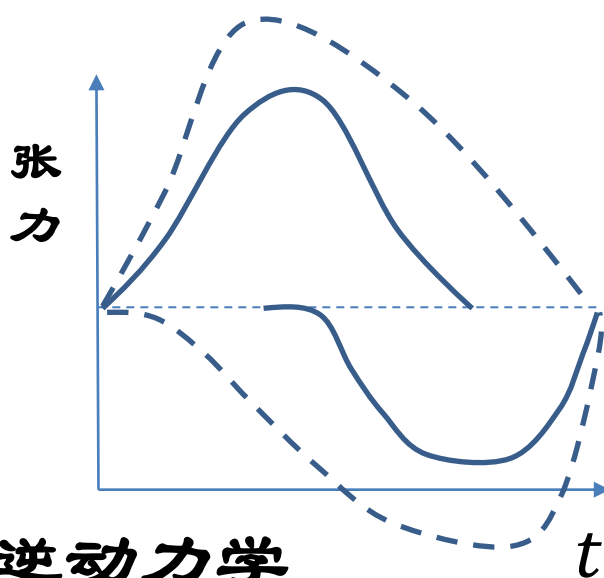
a. 轨迹规划



b. 逆运动学



c. 逆动力学



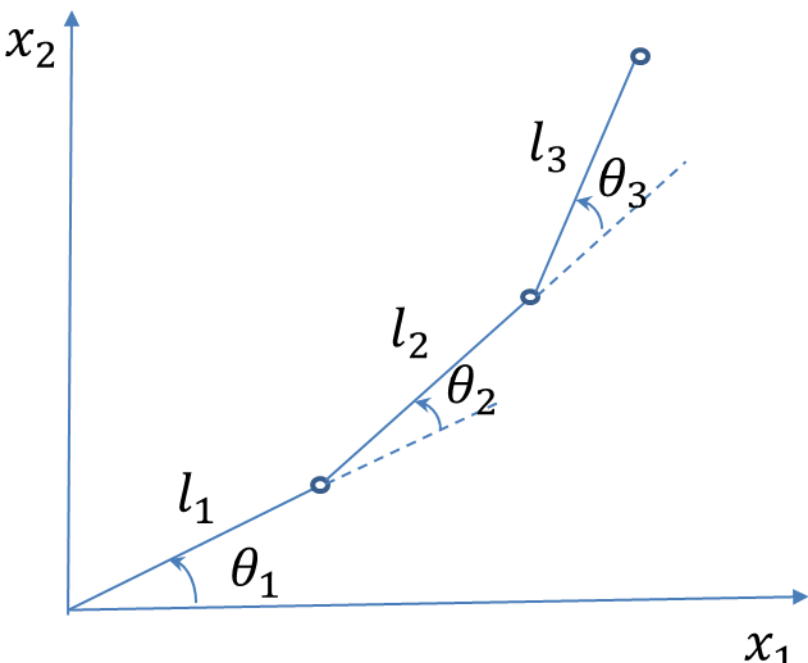
机械手逆运动学

机械手运动方程 (kinematic equation) 静态方程

机械手臂长 l_1, l_2, l_3 , 以及各关节角 $\theta_1, \theta_2, \theta_3$, 则机械手终端在直角坐标系中的位置

$$x_1 = l_1 \cos \theta_1 + l_2 \cos(\theta_1 + \theta_2) + l_3 \cos(\theta_1 + \theta_2 + \theta_3)$$

$$x_2 = l_1 \sin \theta_1 + l_2 \sin(\theta_1 + \theta_2) + l_3 \sin(\theta_1 + \theta_2 + \theta_3)$$

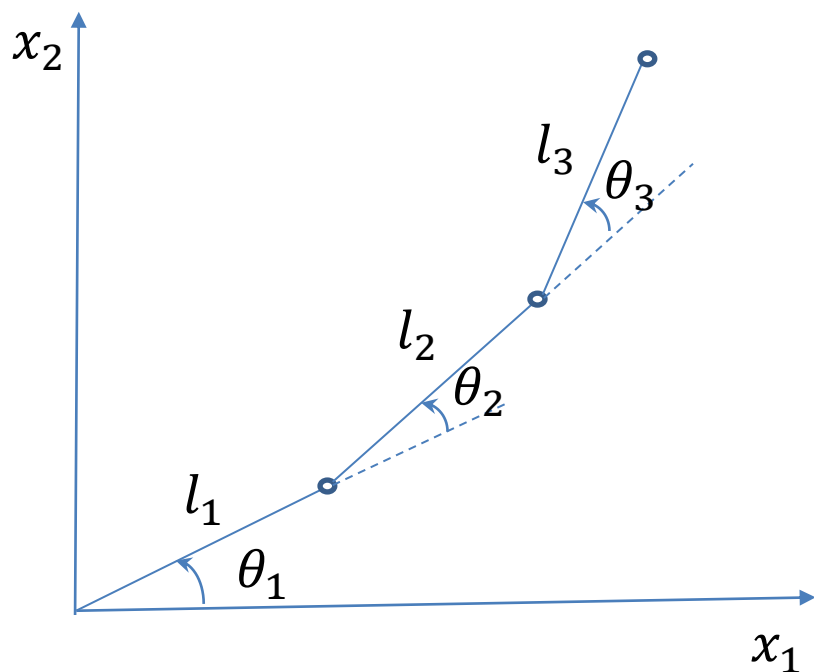


写成一般形式

$$X = F(\Theta)$$

$$X = (x_1, x_2)^T, \Theta = (\theta_1, \theta_2, \theta_3)^T$$

机械手逆运动学



平面上运动的三关节机械手

■ 基于位置的逆运动学控制

- 已知空间轨迹 $X(t)$ ，求关节运动轨迹 $\Theta(t)$

- 求逆有

$$\Theta = F^{-1}(X)$$

■ 基于速度的逆运动学控制

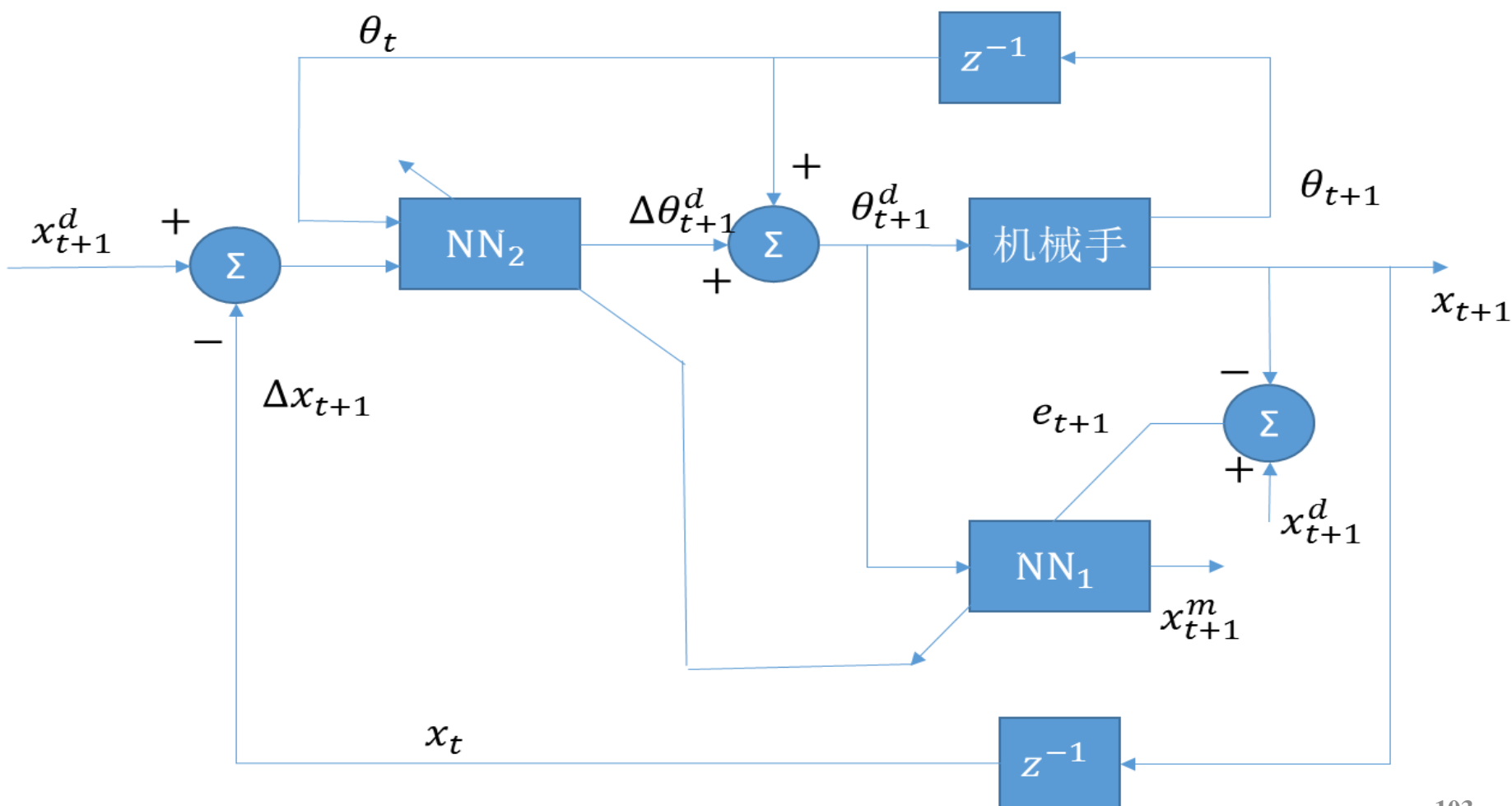
- 有时需要用到速度信息

$$\dot{X} = J(\Theta)\dot{\Theta}$$

$$\dot{\Theta} = J^{-1}(\Theta)\dot{X}$$

$J(\Theta)$ 机械手的Jacobian矩阵

机械手逆运动学神经网络控制



CMAC神经网络控制

- NN1是机械手正模型，NN2是机械手逆模型
- 在 $t + 1$ 时刻，由空间轨迹 $X^d(t)$ 得到 X_{t+1}^d 作为给定信号，与 t 时刻真实位置作比较
- $\Delta X_{t+1} = X_{t+1}^d - X^d$
- $\Theta_{t+1}^d = \Theta_t + \Delta \Theta_{t+1}^d$
- $e_{t+1} = X_{t+1}^d - X_{t+1}$

机械手正模型NN1

- 机械手正模型

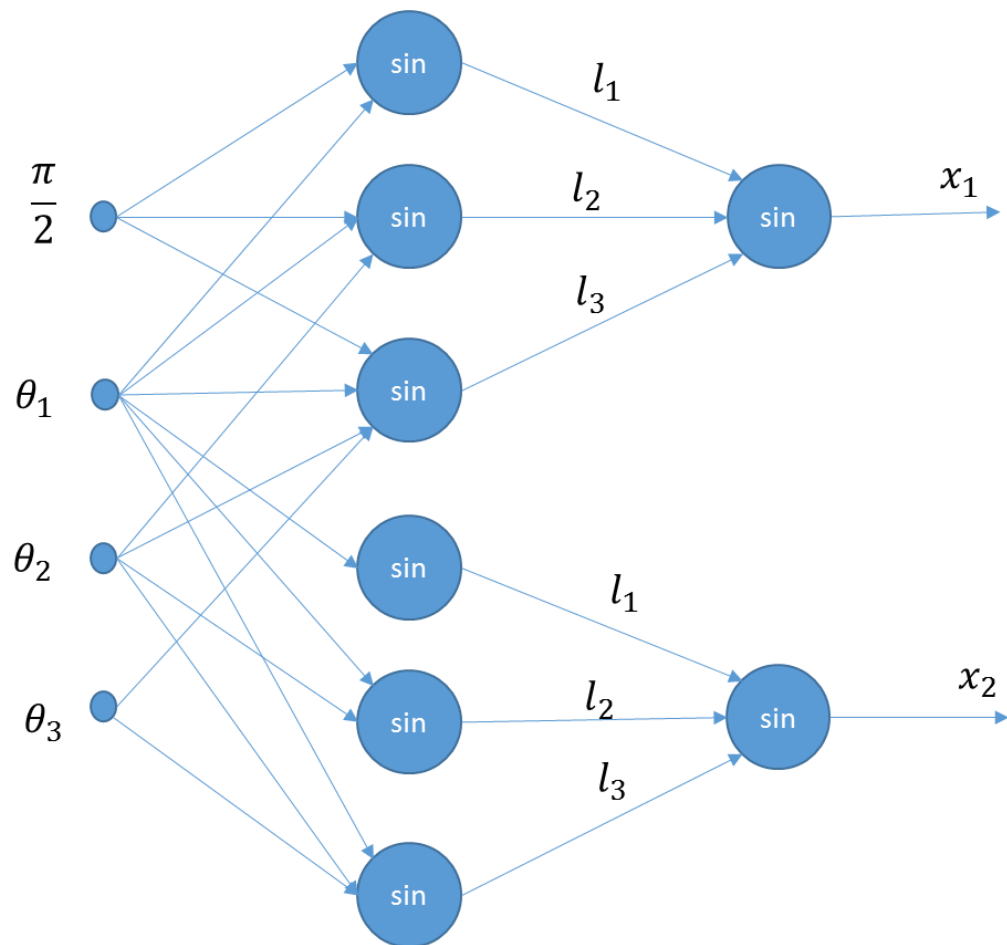
实现由关节角 Θ 到空间位置 X 的变化

$$\begin{aligned}x_1 &= l_1 \sin\left(\theta_1 + \frac{\pi}{2}\right) + l_2 \sin\left(\theta_1 + \theta_2 + \frac{\pi}{2}\right) \\&\quad + l_3 \sin\left(\theta_1 + \theta_2 + \theta_3 + \frac{\pi}{2}\right) \\x_2 &= l_1 \sin \theta_1 + l_2 \sin(\theta_1 + \theta_2) + l_3 \sin(\theta_1 + \theta_2 + \theta_3)\end{aligned}$$

机械手正模型NN1

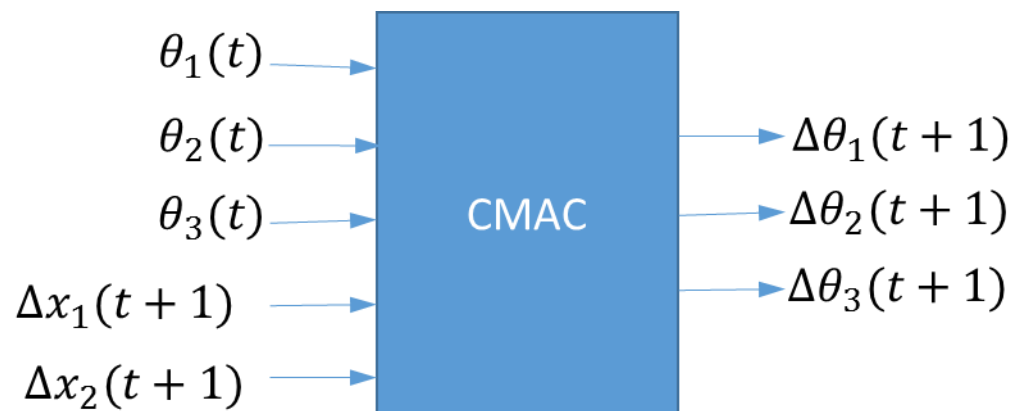
- 神经网络NN1结构

- $$J(\Theta) = \begin{bmatrix} \frac{\partial x_1}{\partial \theta_1} & \frac{\partial x_1}{\partial \theta_2} & \frac{\partial x_1}{\partial \theta_3} \\ \frac{\partial x_2}{\partial \theta_1} & \frac{\partial x_2}{\partial \theta_2} & \frac{\partial x_2}{\partial \theta_3} \end{bmatrix}$$



机械手逆模型NN2

- 5个输入
- 每个输入量化级 $R = 200$
- 感受野宽度 $C = 40$
- 物理存储空间 $A_p = 9240$
- 权值系数 $w_{ij}, i = 1, 2, 3, j = 1, 2, \dots, C$



机械手逆模型NN2

CMAC网络输出

$$\Delta\theta_i(t+1) = \sum_{j=1}^C w_{ij}$$

■ 求解 $X \rightarrow \theta$

指标函数 (含关节角变化最小的约束条件)

$$\min U = \frac{\alpha}{2} \sum_{m=1}^2 e_m^2(t+1) + \frac{\beta}{2} \sum_{i=1}^3 \Delta\theta_i^2(t+1)$$

$$e_m(t+1) = x_m^d(t+1) - x_m(t+1)$$

$$U = \frac{\alpha}{2} e^T e + \frac{\beta}{2} \Delta\Theta^T \Delta\Theta$$

$$e = [e_1(t+1), e_2(t+1)]^T \quad \Delta\Theta = [\Delta\theta_1(t+1), \Delta\theta_2(t+1), \Delta\theta_3(t+1)]^T$$

机械手逆模型NN2

$$\begin{aligned}\frac{\partial U}{\partial \Delta \Theta} &= \alpha e^T \frac{\partial e}{\partial \Delta \Theta} + \beta \Delta \Theta^T = \alpha e^T \left(\frac{-\partial X}{\partial \Delta \Theta} \right) + \beta \Delta \Theta^T \\ &= -\alpha e^T J + \beta \Delta \Theta^T\end{aligned}$$

$$\Delta \Theta^{k+1} = \Delta \Theta^k - \eta' \frac{\partial U}{\partial \Delta \Theta}$$

■ CAMC学习, 定义

$$V = \frac{1}{2} e^T e = \frac{1}{2} \sum_{m=1}^2 e_m^2(t+1)$$

$$= \frac{1}{2} \sum_{m=1}^2 [X_m^d(t+1) - X_m(t+1)]^2$$

机械手逆模型NN2

- w_{ij} 修正算法

$$w_{ij\text{new}} = w_{ij\text{old}} - \eta \frac{\partial V}{\partial w_{ij}}, i = 1, 2, 3; j = 1, 2, \dots, C$$

$$\frac{\partial V}{\partial w_{ij}} = e^T \frac{\partial e}{\partial w_{ij}} = e^T \frac{\partial e}{\partial \Theta_{t+1}} \frac{\partial \Theta_{t+1}}{\partial w_{ij}} = e^T (-J_i)$$

仿真实验

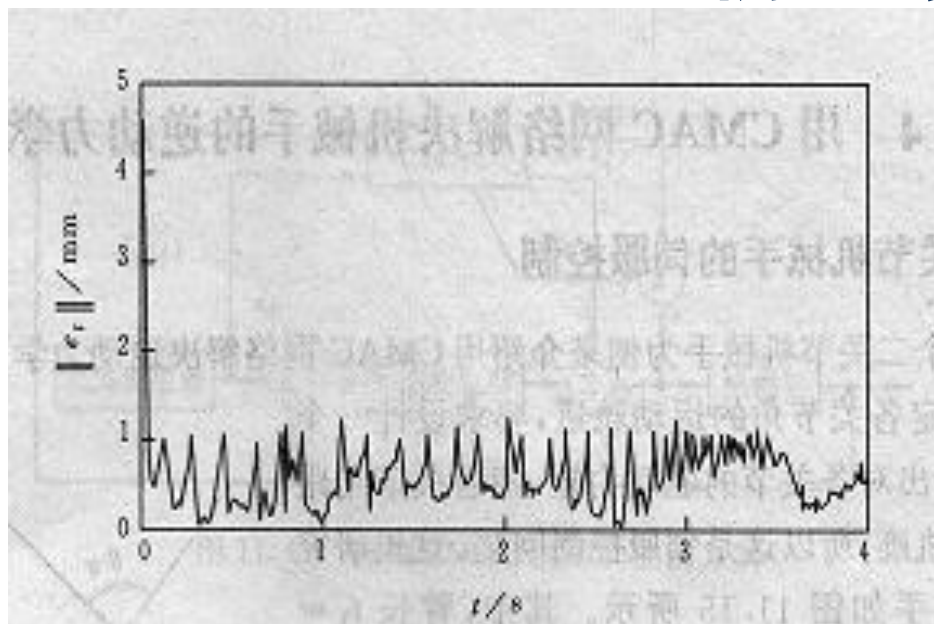
三关节机械手 $l_1 = l_2 = l_3 = 0.5m$

跟踪平面上一个圆周，圆心(0.5m, 0.25m)，半径0.25m

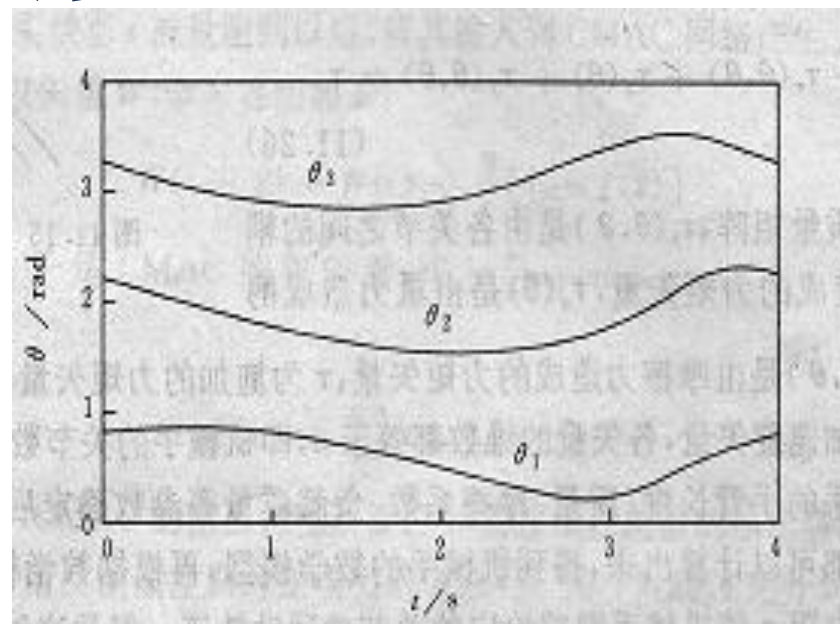
仿真实验

- ①设CMAC网络结构参数为：量化级 $R = 200$ ，感受野宽度 $C = 40$ ，物理存储空间 $Mp = 9240$ ，学习参数 $\alpha = 300, \beta = 1, \eta = 0.0001$ ，初始化CMAC的权值 $w_{ij} = 0, i = 1, 2, 3; j = 1, 2, \dots, C$. 设 $t = 0$
- ②由参考运动轨迹方程求出 X_{t+1}^d ，计算 $\Delta X_{t+1} = X_{t+1}^d - X_t^d$ ，NN2产生 $\Delta \Theta_{t+1}^d$ ，计算 $\Theta_{t+1}^d = \Theta_t + \Delta \Theta_{t+1}^d$ 作为机械手关节的给定角
- ③根据机械手运动方程计算出 $t + 1$ 时刻机械手空间位置 X_{t+1} 和关节角状态 Θ_{t+1} ，计算雅克比矩阵 J
- ④求出位置跟踪误差 $e_{t+1} = X_{t+1}^d - X_{t+1}$ ，修正NN2权值 w_{ij}
- ⑤令 $t = t + 1$ ，转到步骤②

仿真实验

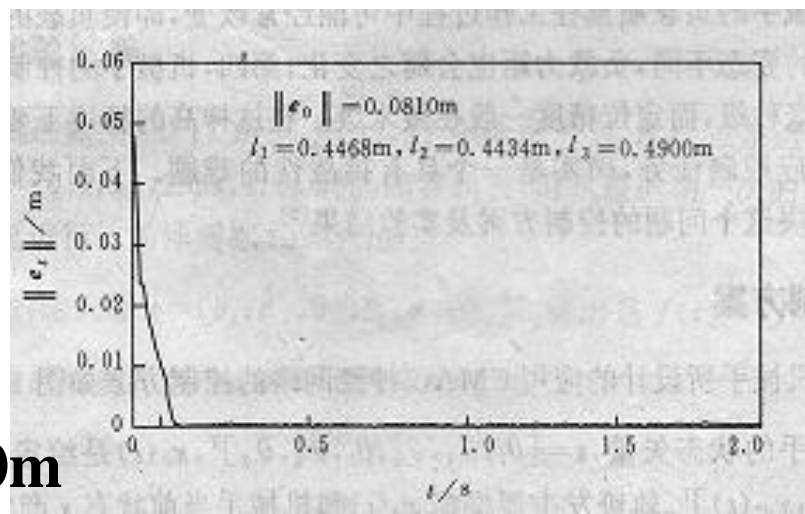


跟踪误差变化曲线



关节角运动轨迹

臂长变化后的跟踪误差变化曲线
 $l_1=0.4468\text{m}$, $l_2=0.4434\text{m}$, $l_3=0.4900\text{m}$



CMAC网络解机械手逆动力学问题

- n 关节机械臂，动态方程

$$M(\theta)\ddot{\theta} + C(\theta, \dot{\theta})\dot{\theta} + G(\theta) + \tau_f(\theta, \dot{\theta}) = \tau$$

$M(\theta)$: 正定惯性矩阵

$C(\theta, \dot{\theta})$: 离心力、哥氏力等矩项

$G(\theta)$: 重力项

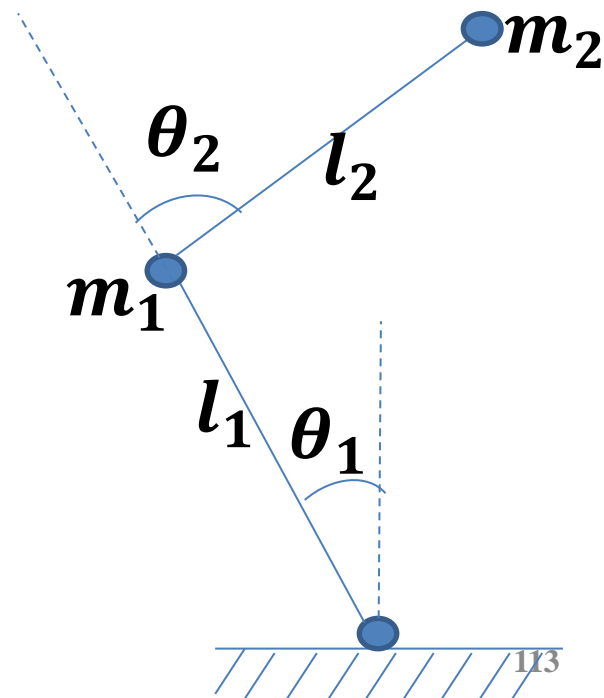
$\tau_f(\theta, \dot{\theta})$: 摩擦力矩、干扰项

τ : 施加的外力矩, 控制输入

θ : 关节角度

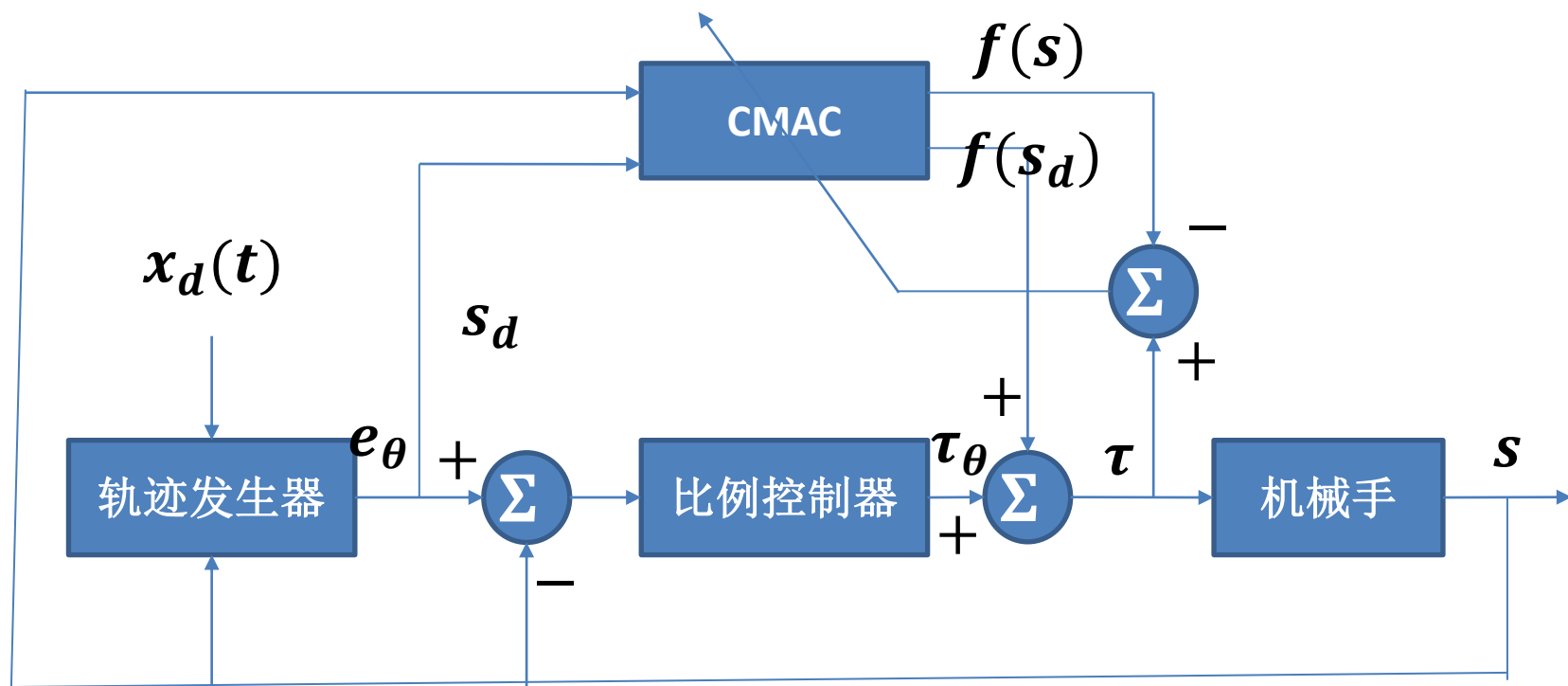
$\dot{\theta}$: 关节角速度

$\ddot{\theta}$: 关节角加速度



CMAC网络解机械手逆动力学问题

$$s = [\theta_1, \dot{\theta}_1, \ddot{\theta}_1, \theta_2, \dot{\theta}_2, \ddot{\theta}_2]$$



CMAC网络机械手逆动力学控制方案

$$\tau = [\tau_1, \tau_2]^T \quad \tau - f(s) \text{修正权值矢量} W$$

CMAC网络解机械手逆动力学问题

$$W(t+1) = W(t) + \frac{\eta}{c}[\tau - f(s)]$$

$W = [w_1, w_2]^T, w_i = [w_{i1}, w_{i2}, \dots, w_{ic}], c$ 为感受野宽度

$0 < \eta < 1$ 为学习率

$$f(s_i) = \sum_{j=1}^c w_{ij}$$

仿真实例

$$s = [\theta_1, \dot{\theta}_1, \ddot{\theta}_1, \theta_2, \dot{\theta}_2, \ddot{\theta}_2]^T, f(s) = [f(s_1), f(s_2)]^T$$

$$\begin{aligned} -4\text{rad} \leq \theta \leq 4\text{rad} \quad & -20\text{rad/s} \leq \dot{\theta} \leq 20\text{rad/s} \\ & -100\text{rad/s}^2 \leq \ddot{\theta} \leq 100\text{rad/s}^2 \end{aligned}$$

$$R = 400, \beta = 0.6, C = 80, Ap = 50000$$

定义均方根误差RMS

$$\text{RMS} = \sqrt{\frac{1}{N} \sum_{i=1}^N \left[(\theta_1^d(t) - \theta_1(t))^2 + (\theta_2^d(t) - \theta_2(t))^2 \right]}$$

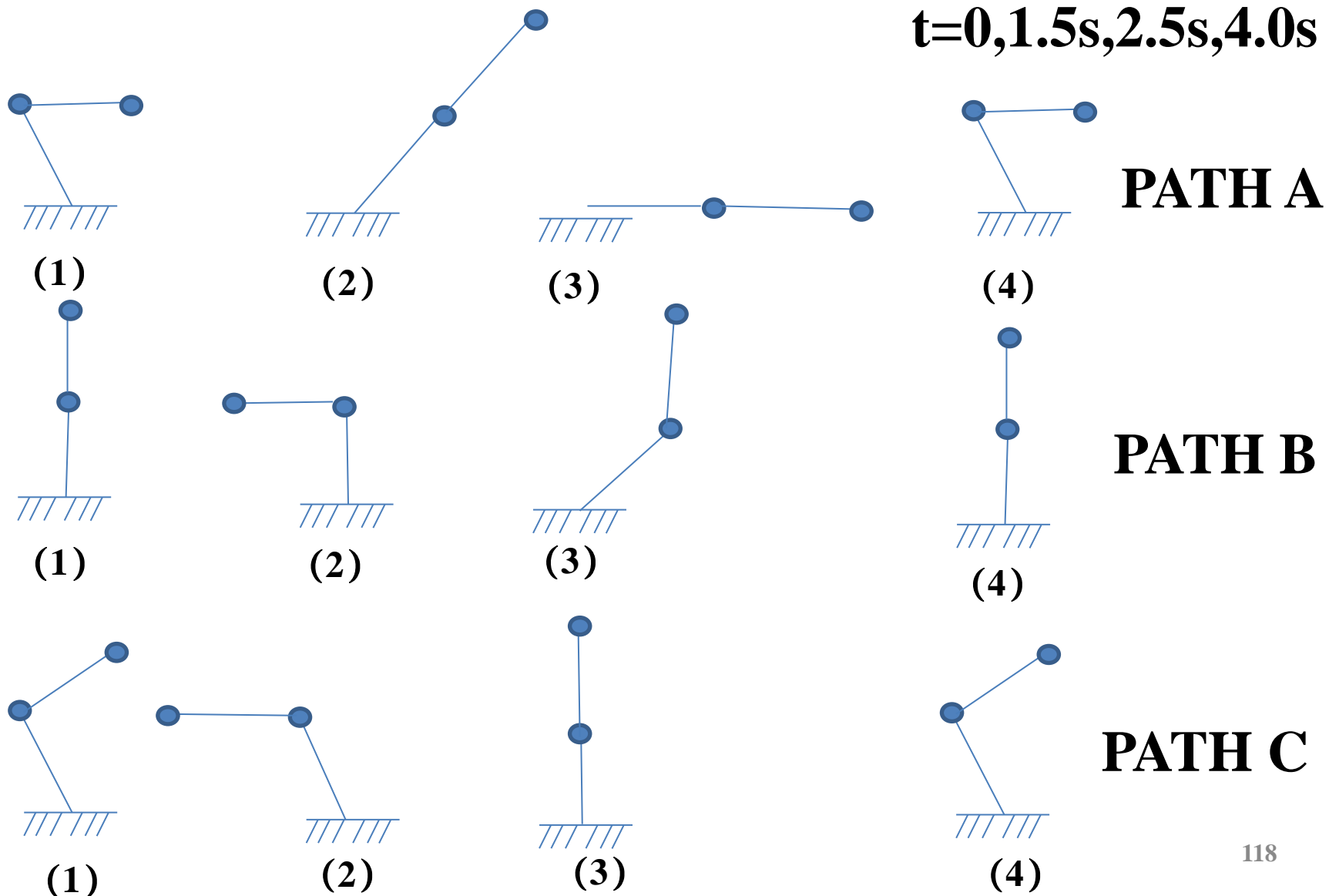
Miller W T, Glanz F H, Kraft L G. Application of a general learning algorithm to the Control of robotic manipulator, Int. J. Robotics Research, 1987,6(2):84~98

仿真实验

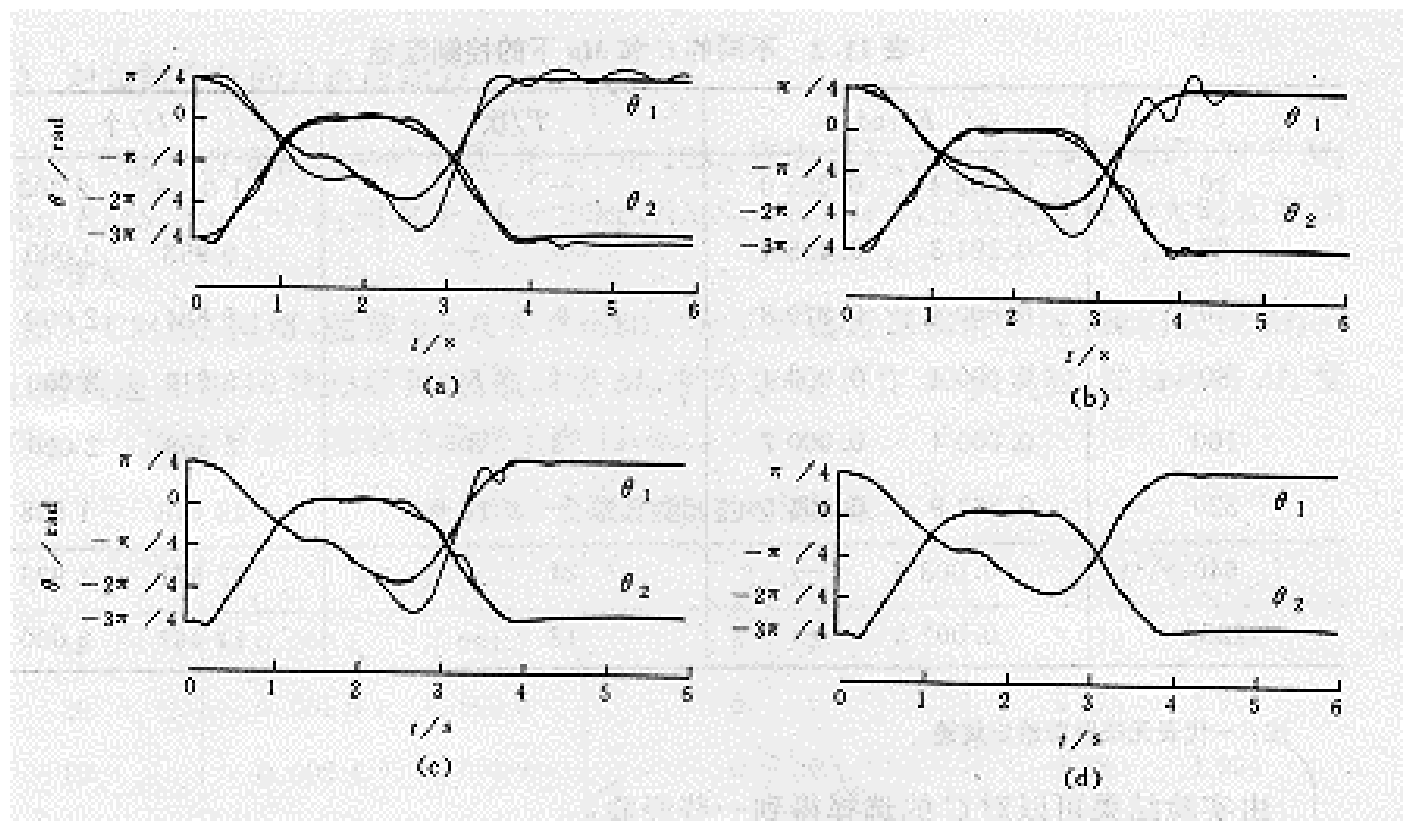
■ 性能指标

- 最终误差E：对每条轨迹作50次试验，最后五次试验的RMS作为E
- 试验次数T：令单独反馈控制器时的RMS为 RMS_0 ，加上CMAC后重新做试验，当RMS小于10% RMS_0 时的试验次数
- 内存使用数U：50次连续试验，Ap中实际被使用的内存单元

仿真实验

 $t=0, 1.5s, 2.5s, 4.0s$ 

仿真实验



对轨迹A的学习跟踪曲线

(a)学习前跟踪结果;(b)第一次跟踪结果;
(c)第二次跟踪结果;(d)第三次跟踪结果

参数对控制性能影响

不同 η 和 A_p 下的控制指标

η	E/rad		T/次		U/个	
0.2	0.0006	0.0005	21	15	3544	1746
0.4	0.0003	0.0004	6	6	4203	1792
0.6	0.0004	0.0004	2	6	5216	2000
0.8	0.0003	0.0006	5	2	6546	1949
1.0	0.0004	0.0006	3	2	5948	1958

$A_p=50000, 2000$

参数对控制性能影响

不同C和Ap下的控制指标

C	E/rad		T/次		U/个	
10	0.2024	0.2530	—	—	10106	2000
20	0.1943	0.4054	—	—	9953	2000
40	0.0004	0.2708	9	—	9884	2000
80	0.0004	0.0004	2	6	5216	2000
160	0.0004	0.0007	1	3	5558	2000
320	0.2629	0.0015	—	3	12618	1998
640	0.0039	—	24	—	12971	1998
1280	0.0075	—	13	—	14467	2000

$C \leq 40$ 泛化能力差

收敛好
控制性能好

$C \geq 320$ 映射冲突增多，可能不收敛

$A_p = 50000, 2000$

鲁棒性和自适应性—量测噪声影响

不同量测噪声下的控制指标 ($C=80, \eta = 0.6$)

σ	E/rad		T/次		U/个	
0.5	0.0018	0.0019	3	3	5111	1882
2.0	0.0095	0.0093	4	2	8787	1989
8.0	0.0714	0.2247	2	—	21340	2000

$Ap=50000, 2000$

$\theta: 0.01\sigma \text{ rad}$

$\dot{\theta}: 0.05\sigma \text{ rad/s}$

$\ddot{\theta}: 0.25\sigma \text{ rad/s}^2$

噪声增大，跟踪误差增大，但对
CMAC网络学习的收敛速度没多大影响

鲁棒性和自适应性—负载变化影响

负载改变时的控制指标 ($C=80, \eta = 0.6$)

M_2/kg	E/rad	T/次	U/个
10	0.0008 0.0017	3 3	5079 1954
20	0.0010 0.0008	0 0	6276 1954
10	0.0004 0.0007	0 0	6280 1954
20	0.0004 0.0007	0 0	6281 1954

$A_p=50000, 2000$

只用反馈控制时,

$M_2=10kg, RMS_0=0.2075$

$M_2=20kg, RMS_0=0.3947$

鲁棒性和自适应性—变化轨迹跟踪

跟踪不同运动轨迹时控制指标 ($C=80, \eta = 0.6$)

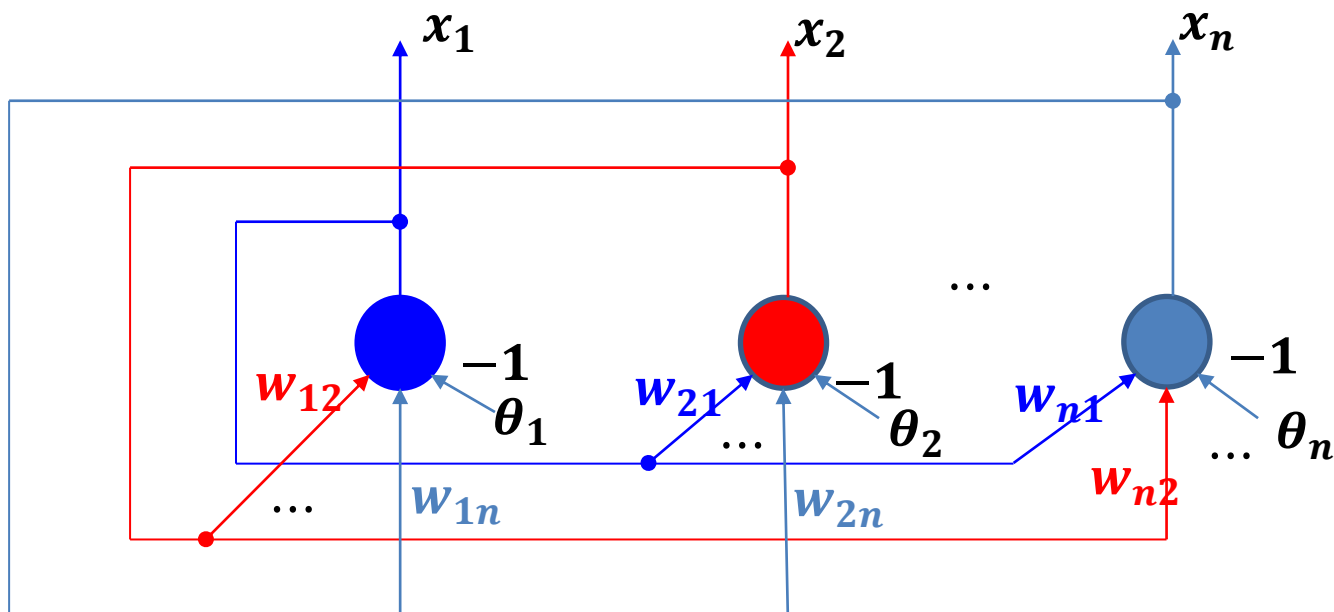
轨迹	E/rad		T/次		U/个	
A	0.0012	0.0155	3	3	10308	2000
B	0.0011	0.1269	3	—	11737	2000
C	0.0007	0.0034	0	3	12140	2000
A	0.0007	0.0056	0	1	12142	2000
B	0.0005	0.0025	0	0	12143	2000
C	0.0004	0.0019	0	0	12143	2000

**只用反馈
控制时RMS₀**
A:0.3410
B:0.2240
C:0.2878

本讲的主要内容

- 一、人工神经元控制系统
- 二、RBF神经网络控制
- 三、CMAC神经网络控制
- 四、Hopfield网络优化

Hopfield网络



$$\begin{cases} s_i = \sum_{j=1}^n w_{ij} x_j - \theta_i \\ x_i = f(s_i) \end{cases} \quad w_{ii} = 0$$

输入为网络初始状态 $x(0) = [x_1(0), x_2(0), \dots, x_n(0)]^T$

输出为网络的稳定状态 $\lim_{k \rightarrow \infty} x(k)$

离散Hopfield网络 (DHNN)

$$f(s) = \begin{cases} 1, & s \geq 0 \\ 0, & s < 0 \end{cases} \quad f(s) = \begin{cases} 1, & s \geq 0 \\ -1, & s < 0 \end{cases}$$

网络更新方式

- 异步方式

$$\begin{cases} x_i(k+1) = f\left(\sum_{j=1}^n w_{ij}x_j(k) - \theta_i\right) \\ x_j(k+1) = x_j(k), j \neq i \end{cases}$$

- 同步方式

$$x_i(k+1) = f\left(\sum_{j=1}^n w_{ij}x_j(k) - \theta_i\right)$$

离散Hopfield网络的状态变换

•通常网络从某一初始状态开始经过多次更新后才可能达到某一稳态。使用异步状态更新策略有以下优点：

(1) 算法实现容易，每个神经元节点有自己的状态更新时刻，不需要同步机制；

(2) 以串行方式更新网络的状态可以限制网络的输出状态，避免不同稳态以等概率出现。

一旦给出HNN的权值和神经元的阈值，网络的状态转移序列就确定了。

离散Hopfield网络

由于反馈的存在，系统的演变可能出现如下几种状态

- (1) 渐近稳定
- (2) 极限环
- (3) 混沌现象
- (4) 状态轨迹发散

离散Hopfield网络

- 定义：网络状态 $x = f(Wx - \theta)$ ，则称 x 为网络的 **稳定点或吸引子**
- 若稳态为记忆样本，则收敛过程便是寻找记忆样本过程（联想记忆）
- 若稳态对应某种优化目标，并作为目标函数的极小点，收敛过程辨识优化计算过程
- 定理：对于离散Hopfield网络，若按异步方式调整，且 **连接权值为对称阵**，对任意的初态，网络最终都收敛到一个 **吸引子**。

稳定性分析

- 证明：定义网络能量函数

$$E(k) = -\frac{1}{2}x^T(k)Wx(k) + x^T(k)\theta$$

$$\Delta x(k) = x(k-1) - x(k)$$

$$\Delta E(k) = E(k+1) - E(k)$$

$$= -\Delta x^T(k)[Wx(k) - \theta] - \frac{1}{2}\Delta x^T(k)W\Delta x(k)$$

稳定性分析

■ 按异步方式

$$\Delta x(k) = [0, \dots, 0, \Delta x_i(k), 0, \dots, 0]^T$$

- $\Delta E(k) = -\Delta x_i(k) \left[\sum_{j=1}^n w_{ij} x_j(k) - \theta_i \right] - \frac{1}{2} \Delta x_i^2 w_{ii}$
- $s_i(k) = \sum_{j=1}^n w_{ij} x_j(k) - \theta_i$
- $\Delta E(k) = -\Delta x_i(k) \left[s_i(k) + \frac{1}{2} \Delta x_i(k) w_{ii} \right] = -\Delta x_i(k) s_i(k)$

假定节点取 -1 和 1 两种状态，则

$$x_i(k+1) = f[s_i(k)] = \begin{cases} 1 & s_i(k) \geq 0 \\ -1 & s_i(k) < 0 \end{cases}$$

稳定性分析

- $x_i(k) = -1, x_i(k+1) = f[s_i(k)] = 1$
 $\Delta x_i(k) = 2, s_i(k) \geq 0, \Rightarrow \Delta E(k) \leq 0$
- $x_i(k) = 1, x_i(k+1) = f[s_i(k)] = -1$
 $\Delta x_i(k) = -2, s_i(k) < 0, \Rightarrow \Delta E(k) \leq 0$
- $x_i(k+1) = x_i(k) \Rightarrow \Delta E(k) = 0$
- $E(k)$ 收敛到常数, $\Delta E(k) = 0$

稳定性分析

- 吸引子分析 $\Delta E(k) = -\Delta x_i(k)s_i(k)$

$\Delta E(k) = 0$ 对应于

(a) $x_i(k+1) = x_i(k) = 1$, or $x_i(k+1) = x_i(k) = -1$

(b) $x_i(k) = -1, x_i(k+1) = 1, s_i(k) = 0$

稳态

稳态

$w_{ii} > 0$ 结论仍成立, 而且收敛过程更快

离散Hopfield网络

■ 按同步方式

定理：对离散Hopfield网络，若按同步方式调整状态，且**连接权值矩阵非负定对称**，则对于任意初态，网络最终都将收敛到一个吸引子

$$\begin{aligned}\Delta E(k) &= E(k+1) - E(k) \\ &= -\Delta x^T(k)[Wx(k) - \theta] - \frac{1}{2}\Delta x^T(k)W\Delta x(k)\end{aligned}$$

$$= -\Delta x^T(k)s(k) - \frac{1}{2}\Delta x^T(k)W\Delta x(k)$$

$$= -\sum_{i=1}^n \Delta x_i(k)s_i(k) - \frac{1}{2}x^T(k)\mathbf{W}\Delta x(k)$$

$$-\Delta x_i(k)s_i(k) \leq 0$$

$$\mathbf{W}\text{非负定} \Rightarrow \Delta E(k) \leq 0$$

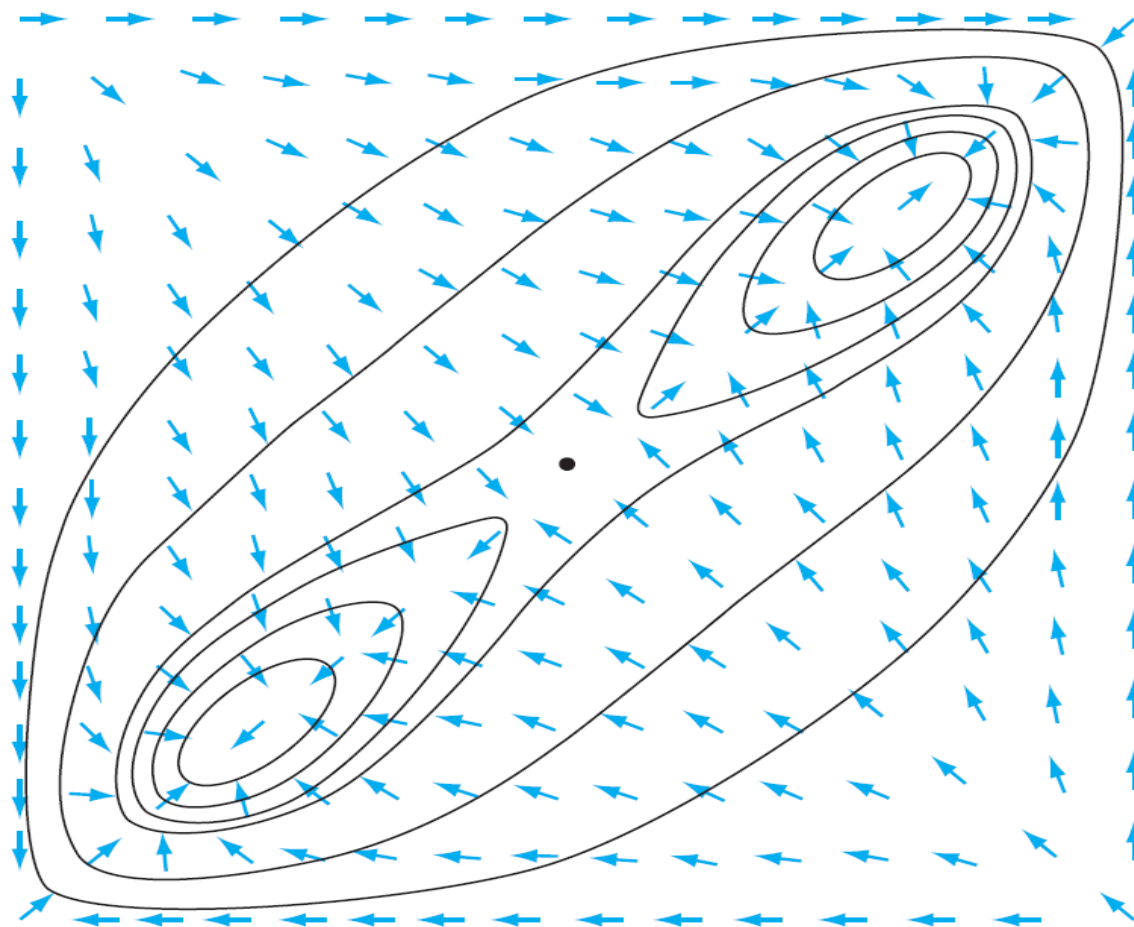
离散Hopfield网络

- 能量函数的物理意义：

在那些渐近稳定点的吸引域内，离吸引点越远的状态，所具有的能量越大，由于能量函数的单调下降特性，保证状态运动能从远离吸引点处，不断趋于吸引点，直到达到稳定点（局部能量极小点）。

注意：能量函数的选择，只是保证系统稳定和渐近稳定的充分条件，而不是必要条件，能量函数的选择也不是唯一的

离散Hopfield网络能量函数



离散Hopfield网络能量极小点的设计

- 只有当网络的能量极小点可被选择和设定时，网络所具有的能力才能发挥作用。
- 能量极小点的分布是由网络的连接权值和阈值所决定的。因此设计能量极小点的核心就是如何获取一组合适的参数值。
- 有两种方法供选择：
 - (1) 根据求解问题的要求直接设计出所需要的连接权值
 - (2) 通过提供的附加机制来训练网络，使其自动调整连接权值，产生期望的能量极小点。
 - 前者为静态学习方法，对于一个具体应用而言，权矩阵为定常矩阵、如TSP求解等。后者为动态学习方法，如联想记忆等。

离散Hopfield网络

■ 连接权设计 Hebb规则

给定 m 个样本 $x^{(k)} (k = 1, 2, \dots, m), x \in \{0, 1\}^n$

$$w_{ij} = \begin{cases} \sum_{k=1}^m (2x_i^{(k)} - 1)(2x_j^{(k)} - 1), & i \neq j \\ 0, & i = j \end{cases}$$

满足对称性要求

矩阵形式

$$W = \sum_{k=1}^m (2x^{(k)} - b)(2x^{(k)} - b)^T - mI$$
$$b = [1, 1, \dots, 1]^T$$

离散Hopfield网络

■ 吸引子分析 $x \in \{-1, 1\}^n$

● 若 m 个样本两两正交

$$\begin{aligned} & \begin{cases} x^{(i)T} x^{(j)} = 0, i \neq j \\ x^{(i)} x^{(i)T} = n \end{cases} \\ W x^{(k)} &= \left(\sum_{i=1}^m x^{(i)} x^{(i)T} - mI \right) x^{(k)} \\ &= \sum_{i=1}^m x^{(i)} x^{(i)T} x^{(k)} - m x^{(k)} = n x^{(k)} - m x^{(k)} \\ &= (n - m) x^{(k)} \end{aligned}$$

离散Hopfield网络

$$n - m > 0$$

$$\Downarrow$$

$$f(s) = \begin{cases} 1, & s \geq 0 \\ -1, & s < 0 \end{cases}$$

$$f[Wx^{(k)}] = f[(n - m)x^{(k)}] = x^{(k)}$$

- 若 m 个样本 $x^{(k)} (k = 1, 2, \dots, m)$ 不是两两正交, 且设内积为

$$x^{(i)T} x^{(j)} = \beta_{ij}, (\beta_{ii} = 0)$$

$$\begin{aligned} Wx^{(k)} &= \sum_{i=1}^m x^{(i)} x^{(i)T} x^{(k)} - mx^{(k)} \\ &= (n - m)x^{(k)} + \sum_{\substack{i=1 \\ i \neq k}}^m x^{(i)} \beta_{ik} \end{aligned}$$

离散Hopfield网络

取第j个元素

$$[Wx^{(k)}]_j = (n - m)x_j^{(k)} + \sum_{\substack{i=1 \\ i \neq k}}^m x_j^{(k)} \beta_{ik}$$

若能使 $\forall j$ 有

$$n - m > \left| \sum_{\substack{i=1 \\ i \neq k}}^m x_j^{(k)} \beta_{ik} \right|$$

则 $x^{(k)}$ 是网络吸引子。

\Updownarrow

$$\left| \sum_{\substack{i=1 \\ i \neq k}}^m x_j^{(k)} \beta_{ik} \right| \leq \left| \sum_{\substack{i=1 \\ i \neq k}}^m \beta_{ik} \right| \leq (m - 1)\beta_m$$

$$\beta_m \triangleq |\beta_{ik}|_{\max}$$

离散Hopfield网络

保证所有样本为吸引子的充分条件

$$n - m > (m - 1)\beta_m$$

$$m < \frac{n + \beta_m}{1 + \beta_m}$$

若 m 个样本满足

$$\alpha n \leq d_H(x^{(i)}, x^{(j)}) \leq (1 - \alpha)n$$

$$i, j = 1, \dots, m, i \neq j, 0 < \alpha < 0.5$$

\Downarrow

$$|\beta_{ij}| \leq n - 2\alpha n = \beta_m$$

充分条件

$$m < \frac{2n(1 - \alpha)}{1 + 2n(1 - 2\alpha)}$$

离散Hopfield网络

■ 记忆容量

- 给定网络结构参数下，保证联想功能正确，网络所能存储的最大样本数
- 样本本身不仅应为吸引子，而且具有一定的吸引域
- 不仅与节点数量有关，而且与连接权值设计有关
- 与样本本身的性质有关，输入样本正交，可获得最大容量
- $m \leq 0.15n$ Hopfield (n 为网络节点数量)
- $n \rightarrow \infty \quad m \leq \frac{(1-2\alpha)^2 n}{2 \ln n} \quad (0 < \alpha < 0.5)$ 样本随机分布理论分析

离散Hopfield网络

■ 改进权值来提高记忆容量

m 个样本 $x^k (k = 1, 2, \dots, m)$, 构成 $n \times (m - 1)$ 阶矩阵

$$A = [x^{(1)} - x^{(m)}, x^{(2)} - x^{(m)}, \dots, x^{(m-1)} - x^{(m)}]$$

$$A = U\Sigma V^T$$

$$\Sigma = \begin{bmatrix} S & 0 \\ 0 & 0 \end{bmatrix}$$

$$S = \text{diag}(\sigma_1, \sigma_2, \dots, \sigma_r), U \in n \times n, V \in (m - 1) \times (m - 1)$$

离散Hopfield网络

设计权值 W 和阈值向量 θ

$$W = \sum_{k=1}^r u_k u_k^T, \theta = Wx^{(m)} - x^{(m)}$$

$$U = [u_1, u_2, \dots, u_r, u_{r+1}, \dots, u_n]$$

u_1, u_2, \dots, u_r 为 A 值域空间的正交基

$$x^{(k)} - x^{(m)} = \sum_{i=1}^r \alpha_i u_i$$

$$W u_i = \sum_{k=1}^r u_k u_k^T u_i = u_i$$

$$\begin{aligned} W(x^{(k)} - x^{(m)}) &= W \sum_{i=1}^r \alpha_i u_i = \sum_{i=1}^r \alpha_i (W u_i) = \sum_{i=1}^r \alpha_i u_i \\ &= x^{(k)} - x^{(m)} \end{aligned}$$

离散Hopfield网络

对任一样本 $x^{(k)}, (k = 1, 2, \dots, m - 1)$

$$Wx^{(k)} - \theta = Wx^{(k)} - Wx^{(m)} + x^{(m)} = x^{(m)}$$

$$f(Wx^{(k)} - \theta) = f(x^{(k)}) = x^{(k)}$$

对第 m 个样本, 有

$$Wx^{(m)} - \theta = Wx^{(m)} - Wx^{(m)} + x^{(m)} = x^{(m)}$$

$$f(Wx^{(m)} - \theta) = f(x^{(m)}) = x^{(m)}$$

**所有样本都是吸引子, 而并不要求两两正交
提高了网络记忆容量**

离散Hopfield网络

例：

$$n = 4, \theta_i = 0 (i = 1, 2, 3, 4), m = 2$$

$$x^{(1)} = \begin{bmatrix} 1 \\ 1 \\ 1 \\ 1 \end{bmatrix}, x^{(2)} = \begin{bmatrix} -1 \\ -1 \\ -1 \\ -1 \end{bmatrix}$$

连接权矩阵 (Hebb规则)

$$W = x^{(1)}x^{(1)T} + x^{(2)}x^{(2)T} - 2I = \begin{bmatrix} 0 & 2 & 2 & 2 \\ 2 & 0 & 2 & 2 \\ 2 & 2 & 0 & 2 \\ 2 & 2 & 2 & 0 \end{bmatrix}$$

$$d_H(x^{(1)}, x^{(2)}) = 4, \Leftrightarrow \alpha = 0$$

离散Hopfield网络

$$f(Wx^{(1)}) = f \begin{bmatrix} 6 \\ 6 \\ 6 \\ 6 \end{bmatrix} = \begin{bmatrix} 1 \\ 1 \\ 1 \\ 1 \end{bmatrix} \overset{\text{吸引子}}{=} x^{(1)} \quad f(Wx^{(2)}) = f \begin{bmatrix} -6 \\ -6 \\ -6 \\ -6 \end{bmatrix} = \begin{bmatrix} -1 \\ -1 \\ -1 \\ -1 \end{bmatrix} \overset{\text{吸引子}}{=} x^{(2)}$$

假定

$$x(0) = x^{(3)} = [-1 \ 1 \ 1 \ 1]^T$$

异步方式 (1, 2, 3, 4) 调整演变网络

$$x_1(1) = f \left(\sum_{j=1}^n w_{1j} x_j(0) \right) = f(6) = 1$$

$$x_2(1) = x_2(0) = 1, \quad x_3(1) = x_3(0) = 1, \quad x_4(1) = x_4(0) = 1$$

$$x(1) = [1 \ 1 \ 1 \ 1]^T = x^{(1)} \quad \text{收敛到 } x^{(1)}$$

离散Hopfield网络

假定

$$x(0) = x^{(4)} = [1 \ -1 \ -1 \ -1]^T$$

异步方式 (1, 2, 3, 4) 调整演变网络

$$x_1(1) = f\left(\sum_{j=1}^n w_{1j}x_j(0)\right) = f(-6) = -1$$

$$x_2(1) = x_2(0) = -1, \ x_3(1) = x_3(0) = -1, \ x_4(1) = x_4(0) = -1$$

$$x(1) = [-1 \ -1 \ -1 \ -1]^T = x^{(2)} \text{ 收敛到 } x^{(2)}$$

离散Hopfield网络

假定

$$x(0) = x^{(5)} = [1 \ 1 \ -1 \ -1]^T$$

异步方式 (1, 2, 3, 4) 调整演变网络

与两个吸引子的海明距离都为2

$$x_1(1) = f\left(\sum_{j=1}^n w_{1j}x_j(0)\right) = f(-2) = -1$$

$$x_i(1) = x_i(0), i = 2, 3, 4$$

$$x(1) = [-1 \ 1 \ -1 \ -1]^T$$

$$x_2(2) = f\left(\sum_{j=1}^n w_{2j}x_j(1)\right) = f(-6) = -1$$

$$x_i(2) = x_i(1), i = 1, 3, 4$$

$$x(2) = [-1 \ -1 \ -1 \ -1]^T = x^{(2)} \quad \text{收敛到 } x^{(2)}$$

离散Hopfield网络

假定

$$x(0) = x^{(5)} = [1 \ 1 \ -1 \ -1]^T$$

异步方式 (3, 4, 1, 2) 调整演变网络

与两个吸引子的海明距离都为2

$$x_3(1) = f\left(\sum_{j=1}^n w_{3j}x_j(0)\right) = f(2) = 1$$

$$x_i(1) = x_i(0), i = 1, 2, 4$$

$$x(1) = [1 \ 1 \ 1 \ -1]^T$$

$$x_4(2) = f\left(\sum_{j=1}^n w_{4j}x_j(1)\right) = f(6) = 1$$

$$x_i(2) = x_i(1), i = 1, 3, 4$$

$$x(2) = [1 \ 1 \ 1 \ 1]^T = x^{(1)} \text{ 收敛到 } x^{(1)}$$

离散Hopfield网络

按同步方式调整

$$\begin{aligned}
 x(0) &= x^{(3)} = [-1 \ 1 \ 1 \ 1]^T \\
 x(1) &= f[Wx(0)] = f(Wx^{(3)}) = [1 \ 1 \ 1 \ 1]^T \\
 x(2) &= f[Wx(1)] = [1 \ 1 \ 1 \ 1]^T \quad \text{收敛到 } x^{(1)}
 \end{aligned}$$

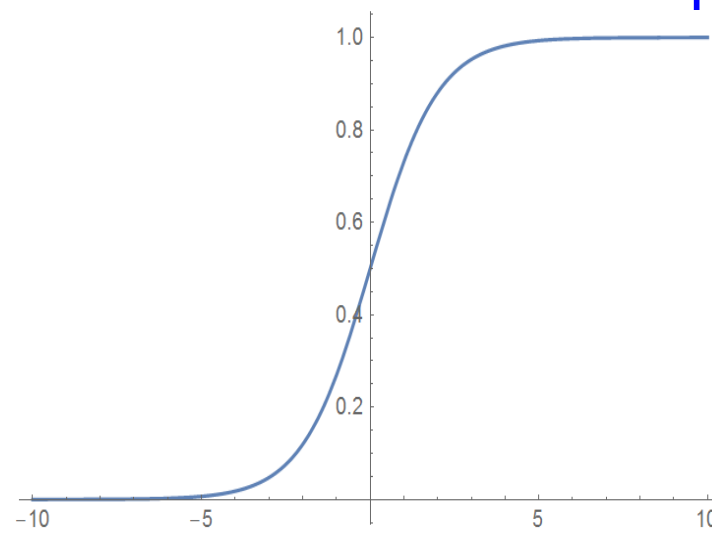
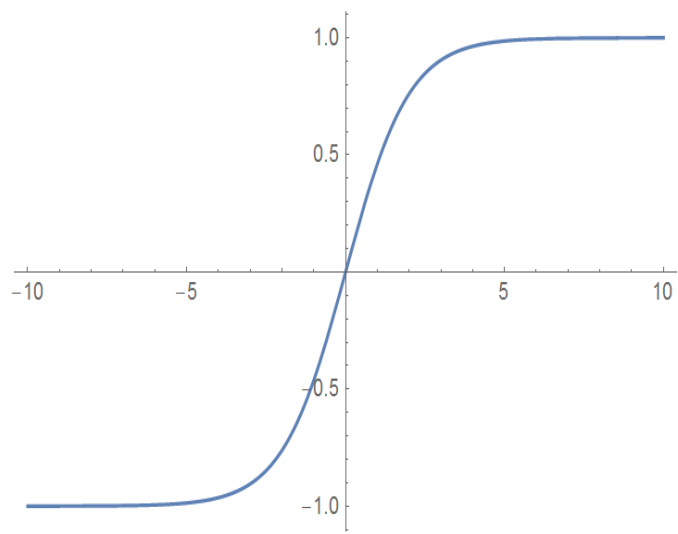
$$\begin{aligned}
 x(0) &= x^{(4)} = [1 \ -1 \ -1 \ -1]^T \\
 x(1) &= f[Wx(0)] = f(Wx^{(3)}) = [-1 \ -1 \ -1 \ -1]^T \\
 x(2) &= f[Wx(1)] = [-1 \ -1 \ -1 \ -1]^T \quad \text{收敛到 } x^{(2)}
 \end{aligned}$$

$$\begin{aligned}
 x(0) &= x^{(5)} = [1 \ 1 \ -1 \ -1]^T \\
 x(1) &= f[Wx(0)] = f(Wx^{(3)}) = [-1 \ -1 \ 1 \ 1]^T \\
 x(2) &= f[Wx(1)] = [1 \ 1 \ -1 \ -1]^T = x(0) \quad \text{振荡}
 \end{aligned}$$

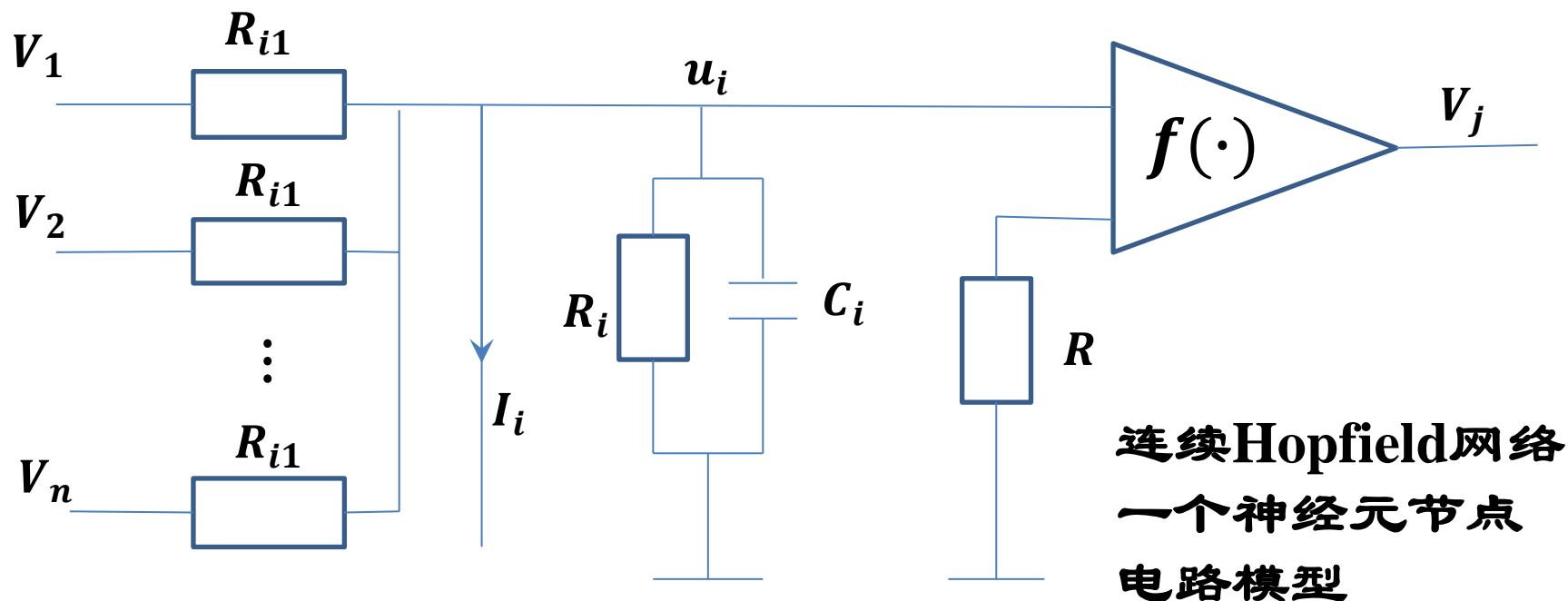
连续Hopfield网络

$$\begin{cases} s_i = \sum_{j=1}^n w_{ij}x_j - \theta_i \\ \frac{dy_i}{dt} = -\frac{1}{\tau}y_i + s_i \\ x_i = f(y_i) \end{cases}$$

$$x_i \in (-1,1) \quad x_i = f(y_i) = \frac{1 - e^{\mu y_i}}{1 + e^{\mu y_i}} \quad x_i \in (0,1) \quad x_i = f(y_i) = \frac{1}{1 + e^{\mu y_i}}$$



连续Hopfield网络



$$\begin{cases} C_i \frac{du_i}{dt} + \frac{u_i}{R_i} + I_i = \sum_{j=1}^n \frac{V_j - u_i}{R_{ij}} \\ V_i = f(u_i) \end{cases}$$

连续Hopfield网络

$$\begin{cases} \frac{du_i}{dt} = \frac{u_i}{R'_i C_i} - \frac{I_i}{C_i} + \sum_{j=1}^n \frac{V_j}{R_{ij} C_i} & \frac{1}{R'_i} = \frac{1}{R_i} + \sum_{j=1}^n \frac{1}{R_{ij}} \\ V_i = f(u_i) \end{cases}$$

$$x_i = V_i, y_i = u_i, \tau_i = R'_i C_i, w_{ij} = \frac{1}{R_{ij} C_i}, \theta_i = \frac{I_i}{C_i}$$

$$\Rightarrow \begin{cases} s_i = \sum_{j=1}^n w_{ij} x_j - \theta_i \\ \frac{dy_i}{dt} = -\frac{1}{\tau_i} y_i + s_i \\ x_i = f(y_i) \end{cases}$$

连续Hopfield网络

■ 稳定性

定义连续Hopfield网络的能量函数

$$E = -\frac{1}{2} \sum_{i=1}^n \sum_{j=1}^n w_{ij} x_i x_j + \sum_{i=1}^n x_i \theta_i + \sum_{i=1}^n \frac{1}{\tau_i} \int_0^{x_i} f^{-1}(\eta) d\eta$$

$$\frac{dE}{dt} = \sum_{i=1}^n \frac{\partial E}{\partial x_i} \frac{dx_i}{dt}$$

$$\frac{\partial E}{\partial x_i} = -\sum_{j=1}^n w_{ij} x_j + \theta_i + \frac{1}{\tau_i} f^{-1}(x_i) = -\sum_{j=1}^n w_{ij} x_j + \theta_i + \frac{1}{\tau_i} y_i = -\frac{dy_i}{dt}$$

$$\frac{dE}{dt} = \sum_{i=1}^n \left(-\frac{dy_i}{dt} \frac{dx_i}{dt} \right) = -\sum_{i=1}^n \left(\frac{dy_i}{dx_i} \frac{dx_i}{dt} \frac{dx_i}{dt} \right) = -\sum_{i=1}^n \left(\frac{dy_i}{dx_i} \left(\frac{dx_i}{dt} \right)^2 \right)$$

连续Hopfield网络

- 1) 具有良好的收敛性；
- 2) 具有有限个平衡点；
- 3) 如果平衡点是稳定的，那么它也一定是渐进稳定的；
- 4) 渐进稳定平衡点为其能量函数的局部极小点；
- 5) 能将任意一组希望存储的正交化矢量综合为网络的渐进平衡点；
- 6) 网络的存储信息表现为神经元之间互连的分布式动态存储；
- 7) 网络以大规模、非线性、连续时间并行方式处理信息，其计算时间就是网络趋于平衡点的时间。

连续Hopfield网络

■ 连续Hopfield网络用于组合优化计算

把最优化问题的目标函数转换成网络的能量函数，把问题的变量对应于网络的状态，网络达到稳定状态时，就是它的能量函数达到最小的时候，对应于优化问题的解。

网络的计算量不会随维数的增加发生指数性巨增，对于优化问题的快速计算特别有效

连续Hopfield网络

■ 连续Hopfield网络用于优化计算一般步骤

- (1) 用罚函数法写出问题优化目标函数
- (2) 根据目标函数与Hopfield网络能量函数E确定连接权值系数
- (3) 写出网络动态方程
- (4) 选择合适初值，按网络动态演化直到收敛为止。

能量函数和网络动态关系：

$$\frac{\partial E}{\partial x_i} = - \sum_{j=1}^n w_{ij} x_j + \theta_i + \frac{1}{\tau_i} f^{-1}(x_i) = - \sum_{j=1}^n w_{ij} x_j + \theta_i + \frac{1}{\tau_i} y_i = - \frac{dy_i}{dt}$$

■ 旅行商问题 (Traveling Salesman Problem, TSP)

- 已知：

- N 个城市间的相互距离，现有一推销员必须遍访 N 个城市，并且每个城市只能访问一次，最后又必须返回出发城市

- 问题：

- 如何安排对这些城市的访问顺序，可使其旅行路线的总长度最短？

- 典型的组合优化问题，其可能的路径数目与城市数目 N 呈指数型增长的
- 很多实际应用问题，经过简化处理后，均可化为旅行商问题

■ 旅行商问题 (Traveling Salesman Problem, TSP)

为将TSP问题映射成一个神经网络动态过程, Hopfield采取了换位矩阵表示法, 用 $N \times N$ 的矩阵表示商人访问过的 N 个城市, 例如有四个城市A,B,C,D, 访问路线是 $D \rightarrow A \rightarrow C \rightarrow B \rightarrow D$, Hopfield网络输出所代表的有效解可用下表表示, 其中1代表到达, 0代表未到达

次序 城市	1	2	3	4
A	0	1	0	0
B	0	0	0	1
C	0	0	1	0
D	1	0	0	0

- V_{xi} 表示神经元 (x, i) 的输出，相应的输入用 U_{xi} 表示，如果城市 x 在 i 位置上被访问 $V_{xi} = 1$, 否则 $V_{xi} = 0$
- 针对TSP问题，Hopfield定义了如下形式的能量函数

$$\begin{aligned}
 E &= \frac{a}{2} \sum_{i=1} \sum_{x=1} \sum_{j=1, j \neq i} V_{xi} V_{xj} + \frac{b}{2} \sum_{i=1} \sum_{x=1} \sum_{y=1, y \neq x} V_{xi} V_{yi} \\
 &+ \frac{c}{2} \left(\sum_{x=1} \sum_{i=1} V_{xi} - N \right)^2 \\
 &+ \frac{d}{2} \sum_{x=1} \sum_{y=1, y \neq x} \sum_{i=1} d_{xy} V_{xi} (V_{y, i+1} + V_{y, i-1})
 \end{aligned}$$

d_{xy} 表示城市 x, y 之间的距离

**Hopfield能量函数存在局部最小，不稳定等问题
改进的TSP问题能量函数如下**

$$\begin{aligned} E &= \frac{a}{2} \sum_x \left(\sum_i V_{xi} - 1 \right)^2 \\ &+ \frac{a}{2} \sum_i \left(\sum_x V_{xi} - 1 \right)^2 + \frac{b}{2} \sum_x \sum_y \sum_i V_{xi} d_{xy} V_{y,i+1} \end{aligned}$$

**孙守宇、郑君里. Hopfield 网络求解TSP的一种改进算法
和理论证明. 电子学报, 1995,23(1):73~78**

根据稳定性分析

$$\begin{aligned}\frac{dU_{xi}}{dt} &= -\frac{\partial E}{\partial V_{xi}} \\ &= -a \left(\sum_i V_{xi} - 1 \right) - a \left(\sum_y V_{yi} - 1 \right) - b \sum_y d_{xy} V_{y,i+1} \\ T_{xi,yj} &= -a\delta_{xy} - a\delta_{ij} - bd_{xy}\delta_{j,i+1}, I_{xi} = 2a\end{aligned}$$

$$\frac{dU_{xi}}{dt} = \sum_y \sum_j T_{xi,yj} V_{xi} + I_{xi} (C_i = 1, R_i \rightarrow \infty)$$

$$\delta_{ij} = \begin{cases} 1, i = j \\ 0, i \neq j \end{cases}$$

$$\frac{dU_{xi}}{dt} = -a \left(\sum_i V_{xi} - 1 \right) - a \left(\sum_y V_{yi} - 1 \right) - b \sum_y d_{xy} V_{y,i+1} \quad (1)$$

- 利用Hopfield网络求解TSP问题的算法如下：
- 1) 置初值 $t = 0, a = 15, b = 1.0, \mu = 50$
- 2) 计算N个城市之间的距离 $d_{xy} (x, y = 1, 2, \dots, N)$
- 3) 神经网络输入 $U_{xi}(t)$ 的初始化在0附近产生
- 4) 利用动态方程计算 $\frac{dU_{xi}}{dt}$
- 5) 根据一阶欧拉法离散化 (1) , 求 $U_{xi}(t + 1)$

$$U_{xi}(t + 1) = U_{xi}(t) + \frac{dU_{xi}}{dt} \Delta T$$

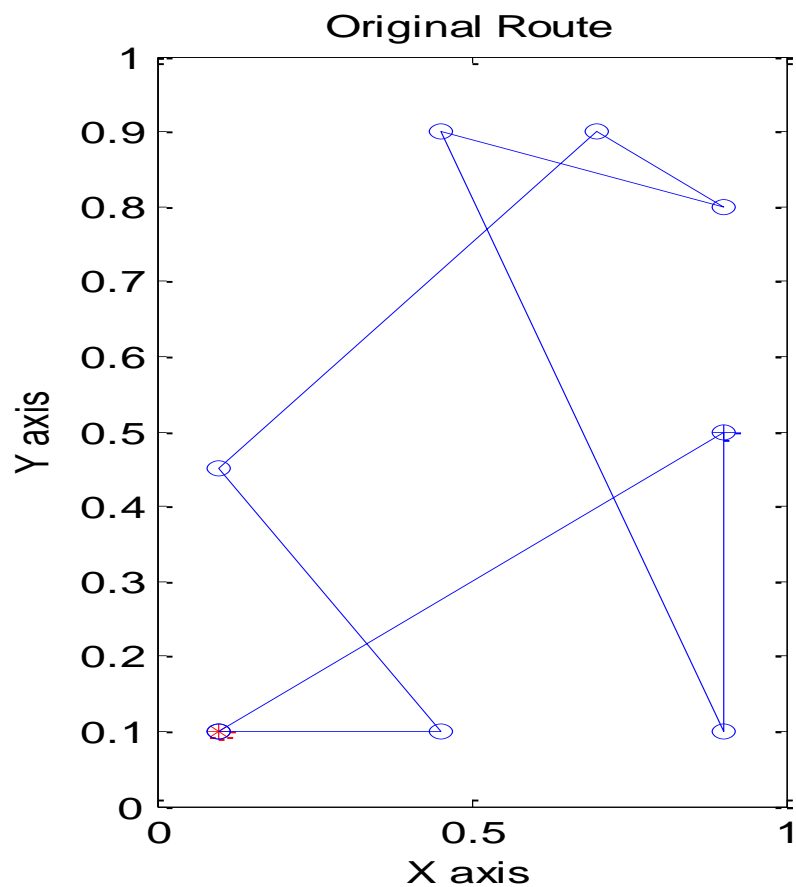
$$\frac{dU_{xi}}{dt} = -a \left(\sum_i V_{xi} - 1 \right) - a \left(\sum_y V_{yi} - 1 \right) - b \sum_y d_{xy} V_{y,i+1} \quad (1)$$

- 6) 采用单调上升Sigmoid函数计算

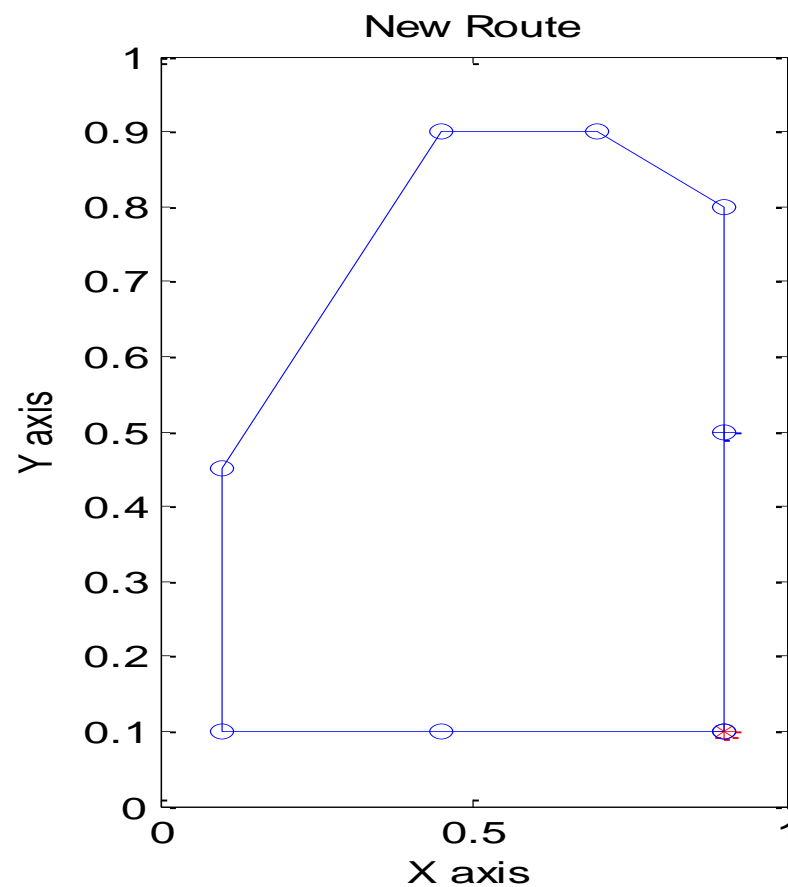
$$V_{xi}(t) = \frac{1}{1 + e^{-\mu U_{xi}(t)}}$$

- 7) 计算能量函数E
- 8) 检查路径合法性，判断迭代次数是否结束，如果结束，则终止，否则返回第4) 步

仿真实例

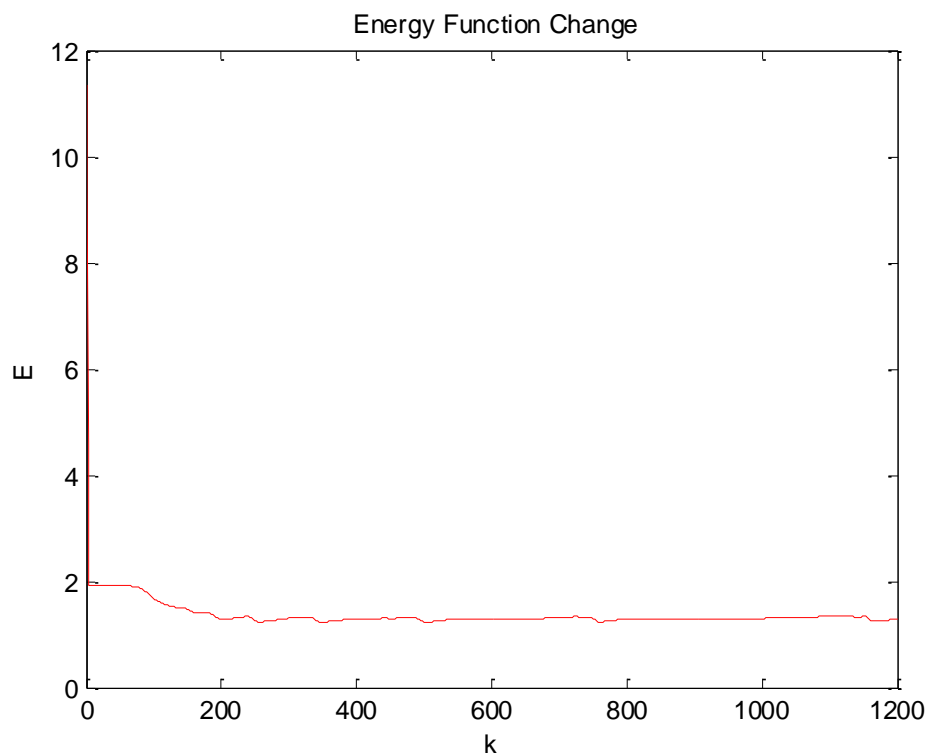


初始路径



优化后的路径

仿真实例



能量函数随迭代次数的变化

思考

- Lyapunov函数在控制中的应用？
- CAMC网络的思想及优缺点？
- 机械手控制难点？神经网络控制如何应对？
- 神经网络的容错性、联想记忆特性与网络结构的关系？
- Hopfield网络如何用于优化计算？